

ISSN 1512-0325

saqar T vel o s ker ami ko sT a aso ci aci i s J ur n al i  
**JOURNAL OF THE GEORGIAN CERAMISTS' ASSOCIATION**



ker ami ka **CERAMICS**

samecni er o-teqni kuri da sawarmoo il ustrirebuli,  
registrirebuli, referirebuli Jurnal i

1(31).2014

# უურნალი კერამიკა

## 15 წლისაა

შურცალუ „კერამიკა“  
გამოქვეყნებული სტატიების  
მირითადი თვემატიკა

ყველა სახის მინის,  
კერამიკის, კერამიკული და  
არღივორული კომპოზიტების,  
ზეგამტარი მასალების,  
ჭიქურის და მინაცრის,  
სხმული ქვის,  
მინერალური პამპის,  
მასალების, ცემენტის და სხვა  
არტერიანული,  
ძნელდნებადი,  
ახალი და ტრადიციული მასალის  
სფეროში

შურცალუ აგრძითვე  
შესაძლებელია განვითავსდეს  
სტატიები შემდეგ საპირისპირ:

- ✓ ახალი ტექნიკა, მოწყობილობა  
სანარმოთა და წარმოების ტექნიკუ-  
რი გაფარიარაღება.
- ✓ სანედლეულო ბაზის განვითა-  
რება, ნედლეულის რაციონალური  
გამოყენება, მათ შორის ადგილობ-  
რიები წარმოების ნარჩენების.
- ✓ რესურს- და ენერგოდამზოგველი  
ტექნოლოგიები. გარემოს დაცვა.
- ✓ სანარმოთა სამუშაოები მოღვაწე-  
ობა საბაზრო პირობებში, ეკონომი-  
კა, მარკეტინგი.
- ✓ საქართველო გამოცდილება.
- ✓ ინფორმაცია, რეკლამა.

გამოყველის სფეროში

- ენერგეტიკა
- შშენებლობა
- სახალხო მოხმარების საგნები
- ქიმია და ქიმიური ტექნოლოგია
- მასალათმცოდნეობა
- მეტალურგია
- ელექტრონიკა და ელექტროტექნიკა
- მედიცინა
- ოპტიკა
- სხვა სფეროები
- გარემოს დაცვა

УДК 669.168:553.3

## ВЛИЯНИЕ ОКСИДОВ ЩЕЛОЧНЫХ МЕТАЛЛОВ НА ПРОЦЕСС СОВМЕСТНОГО ВОССТАНОВЛЕНИЯ МАРГАНЦА И КРЕМНИЯ

Симонгушвили З.А.\* Небиеридзе С.С.

Департамент металлургии, Грузинский технический университет, Грузия, 0175, Тбилиси, ул. Костава 69

E-mail: z.simongulashvili@yahoo.com

**Резюме:** На основе выполненных исследований разработана, освоена и внедрена ресурсосберегающая технология утилизации ранее не применяемых отходов производства (туфа) взамен кварцита, позволяющая повысить использование марганца и кремния, улучшить технико-экономические показатели процесса и на 5-6% снизить себестоимость силикомарганца.

**Ключевые слова:** силикомарганец; шихта; марганец; силиций; восстановление; металл; шлак.

### 1. ВВЕДЕНИЕ

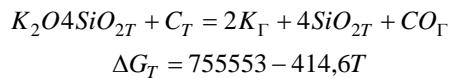
Опыт производства силикомарганца в мощных электропечках и физико-химический анализ процессов плавки свидетельствуют о наличии резервов в увеличении их производительности, улучшении качества сплавов и повышении эффективности производства. Одним из путей интенсификации процесса выплавки силикомарганца является замена традиционно используемого шихтового компонента - кварцита комплексным сырьем, содержащим кремнезем, глинозем и оксиды щелочных металлов. Таким сырьем являются широко распространенные в природе туфы, пегматиты, щелочные граниты, сиениты и другие горные породы.

### 2. ОСНОВНАЯ ЧАСТЬ

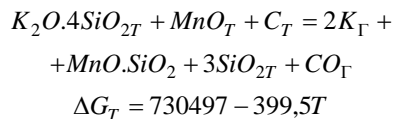
Известно, что при введении в различные шихты добавок оксидов и солей щелочных металлов существенно ускоряются процессы восстановления металлов углеродом из их оксидов.

Положительные результаты выплавки силикомарганца и металлического марганца с использованием пегматита [1,2] обусловили целесообразность продолжения поисков перспективных природных минералов, содержащих щелочные оксиды. Анализ поведения щелочей на примере соединений калия [3] показывает, что взаимодействие в системе

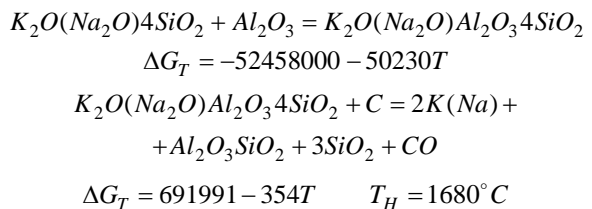
$K_2SO_4 - SiO_2$  требует более высоких температур, чем взаимодействие карбонатов с кремнеземом и поэтому сульфаты могут переходить, в основном, в шлак, повышая содержание в нем серы и оксидов щелочных металлов. Карбонаты щелочных металлов в присутствии кремнезема менее устойчивы и образуют с ним силикаты. Так как в реальных шлаках силикомарганца имеется избыток  $SiO_2$  по отношению к  $K_2O$ , наибольшей устойчивостью в шлаковом расплаве будет обладать тетрасиликат калия -  $K_2O4SiO_2$ . Чистый  $K_2O4SiO_2$  может заметно восстанавливаться углеродом при температуре 1547°C:



Содержащийся в шлаке монооксид марганца практически не влияет на восстановление калия:



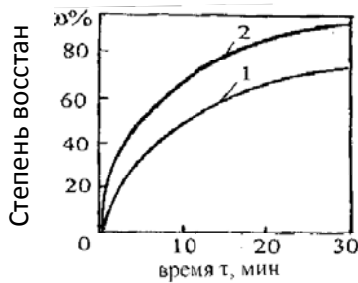
Восстановление щелочей, переход их в газовую fazu и регенерация затрудняются в присутствии глинозема. Это объясняется способностью силикатов щелочных металлов образовывать с глиноземом щелочные алюмосиликаты, восстановление щелочей из которых требует сравнительно высоких температур, что является предпосылкой для перехода их в шлак:



Это положение имеет важное значение с точки зрения выбора щелочесодержащих материалов,

пригодных для использования в качестве шихтовых компонентов для выплавки марганцевых сплавов, так как в этих условиях переход щелочных металлов в газовую фазу будет минимальным. Такими минералами являются различные туфы, которые так же как и пегматиты, относятся к горным породам вулканического происхождения. Они широко разрабатываются, используются в строительной промышленности, а их отходы-туфовый щебень (фракции 10-70мм), стоимость которого в 8-10 раз ниже, чем пегматита, и примерно в 4-5 раз ниже, чем кварцита, пока не находит применения.

Важной характеристикой туфа является сочетание в нем кремнезема и оксидов щелочных металлов, которые, как известно, способствуют снижению вязкости силикатных расплавов [4] и интенсификации процессов восстановления марганца и кремния (см. рис.).



Кинетические кривые восстановления силикомарганцевых шихт при 1600°C с использованием кварцита-1 и туфа-2

По химическому составу туфы представляют собой кислую породу с содержанием, %: 64-73  $SiO_2$ ; 8-10 ( $Na_2O + K_2O$ ); 14-17  $Al_2O_3$ ; 3-4  $Fe_2O_3$ ; 2-5  $CaO$  [5].

Основные показатели физико-механических свойств туфов колеблются в пределах:

Вариант	I	II	III	IV
Удельный расход, кг/баз.т.: Марганцевого сырья	2300	2275	2250	2200
Кварцита	360	270	180	---
Туфа	---	200	241	433
Коксика	465	459	453	460
Расход электроэнергии, кВт.ч/баз.т	4200	4100	4050	4000
Кратность шлака	1,1	1,0	0,91	0,8
Средний хим. состав металла, %: <i>Mn</i>	75,10	75,41	76,10	76,45
<i>Si</i>	17,3	17,85	18,12	18,32
<i>P</i>	0,35	0,35	0,34	0,34
Средний хим. состав шлака, %: <i>Mn</i>	14,92	13,6	13,0	12,11
$SiO_2$	46,45	44,11	44,15	42,10
$CaO$	20,03	21,00	21,52	22,51
$Al_2O_3$	4,66	5,70	7,10	9,10
$Na_2O + K_2O$	0,4	2,9	4,3	5,40
Соотношение между окислами в шлаке: $CaO / SiO_2$	0,43	0,45	0,48	0,52
$(Na_2O + K_2O) / SiO_2$	0,01	0,07	0,10	0,13
$(Na_2O + K_2O) / Al_2O_3$	0,09	0,51	0,61	0,60
Извлечение в сплав, %: <i>Mn</i>	70,15	72,51	73,50	74,17
<i>Si</i>	40,31	41,69	43,05	45,12
<i>P</i>	78,84	76,35	75,69	75,11

- удельная масса (плотность) -2500-3500кг/м<sup>3</sup>;
- объемная масса – 1000-1800 кг/м<sup>3</sup> (средняя 1350);
- пористость – 30-60%;
- водопоглощение по весу – 20-40%;
- коэффициент водонасыщения – 0,4-0,8;
- коэффициент теплопроводности – 0,35-0,45 Дж/кг.ч.град.;
- температура плавления 1200-1450°С.

В настоящей работе исследовано влияние замены в шихте кварцита туфом на технико-экономические показатели процесса выплавки силикомарганца. Опытные промышленные плавки проводили на Зестафонском заводе ферросплавов (ЗФ) в электропечи мощностью 22,5 МВА. За опытную компанию было опробовано четыре варианта плавок: по I варианту силикомарганец выплавляли на обычной заводской шихте (100% кварцит), по II, III и IV вариантам кварцит заменяли туфом в количестве 30,50 и 100% соответственно от веса в шихте кварцита. В опытах использовали реальные составы промышленных шихт в расчете получения силикомарганца марки СМн17. За исходную применялась шихта на основе марганцевого концентрата с 40% Мп.

Основные технико-экономические показатели сравнительных промышленных плавок силикомарганца по существующей на ЗФ и разработанной технологиям приведены в таблице.

Результаты опытных плавок показывают, что при увеличении в шихте количества туфа, извлечение марганца и кремния в сплав повышается и достигает максимального значения при полной замене кварцита туфом. При этом отношение в шлаке ( $Na_2O + K_2O$ ) /  $SiO_2$  (щелочный модуль шлака-Мш) возрастает до 0,13, против 0,01 в обычной шихте. В зависимости от этого отношения меняется и характер изменения извлечения в сплав и перехода в шлак марганца и кремния.

При выплавке силикомарганца добавку туфа в шихту следует оценивать не по его количеству, а по содержанию в шлаке кремнезема, глинозема, оксидов щелочных металлов и их соотношению, что подтверждается зависимостью изменения кратности шлаков и удельного расхода электроэнергии от щелочного модуля шлака. Так, при содержании в шлаке 8-10%

$Al_2O_3$ , 4-5%  $Na_2O + K_2O$  и Мп = 0,13 достигаются, для данных условий проведения опытных плавок, наилучшие технико-экономические показатели. По сравнению с обычной технологией производительность печи РК3-22,5МВА повысилась на 5%, удельный расход электроэнергии снизился на 3%, извлечение марганца в сплав увеличилось на 3-4% и кремния на 5-6%.

### 3. ЗАКЛЮЧЕНИЕ

Проведенные исследования позволяют сделать вывод о том, что в присутствии щелочей  $Al_2O_3$  образует щелочные алюмосиликаты, которые в структуре кислых шлаковых расплавов оказывают существенное влияние на интенсификацию процессов восстановления марганца и кремния при выплавке силикомарганца. С этих позиций объясняется повышение извлечения в сплав марганца и кремния, снижение удельного расхода электроэнергии при использовании в шихте силикомарганца щелочных алюмосиликатов.

### ЛИТЕРАТУРА

- Гасик М.И., Кучер А.Г., Ткач Г.Д. и др. Исследование процесса выплавки силикомарганца с использованием в шихту пегматита // сб.: Совершенствование технологии производства марганцевых сплавов. Материалы III республиканской научно-техн. конф. Тбилиси, 1978, с. 145-153.
- Гасик М.И., Садовский М.Г., Бойцов Л.И. и др. Результаты промышленного опробования гранитов при производстве металлического марганца // Материалы II всесоюзного совещания. Металлургия марганца. Тбилиси, 1977, с. 147-149.
- Казаков И.Н., Ткач Г.Д., Гасик М.И., Кучер А.Г. Использование пегматита в шихте при выплавке силикомарганца. Бюл. СНИИТЭИ ЧМ, 1979, №16, с. 37-38.
- Симонгулашвили З.А., Камкина Л.Г. Кинетика восстановления силикомарганцевых шихт // Марганец. Тбилиси, 1989, с. 26-28.
- Ацагорциян З.А., Мартиросян О.А. Туфы и мраморы Армении. – Ереван: Армгосиздат, 1977, с. 80-85.

**უაგ 669.168:553.3**

**ტუტე ლითონის ოქსიდების გაგლენა მანგანუმისა და სილიციუმის**

**ერთდროულად აღდგენის პროცესში**

**ზ. სიმონგულაშვილი, ს. ნებიერიძე**

**რეზიუმე:** ჩატარებული გამოკვლევების საფუძველზე შემუშავებული, ათვისებული და დანერგილია ტუფების გამოყენება სილიკომანგანუმის წარმოებაში. კვარციტების შეცვლამ სხვადასხვა გენეზისის ტუფებით, რომლებიც კაჟმიწასთან ერთად შეიცავს ტუტე ლითონების ოქსიდებს, შესაძლებლობა მოგვცა გაგვეზარდა მანგანუმისა და სილიციუმის სასარგებლო გამოყენება და შეგვეძირებინა ლითონის ოვალირებულება.

**საკვანძო სიტყვები:** სილიკომანგანუმი; კაზმი; მანგანუმი; სილიციუმი; აღდგენა; ლითონი; წილა.

---

**UDC 669.168:553.3**

**INFLUENCE OF ALKALINE METAL OXIDES ON THE PROCESS OF JOINT REDUCTION**

**OF MANGANESE AND SILICON**

**Z. Simongulashvili, S. Nebieridze**

**Resume:** On the basis of the executed researches it has been developed, mastered and introduced the resource-saving technology of production wastes (tuff) instead of quartzite that allows to increase usage of manganese and silicon, to improve technical and economic process indicators and to reduce prime cost of silicon manganese by 5-6%.

**Key words:** silicon manganese; furnace charge; manganese; silicium; reduction; metal; slag.

---

**ტყვიისა და თუთიის შემცველი ოქროს მაღნის ფიზიკური მეთოდებით  
გამდიდრების პროცესის გამოკვლევა**

ზ. შერაზადიშვილი\*, მ. ჭედლიშვილი\*\*, ნ. შეკრილაძე

ქიმიური და ბიოლოგიური ტექნოლოგიების დეპარტამენტი, საქართველოს ტექნიკური უნივერსიტეტი,  
საქართველო, 0175, თბილისი, კოსტავას 69

E-mail: z\_sherazadishvili@yahoo.com, mchedli@mail.ru

**რეზიუმე:** გამოკვლეულია საქართველოში არ-სებული ტყვიისა და თუთიის შემცველი ოქროს მაღნის ფიზიკური მეთოდებით გამდიდრების პროცესი. დადგენილია, რომ გრანულობები ული ანალიზის შედეგად ოქროს და ვერცხლის განაწილება ფრაქციებში, პრაქტიკულად მასური წილების პროპორციულია და ამ გზით მაღნის გამდიდრება ძვირფასი ან თუნდაც ფერადი ლითონების ამონდების მიზნით შეუძლებელია.

შესწავლილია მძიმე სითხეებით მაღნის გამდიდრების პროცესი. დადგენილია, რომ მძიმე სითხეებით გამდიდრებას ემორჩილება როგორც ოქრო და ვერცხლი, ისე ფერადი ლითონები: სპილენძი, თუთია, ტყვია.

საკონცენტრაციო მაგიდაზე მაღნის გამდიდრების გვიჩვენა, რომ მაღნი პრაქტიკულად ემორჩილება გრაფიტაციული მეთოდით გამდიდრებას.

**საკვანძო სიტყვები:** ოქრო; ძვირფასი ლითონები; ფერადი ლითონები; გამდიდრება; მძიმე სითხეები; გრანულომეტრიული ანალიზი; საკონცენტრაციო მაგიდა; კვლევა.

## 1. შესავალი

ოქროს შემცველი მაღნების გამდიდრების ამათუ იმ მეთოდის შერჩევა მრავალ ფაქტორზეა დამოკიდებული. ესენია: ოქროს არსებობის ფორ-

მები მაღანში, ოქროს შემცველი ქანების სტრუქტურა და მისი ფიზიკურ-ქიმიური მახასიათებლები, მაღანში შემავალი სხვა სასარგებლო კომპონენტების (ვერცხლი, ფერადი ლითონები, იშვიათი ლითონები და სხვა) არსებობა და მათი კონცენტრაციები და სხვა. ამ მხრივ, არც ჩვენ მიერ „A საბადოდ“ წოდებული ოქროს შემცველი წიაღისეულია გამორჩეული და ოპტიმალური სქემით მისი გადამტავებისთვის საჭიროა, თუნდაც ლაბორატორიულ პირობებში, მოისინჯოს ფიზიკური და ქიმიური მეთოდებით მაღნის გამდიდრების კველა შესაძლო ვარიანტი, მათ შორის მძიმე სითხეებით და გრანულომეტრიული ანალიზის მეთოდით.

## 2. ძირითადი ნაწილი

მოცემული სამუშაო ითვალისწინებს „A საბადოს“ გრანულომეტრიული ანალიზის მეთოდით მძიმე სითხეებში და საკონცენტრაციო მაგიდაზე გამდიდრების პროცესების გამოკვლევას. გრანულომეტრიული ანალიზის მეთოდით გამოკვლევის მიზნით, საანალიზოდ ავიდეთ საბადოს სხვადასხვა უბნიდან აღებული და უხეშად დამსხვრეული ნიმუშებით მომზადებული საშუალო სინჯი -50+0 დაწვრილმანების ხარისხით და ჩავატარეთ მისი გაცრითი ანალიზი. თოთოეულ კლასში განისაზღვრა სპილენძის, ტყვიის, თუთიის, რკინის, ოქროსა და ვერცხლის შემცველობა (ცხრ. 1).

ცხრილი 1

### კომპონენტების განაწილება კლასების მიხედვით

კლასი, მმ	გამოსავალი, %	შემცველობა, % (პირობითი ერთგული)						განაწილება, %					
		Cu	Pb	Zn	Fe	Au, (პ.კ.)	Ag, (პ.კ.)	Cu	Pb	Zn	Fe	Au	Ag
- 50,0 + 6,0	97,8	0,079	0,71	1,60	1,75	100,6	100,3	96,2	96,3	96,1	97,3	98,4	98,1
- 6,0 + 2,0	0,9	0,135	1,17	2,61	1,75	74,4	90,8	1,5	1,4	1,5	0,9	0,6	1,8
- 2,0 + 0,16	0,8	0,154	1,21	3,37	2,05	60,0	78,8	1,5	1,4	1,7	0,9	0,5	0,6
- 0,16	0,5	0,128	1,25	2,32	3,15	93,0	88,0	0,8	0,9	0,7	0,9	0,5	0,5
Σ	100	0,08	0,72	1,63	1,76	100	100	100	100	100	100	100	100

ცხრილში წარმოდგენილი შედეგები გვიჩვენებს, რომ გარკეულ პირობებში დამსხვრეულ მაღანში სასინჯი მასალა ძირითადად თავს იყრის -50+6,0 ფრაქციაში (97,8%). ფრაქციული ნიმუშების ქიმიური ანალიზის შედეგები ოქროს,

ვერცხლის, სპილენძის, ტყვიის, თუთიის, რკინის შემცველობაზე გვიჩვენებს, რომ ოქროსა და ვერცხლის განაწილება ფრაქციებში, პრაქტიკულად, მასური წილების პროპორციულია და ამ გზით მაღნის დახარისხება გამორიცხულია.

მით უმეტეს, რომ წვრილი ფრაქციის (იგულისხმება -6+0 ფრაქცია) რაოდენობა უმნიშვნელოდა და საკვლევად აღვაძებული ნიმუშის საერთო მასის მხოლოდ 2,2% შეადგენს.

-6+0 ფრაქციის გამოყოფა არც ფერადი ლითონების ამოდების თვალსაზრისითა მიზანშეწონილი. წვრილ ფრაქციაში მათი შემცველობა უმნიშვნელოდაა მომატებული, რასაც არსებითი მნიშვნელობა არ გააჩნია, გრანულომეტრიული

მეთოდის გამოყენებით, მადნის გამდიდრების თვალსაზრისით.

შემდგომი ჩვენი კვლევები წარიმართა უფრო მაღალი ხარისხის დაწვრილმანებული მადნის გაცრითი ანალიზის მიმართულებით. საკვლევად მოვამზადეთ ნიმუში, რომელშიც 1 მმ-ზე უფრო დიდი დიამეტრის მქონე ნაწილაკების მასური წილი 0,1%-ს არ აღემატებოდა. შედეგები წარმოდგენილია მე-2 ცხრილში.

## ცხრილი 2

### კომპონენტების განაწილება კლასების მიხედვით

კლასი, მმ	გამოსავალი, %	შემცველობა, % (პირობითი ერთეული)						განაწილება, %					
		Cu	Pb	Zn	Fe	Au, (3.გ.)	Ag, (3.გ.)	Cu	Pb	Zn	Fe	Au	Ag
+1	0,1	0,064	0,77	1,48	1,32	124,7	125,0	0,1	0,1	0,1	0,1	0,1	0,1
-1+0,5	36,4	0,092	0,70	1,60	1,82	119,1	106,3	36,5	30,4	34,4	32,0	43,3	38,7
-0,5+0,315	11,0	0,084	0,73	1,72	2,18	102,5	100,0	10,1	9,6	11,2	11,6	11,3	11,0
-0,315+0,2	6,4	0,072	0,59	1,44	2,12	44,3	75,0	5,0	4,5	5,4	6,6	2,8	4,8
-0,2+0,16	9,4	0,088	0,80	1,72	2,68	99,7	87,5	9,0	9,0	9,6	12,2	9,4	8,2
-0,16+0,1	11,2	0,096	1,00	1,96	2,08	94,2	106,3	11,7	13,4	13,0	11,3	10,5	11,9
-0,1+0,074	2,9	0,10	1,04	2,00	1,66	91,4	100,0	3,2	3,6	3,4	2,3	2,7	2,9
-0,074+0,044	3,5	0,11	1,22	2,20	1,92	110,8	106,3	4,2	5,1	4,6	3,2	3,9	3,7
-0,044+0,020	6,2	0,13	1,44	2,32	2,32	138,5	118,8	8,8	10,6	8,5	7,0	8,6	7,4
-0,020+0,010	1,0	0,14	2,20	2,72	3,14	246,5	162,5	1,5	2,6	1,6	1,5	2,5	1,6
-0,010	11,9	0,076	0,78	1,16	2,12	41,6	81,3	9,9	11,1	8,2	12,2	4,9	9,7
$\Sigma$	100	0,09	0,84	1,69	2,07	100	100	100	100	100	100	100	100

ცხრილის მონაცემებიდან ირკვევა, რომ როგორც ძვირფასი, ისე ფერადი ლითონები და რეინა დაწვრილმანებული მადნის სხვადასხვა ფრაქციაში არათანაბრადაა განაწილებული. ასე, მაგალითად, -1+0,5 ფრაქციაში თავს იყრის ოქროს 43,3%, ნაცვლად მასის ეკვივალენტური 36,4%-სა ანუ  $\approx$  19%-ით მეტი თეორიულთან შედარებით; -0,315+0,200 ფრაქციაში – ოქროს 2,8%, ნაცვლად 6,4%-სა ანუ 56,2%-ით ნაცლები თეორიულთან შედარებით (თანაბარი განაწილების შემთხვევაში). რაც შეეხება ვერცხლს, სხვადასხვა ფრაქციაში მისი განაწილება ფრაქციული განაწილების პროცენტულია. იგივე ითქმის სპილენძსა და რეინაზე. თუთია დიდი რაოდენობითა ფრაქციებში: -0,16+0,10; -0,10+0,074; -0,074+0,044; -0,044+0,02 და -0,02+0,01, თუმცა, მათი ჯამური მასური წილი დაწვრილმანებულ (ფრაქციულ) მადანში 24,8% არ აღემატება. მასში თაგმოყრილია თუთის მხოლოდ 32,5%. ასევე, არათანაბარი განაწილებით ხასიათდება ტყვია. ტყვია კველაზე დიდი რაოდენობითა ფრაქციაში -0,02+0,01, დაწვრილმანების ხარისხით 2,6-ჯერ მეტი, ვიდრე ეს თანაბრად (პროპორციულად) განაწილების შემთხვევაში იქნებოდა. უნდა აღინიშნოს, რომ გაცრითი ანალიზის შედეგად მიღებული ფრაქციების დაწვრილმანების ხარისხის გაზრდით, ზოგადად, ტყვიის კონცენტრაცია იზრდება. გამო-

ნაკლისია ფრაქციები: -1+0,5; -0,315+0,2; -0,01+0,0. მათ შორის განსაკუთრებით უნდა გამოვყოთ -0,01+0,0 ფრაქცია, რომელშიც ტყვიის შემცველობა დაკლებულია და კონცენტრაციის მნიშვნელობა უახლოვდება მის საშუალო სიდიდეს ნიმუში. ანალიზის შედეგები გვიჩვენებს, რომ გრანულომეტრიული მეთოდით მადნის გამდიდრება ტყვიის მიმართ ვერ მოხდება. ამრიგად, შეგვიძლია დავასკვნათ, რომ გრანულომეტრიული მეთოდის გამოყენება მადნის გასამდიდრებლად, ძვირფასი ან თუნდაც ფერადი ლითონების ამოდების მიზნით, შედეგის მომტანი არ იქნება.

ადგინშნავთ, რომ ჩვენს ინტერესთა სფეროში არსებული ლითონების – ოქროს, ვერცხლის, ტყვიისა და თუთის არაერთგვაროვან განაწილებას სხვადასხვა ფრაქციაში მირითადად უნდა განაპირობებდეს მადანში მათი სხვადასხვა ფორმით არსებობა.

მძიმე სითხებში კონცენტრირების პროცესის გამოკვლევის მიზნით მომზადდა სუსპენზია გრანულირებული ფეროსილიციუმისა და მაგნეტიზის კონცენტრატის შემცველობით, 70:30 მასური თანაფარდობით და -50+6 მადნის დაწვრილმანების ხარისხით. მძიმე სითხის სიმკვრივე იცვლდა 2,72 გ/სმ<sup>3</sup>-დან 2,95 გ/სმ<sup>3</sup>-მდე. შედეგები წარმოდგენილია მე-3 ცხრილში და სურათებზე (1, 2, 3).

### ცხრილი 3

#### მძიმე სითხეებში გამდიდრების შედეგები

ფრაქცია, გ/სტ <sup>3</sup>	გამო- სავალი, %	შემცველობა, % (პირობითი ერთეული)						განაწილება, %					
		Cu	Pb	Zn	Fe	Au, (გ.გ.)	Ag, (გ.გ.)	Cu	Pb	Zn	Fe	Au	Ag
+2,95	4,6	0,64	4,34	14,81	5,17	99,5	125,9	42,1	28,1	40,6	13,6	4,6	5,8
-2,95+2,90	6,6	0,25	2,48	7,58	3,04	247,0	191,5	24,0	23,0	29,8	11,5	16,3	12,7
-2,90+2,85	4,7	0,09	1,16	1,03	2,36	236,6	175,1	6,1	7,7	3,9	6,3	11,1	8,3
-2,85+2,80	8,6	0,05	0,48	0,91	1,86	216,1	161,0	6,2	5,8	4,6	9,1	18,6	13,9
-2,80+2,75	31,9	0,023	0,39	0,60	1,56	76,1	147,9	10,6	17,5	10,3	28,4	24,3	47,2
-2,75+2,72	14,8	0,021	0,33	0,48	1,33	61,6	41,3	4,4	6,9	4,2	11,2	9,1	4,3
-2,72	28,8	0,016	0,27	0,38	1,21	55,6	27,4	6,6	11,0	6,6	19,9	16,0	7,9
$\Sigma$	100	0,07	0,71	1,68	1,75	100	100	100	100	100	100	100	100

მძიმე სითხეებით გამდიდრებამ გვიჩვნა, რომ ოქროს საკმაოდ დიდი ნაწილი თავს იყრის -2,95+2,80 ფრაქციაში. მასში თავმოყრილია მადანში არსებული მთელი ოქროს 46% ანუ 130%-ით მეტი, ვიდრე ეს თანაბარი განაწილების შემთხვევაში იქნებოდა. სიმკვრივის შემცირებასთან ერთად ფრაქციაში მცირდება ოქროს შემცველობა (სურ. I). თუ გაავთვალისწინებთ, რომ ჩვენ მიერ შერჩეულ რეზიტი მაღნის დაწვრილმანებისას მძიმე ფრაქციაში (+2,95) ოქროს შემცველობა, პრაქტიკულად, მაღნის საშუალო სინჯში მისი შემცველობის ტოლია – 100 პირობითი ერთეული, უნდა ითქვას, რომ ოქროს 50,6% თავს იყრის +2,80 ფრაქციაში, რომელიც მთელი მასის მხოლოდ 24,5% შეადგენს. ამრიგად, შეიძლება დავასკვნათ, რომ მიზანშეწონილია მოსინჯოს ოქროს მიმართ მაღნის გამდიდრების გრავიტაციული მეთოდი.

კიდევ უფრო საინტერესოა თუთის განაწილება სიმკვრივეების მიხედვით დანაწილებულ მადანში. მძიმე ფრაქციაში მისი შემცველობა რამდენჯერმე აჭარბებს მსუბუქ ფრაქციაში მის შემცველობას. +2,85 ფრაქციაში თავს იყრის მთელი თუთის 74,3%, მაშინ, როდესაც ფრაქციის კუთრი წილი მხოლოდ მთელი მასის 15,9% შეადგენს. ფრაქციის სიმკვრივის შემცირებით თუთის კონცენტრაცია კანონზომიერად მცირდება (სურ. 2).

ასეთივე სურათს იძლევა ტყვიის ფრაქციებში განაწილება (სურ. 3). კერძოდ, +2,85 ფრაქციაში თავს იყრის მადანში არსებული მთელი ტყვიის 58,8%. თუთის მხბავსად, ტყვიის კონცენტრაციის შემცირება ფრაქციის სიმკვრივის კლებასთან ერთად კანონზომიერ ხასიათს ატარებს.

მიღებული შედეგების საფუძვლზე შეიძლება დავასკვნათ, რომ გამდიდრების გრავიტაციული მეთოდის გამოყენება მიზანშეწონილი შეიძლება გახდეს არა მარტო ოქროსთვის, არამედ ფერადი ლითონებისთვისაც, კერძოდ, ტყვიისა და თუთისთვის.

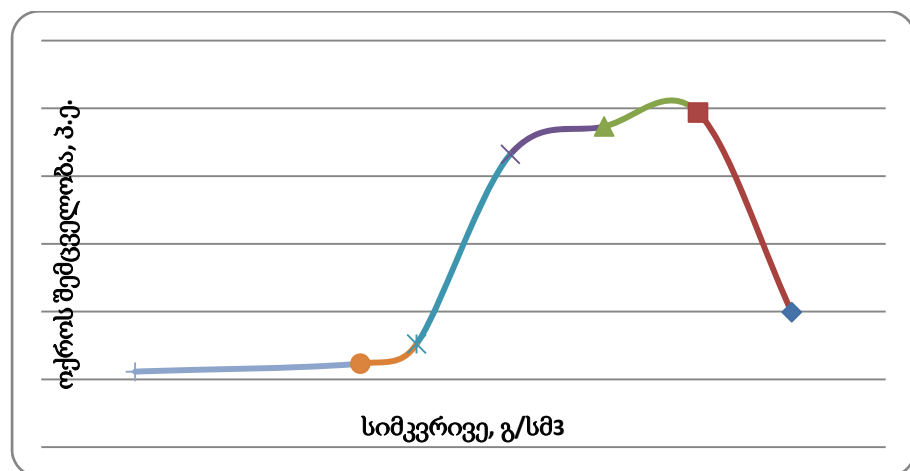
ანალოგიურია ფრაქციული თვალსაზრისით, ვერცხლის განაწილება მადანში, თუმცა ვერცხლის ძირითადი მასა ნაწილდება ფრაქციების შედარებით დიდ დიაპაზონში, ვიდრე ოქრო. კერძოდ, ვერცხლის გაზრდილი კონცენტრაციით ხასიათდება 2,75გ/სტ<sup>3</sup>-ზე უფრო მძიმე ფრაქცია. მასში თავმოყრილია 87,9% ვერცხლი, მაშინ, როდესაც ფრაქციის მასა მხოლოდ 56,4% შეადგენს.

იმის დასადასტურებლად, რომ მადანი ემორნილება გრავიტაციული მეთოდით გამდიდრებას და, შესაბამისად, წინასწარ კონცენტრირებას, სინჯი -2+0,16 დაწვრილმანების ხარისხით გაგარეთ საკონცენტრაციო მაგიდაზე. ცდის შედეგები წარმოდგენილია მე-4 ცხრილში.

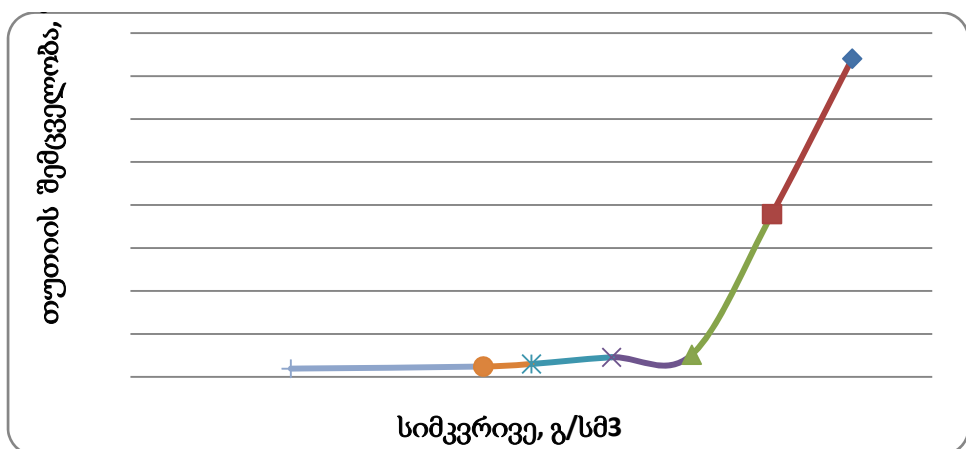
### ცხრილი 4

#### საკონცენტრაციო მაგიდაზე გამდიდრებით მიღებული შედეგები

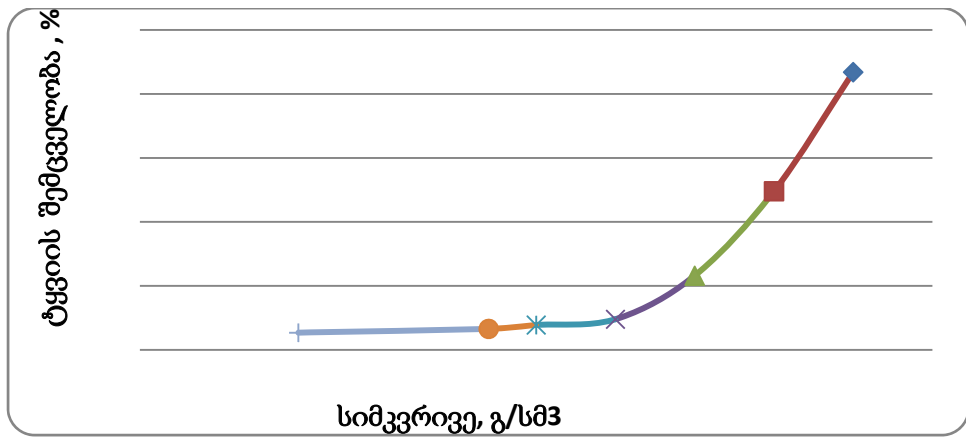
პროდუქტის დასახელება	გამო- სავალი, %	შემცველობა, % (პირობითი ერთეული)						ამოკრება, %					
		Cu	Pb	Zn	Fe	Au, (გ.გ.)	Ag, (გ.გ.)	Cu	Pb	Zn	Fe	Au	Ag
კონცენტრაციი შეაღედური პროდუქტი კუდი	3,7	0,57	8,2	10,8	6,2	732,6	397,3	23,6	41,8	22,7	12,8	27,1	14,7
შეაღედური პროდუქტი კუდი	77,9	0,08	0,49	1,61	4,71	80,98	93,5	69,8	52,6	71,1	74,5	63,0	72,8
-2+0,16 მმ	18,4	0,032	0,22	0,59	1,2	53,9	67,8	6,6	5,6	6,2	12,7	9,9	12,5
	100	0,09	0,73	1,76	1,78	100	100	100	100	100	100	100	100



სურ. 1. ოქროს შემცველობის განაწილება  
მაღანში შემავალი მინერალების სიმკვრივის მიხედვით



სურ. 2. თუთიის %-ული შემცველობის განაწილება  
მაღანში შემავალი მინერალების სიმკვრივის მიხედვით



სურ. 3. ტყვიის %-ული შემცველობის განაწილება  
მაღანში შემავალი მინერალების სიმკვრივის მიხედვით

ექსპერიმენტის შედეგები გვიჩვენებას, რომ  
მაღანი ემორჩილება გრავიტაციულ გამდიდრებას,  
თუმცა კვლევით მიღებული შედეგების საფუძველზე  
საბოლოო დასკვნის გამოტანა შეუძლებელია  
და საჭიროა დამატებითი სამუშაოების  
ჩატარება გრავიტაციული გამდიდრების პუთხით.

### 3. დასკვნა

დადგენილია, რომ გრანულომეტრიული ანალიზის შედეგად ოქროსა და ვერცხლის განაწილება ფრაქციებში, პრაქტიკულად, მასური წილების პროპორციულია და ამ გზით მაღანის გამდიდრება ძვირფასი ან თუნდაც ფერადი ლოთონების ამოღების მიზნით შეუძლებელია.

დადგენილია ასევე, რომ მაღანი პრაქტიკულად ემორჩილება გრავიტაციული მეთოდით გამდიდრებას.

### ლიტერატურა

1. Горбунов П.Д., Сергеев В.И. и др. Опыт применения гравитационной установки для попутной добычи золота на стадии проведения геологоразведочных работ // Горный журнал, 2008. № 5.
2. M. Bath, A. Duncan, E. Rudolph. Some factors influencing gold recovery by gravity concentration. 1973.
3. Техническая оценка минерального сырья. Опробование месторождений. Характеристика сырья: Справочник/под ред. П.Е. Остапенко. М.: Недра, 1990.
4. Митрофанов С.И., Барский Л.А., Самыгин В.Д. Исследование полезных ископаемых на обогатимость. М.: Недра, 1974.
5. L. Eugene, A. Mujumdar. Gold extraction and recovery processes. 2009.

---

УДК 622.342.1:622.7

## RESEARCH OF THE ENRICHMENT OF LEAD AND ZINC CONTAINING GOLD ORE BY METHOD OF PHYSICAL CONCENTRATION

Z. Sherazadishvili, M. Mchedlishvili, N. Shekriladze

**Resume:** The process of physical concentration methods of one of the gold-bearing ore of Georgia is researched. The test method for granulometric analysis of ore showed that the distribution of gold and base metals in fractions practically corresponds to the mass composition of the ore. Consequently we have found that it is impossible to concentrate ore by granulometric method.

The process of ore concentrate by heavy suspensions is studied. It is stated that enrichment of precious metals: gold, silver and base metals: copper, zinc and lead by this method is possible.

Ore testing on concentration table showed that ore is also amenable to gravity concentration.

**Key words:** gold; precious metal; non-ferrous metals; enrichment; heavy suspensions; granulometric analysis; concentration table; research.

---

УДК 622.342.1:622.7

## ИССЛЕДОВАНИЕ ПРОЦЕССА ОБОГАЩЕНИЯ СВИНЦОВО-ЦИНКОВОЙ ЗОЛОТОСОДЕРЖАЩЕЙ РУДЫ ФИЗИЧЕСКИМИ МЕТОДАМИ

Шеразадишвили З.Б., Мчедлишвили М.И., Шекриладзе Н.Ш.

**Резюме:** Изучены процессы обогащения физическими методами одной из золотосодержащих руд Грузии. Испытание метода гранулометрического анализа для обогащения руды показало, что распределение золота и цветных металлов по фракциям практически соответствует гранулометрическому составу руды. Исходя из этого было установлено, что руда не поддается обогащению по методу гранулометрического анализа.

Изучен процесс обогащения руды тяжелыми супензиями. Установлено, что обогащению поддаются как драгоценные металлы: золото и серебро, так и цветные металлы: медь, цинк и свинец.

Испытание руды на концентрационном столе показало, что руда поддается также гравитационному обогащению.

**Ключевые слова:** золото; драгоценные металлы; цветные металлы; обогащение; тяжелые супензии; гранулометрический анализ; концентрационный стол; исследование.

უაპ 622.342.1:553.1

## ოქროს შემცველი მაღის ელემენტები და ფაზური შედგენილობის გამოკვლევა

ზ. შერაზაძიშვილი\*, მ. მჭედლიშვილი\*\*, ნ. შეყრილაძე

ქიმიური და ბიოლოგიური ტექნოლოგიების დეპარტამენტი, საქართველოს ტექნიკური უნივერსიტეტი,  
საქართველო, 0175, თბილისი, კოსტავას 69

E-mail: z\_sherazadishvili@yahoo.com, mchedli@mail.ru

**რეზიუმე:** გამოკვლეულია საქართველოში არ-  
სებული ერთ-ერთი ოქროს შემცველი საბადოს  
მაღის ელემენტების და ფაზური შედგენილობა.  
დადგენილია, რომ ფერადი ლითონები: სპილენი,  
ტყვია და თუთია მაღანში სულფიდური ფორმით  
არის წარმოდგენილი. ოქროს შემცველობის მიხ-  
ედვით მაღანი კონდიციურია და მისგან ოქროს,  
ვერცხლის და ფერადი ლითონების მიღება ეკო-  
ნომიკურად გამართლებულია მიგვაჩნია.

გამოკვლეულია აგრეთვე ოქროს და  
ვერცხლის არსებობის ფორმები მაღანში. დად-  
გენილია, რომ ძირფასი ლითონები წარმოდგე-  
ნილია როგორც თავისუფალი, ისე შენაზარდე-  
ბის და ასოცირებული ფორმით. ძირფასი ლი-  
თონების სხვადასხვა ფორმით არსებობა გათ-  
ვალისწინებული უნდა იყოს მაღის გადამუშა-  
ვების ტექნოლოგიური სქემის შერჩევისას.

**საკანძო სიტყვები:** ოქრო; ძირფასი ლითო-  
ნები; ფერადი ლითონები; კვლევა.

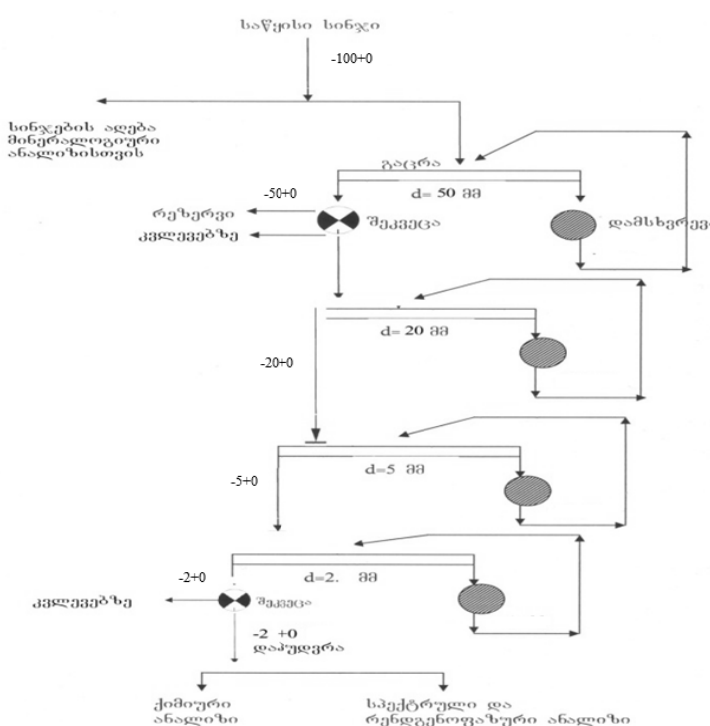
### 1. შესავალი

ოქროს შემცველი მაღისებისთვის ოქროს  
ამოღების ტექნოლოგიის სრული ციკლი მნიშვ-  
ნელობრივადაა დამოკიდებული მაღის ქიმიურ და  
ფაზურ შედგენილობაზე, აგრეთვე მაღანში  
ოქროს არსებობის ფორმებზე.

მოცემული სტატიის მიზანია ჩვენ მიერ საკ-  
ვლევად აღებული საბადოს მაღის (შემდგომში  
„A“ საბადოდ წოდებული) ელემენტური შედგე-  
ნილობის და კვლევის ინტერესთა სფეროში  
მოხვედრილი ლითონების (ოქროს, ვერცხლის,  
ტყვიის, თუთიის, სპილენის და რკინის) ფაზუ-  
რი შედგენილობის გამოკვლევა.

### 2. ძირითადი ნაწილი

კვლევების ჩასატარებლად მომზადდა 100 კგ  
ტექნოლოგიური სინჯი, -100+0 დაწვრილმანების  
ხარისხით. კვლევებისთვის სინჯის მომზადების  
ტექნოლოგიური სქემა მოყვანილია სურათზე.



კვლევებისთვის სინჯის მომზადების ტექნოლოგიური სქემა

პირველ ცხრილში მოცემულია ტექნოლოგიური სინჯის ქიმიური შედგენილობა; მე-2 – მადანში შემავალი ზოგიერთი კომპონენტის

„ფაზური შედგენილობა”, ხოლო მე-3 – მადანში ოქროს და ვერცხლის „ფაზური შედგენილობები”.

### ტექნოლოგიური სინჯის ქიმიური შედგენილობა

ცხრილი 1

კომპონენტების დასახელება	შემცველობა, % (პირობითი ერთეული)	კომპონენტების დასახელება	შემცველობა, % (პირობითი ერთეული)
სპილენდი	0.08	სტიბიუმი	<0.005
ტყვია	0.8	ფოსფორი	0.02
თუთია	1.63	გოგირდი	2.82
რკინა	1.78	საერთო	
ოქრო (პ.ე.)	(100)	სულფატური	0.46
ვერცხლი (პ.ე.)	(100)	გოგირდი	
კალციუმი	0.2	SiO <sub>2</sub>	74.63
მაგნიუმი	0.42	ნახშირბადი	0.97
ალუმინი	6.68	საერთო	
კალიუმი	3.6	ბარიუმის	2.52
ნატრიუმი	0.84	სულფატი	
ბისმუტი	0.00063	თალიუმი	0.0032
კობალტი	0.0011	ტელური	0.008
მოლიბდენი	0.0056	ნიკელი	0.0015
რენიუმი	<0.00045	ინდიუმი	<0.00025
დარიშხანი	0.03	გერმანიუმი	0.0005
კალა	<0.00025	კადმიუმი	0.0099
მანგანუმი	0.0095	სულფინი	0.001

### მადნის ძირითადი კომპონენტების ფაზური შედგენილობა

ცხრილი 2

	არსებობის ფორმა	შემცველობა	
		% აბსოლ.	% აბსოლ.
ტყვია	ანგლებიტი (PbSO <sub>4</sub> ) და ცერუსიტი (PbCO <sub>3</sub> )	0,06	8,5
	პლუმბოიაროზიტი PbFe <sub>6</sub> (SO <sub>4</sub> ) <sub>4</sub> (OH) <sub>12</sub> და მისი არაამოკრეფადი ფორმა	0,01	1,4
	სულფიდები	0,64	90,1
	ჯამი	0,71	100
თუთია	სულფატები	0,14	8,5
	ოქსიდები, კარბონატები, სილიკატები	0,08	4,9
	სულფიდები	1,42	86,6
	ჯამი	1,64	100
სპილენდი	სულფატური	0,007	10
	ოქსიდები, კარბონატები, სილიკატები	0,008	12
	მეორეული სულფიდები	0,023	33
	პირველადი სულფიდები	0,032	45
	ჯამი	0,07	100
რკინა	სულფიდური	1,00	56,5
	ოქსიდები	0,77	43,5
	ჯამი	1,77	100

**ტექნოლოგიურ სინჯზე ჩატარებული ოქროსა და ვერცხლის  
ფაზური ანალიზის შედეგები**

ფორმა		განაწილება			
		ოქრო		ვერცხლი	
		კ.კ.	%	კ.კ.	%
თავისუფალი	სუფთა ზედაპირით	30,6	30,6	7,5	7,5
	დაფარული უანგეული აფსკით	0,8	0,8	4,25	4,25
შენაზარდებული	სუფთა ზედაპირით	38,9	38,9	49,50	49,50
	დაფარული უანგეული აფსკით	11,4	11,4	6,75	6,75
ასოცირებული	სულფიდური მინერალებით	8,6	8,6	8,6	4,0
	ქანთან	9,7	9,7	9,7	28,0
საწყისი შემცველობა		100,0	100,0	100,0	100,0
ოქროს მარცვლის ფერი – ყვითელი და მოყვითალო-ოქროსფერი					

ტექნოლოგიური სინჯის კალევით მიღებული შედეგები გვიჩვენებს, რომ მაღანში ტყვიის შემცველობა (0.8%) მნიშვნელოვნად მაღალია, კიდევ უფრო მაღალია ოუთის შემცველობა – 1.63%. ტყვია ძირითადად წარმოდგენილია სულფიდური ფორმით (90.1%), გაცილებით მცირე რაოდენობით იმყოფება ცერუსიტის და ანგლიზიტის სახით (8.5%); კიდევ უფრო მცირე რაოდენობითაა პლუმბორატოზიტის სახით (1.4%); ტყვიის ანალოგიურად, ოუთია ძირითადად სულფიდურ ფორმაში იმყოფება. რაც შეეხება სპილენძის, მისი 45% პირველადი სულფიდების სახითაა წარმოდგენილი. ზოგადად შეიძლება ითქვას, რომ საკვლევ ობიექტში (ტექნოლოგიურ სინჯში) ფერადი ლითონები ძირითადად სულფიდურ ფორმაშია, რაც აუცილებლად უნდა იქნეს გათვალისწინებული მაღნიდან ოქროს ამონტლილვის ტექნოლოგიური სქემის შემუშავებისას.

ფაზური შედეგებით მიღებული ფორმით არაერთგვაროვნად არის განაწილებული მაღანში. ასე, მაგ., მაღანში არსებული ვერცხლის 68% წარმოდგენილია თავისუფალი და შენაზარდების ფორმით, მათგან სუფთა ზედაპირით 57%, მაშინ, როდესაც იმავე ფორმით წარმოდგენილია ოქროს 81.7%, ამასთან ოქროს 69.5% სუფთა ზედაპირითად. ოქროსგან განსხვავებით, ვერცხლის საკმაოდ დიდი ნაწილი, 32% ასოცირებული ფორმითაა.

მაღანში ოქროს და ვერცხლის სხვადასხვა ფორმით არსებობა გვაფიქრებინებს, რომ მაღნიდან მათი ამონტლილვა ბევრ ტექნოლოგიურ სირთულეებთანაა დაკავშირებული.

### 3. დასტანა

გამოკვლეულია საქართველოში არსებული ერთ-ერთი ოქროს შემცველი საბადოს მაღნის ელემენტური და ფაზური შედეგებილობა.

დადგენილია, რომ მაღნის ძირითადი შემადგენელი კომპონენტია კვარცი და სილიკატური ნაერთები. სულფიდური ფორმით წარმოდგენილი ფერადი ლითონების კვარცი წილი დიდია მათ სხვა ფორმებთან შედარებით.

დადგენილია ასევე, რომ მაღანში ოქრო და ვერცხლი სხვადასხვა ფორმით არის წარმოდგენილი.

ფერადი ლითონების სულფიდური ნაერთების სახით და ძვირფასი ლითონების სხვადასხვა ფორმით არსებობა გათვალისწინებული უნდა იქნეს მაღნიდან ოქროს და ვერცხლის ამონტლილვის ტექნოლოგიური სქემის შემუშავებისას.

### ლიტერატურა

1. Горбунов П.Д., Сергеев В.И. и др. Опыт применения гравитационной установки для попутной добычи золота на стадии проведения геологоразведочных работ // Горный журнал, 2008, № 5.
2. Азарлиоаби ა. საქართველოს წაღისეულის ქიმიური გადამუშავების გზები. თბილისი, 1997.
3. Техническая оценка минерального сырья. Определение месторождений. Характеристика сырья: Справочник/под ред. П.Е. Остапенко. М.: Недра, 1990.
4. Митрофанов С.И., Барский Л.А., Самыгин В.Д. Исследование полезных ископаемых на обогатимость. М.: Недра, 1974.

**UDC 622.342.1:553.1**

**RESEARCH OF THE ELEMENT AND PHASE COMPOSITION OF THE GOLD-CONTAINING ORE**

**Z. sherazadishvili, M. Mchedlishvili, N. Shekriladze**

**Resume:** Elemental and phase composition of gold-containing ore existing in Georgia is researched. It was determined that non-ferrous metals: copper, lead and zinc are mainly presented in the form of sulfides. It is estimated that gold, silver and non-ferrous metals removal from ore can be justified economically.

Also we have investigated the forms of gold and silver in the ore. It is estimated that precious metals are in the free, splice and associated forms. The existence of precious metals in various forms should be considered when developing technological scheme of ore processing.

**Key words:** gold; precious metal; non-ferrous metals; research.

---

**УДК 622.342.1:553.1**

**ИССЛЕДОВАНИЕ ЭЛЕМЕНТНОГО И ФАЗОВОГО СОСТАВА ЗОЛОТОСОДЕРЖАЩЕЙ РУДЫ**

**Шеразадишвили З.Б., Мчедлишвили М.И., Шекриладзе Н.Ш.**

**Резюме:** Определен элементный и фазовый состав одной из золотосодержащих руд Грузии. Установлено, что цветные металлы: медь, свинец и цинк представлены в виде сульфидов. По содержанию золота руда является кондиционной и добыча из нее золота, серебра и цветных металлов представляется нам экономически оправданной.

Исследованы также формы существования золота и серебра в руде. Установлено, что драгоценные металлы представлены как в свободном виде, так и в виде сростков и в ассоциированном виде. Существование драгоценных металлов в разных формах должно быть учтено при разработке технологической схемы переработки руды.

**Ключевые слова:** золото; драгоценные металлы; цветные металлы; исследование.

---

E-mail: kowsiri@gtu.ge

**რეზიუმე:** პიპერთერმიის მონოთერაპიული ეფექტის განვითარებისათვის კიბოს დაგადებების წინააღმდეგ, ექსპერიმენტულ მასალაზე დაყრდნობით, გამოყენებულ იქნა ხელსაწყო ”ლეზი”, რომელიც ჩვენთან, სტუ-ის ბიონანოგრამიკისა და ნანოკომპოზიტების მასალათმცოდნეობის ცენტრში შეიქმნა (საქართველოს ინტელექტუალური საკუთრების ეროვნული ცენტრი, საქართველო). დეპონირების დამადასტურებელი მოწმობა 5054. ”მართვადი ლოკალური პიპერთერმია და მაგნიტური პიპერთერმია კიბოს დაგადებების სამკურნალოდ”). შედეგად, ნაჩვენები იქნა, რომ ყველა ცხოველში (ალბინოსი, 3 თვის თაგვები) დაფიქსირდა კიბოს დაგადებების შეჩრება და განვითარდა ინტრატუმირული ნეკროზი. 7-10 სეანსის შემდეგ სიმსივნე დაწყებულდა, რაც ექსპერიმენტის დადებით შედეგზე მეტყველებს (პათოლოგიურ-ანატომიური ლაბორატორია ”პათჯეოს” დასკვნა. გამოკვლევის № 3119-12, თბილისი, საქართველო).

**საკვანძო სიტყვები:** მართვადი ლოკალური პიპერთერმია; ნეკროზი; დაწყებულება.

### პროგლემის ასტულურობა და პლაზმის სიახლე

ჯანდაცვის მსოფლიო ორგანიზაციის მონაცემებით, ავთვისებიანი სიმსივნით განპირობებული ავადობისა და მისგან გამოწვეული სიკვდილიანობის მაჩვენებელი მთელ მსოფლიოში გამოყენებით იზრდება. დღეისათვის ონკოლოგიურ ავადმყოფთა მკურნალობაში წამყვანი როლი ენიჭება ქირუგიულ მეთოდებს, ქიმიო- და სხივურ თერაპიას [1-14]. თუმცა, ხშირ შემთხვევაში, კვალიფიციურად ჩატარებული ჩარევის მიუხედავად, დაგადება ლეტალური გამოსავლით მთავრდება. გარდა პოლიორგანული უკმარისობისა, ამის მიზეზია ქიმიო-რადიოთერაპიით გამოწვეული იმუნური სისტემის დათრგუნვა, მიელოდეპრესია, ლეიკოპენია, კარდიო, ნეფრო-, ჰეპატო- და ნეიროტოქსიკურობა, ინტერკურენტული მოკრობული გართულებები და სხვა. ყოველივე ეს განაპირობებს ავთვისებიანი სიმსივნეების მკურნალობის ახალი გზების ძიების აუცილებლობას, რომლებიც მიმართული იქნება სიმსივნის საწინააღმდეგო სტრატეგიის გასაძლიერებ-

ლად [15-25]. ონკოლოგიაში ცნობილია ავთვისებიანი სიმსივნის მკურნალობის ძირითადი მეთოდები: ქირუგიული, სხივური თერაპია და ქიმიოთერაპია.

- ქირუგიის შესაძლებლობები მკვეთრად იზღუდება სიმსივნური პროცესის გავრცელებისას. მისი ნაკლოვანი მხარეებია სიმსივნეზე ადგილობრივი ზემოქმედება და, ხშირ შემთხვევაში, პაციენტის ინვალიდობა.

- სხივური თერაპია იწვევს სიმსივნური უჯრედების დესტრუქციას. ის ასევე აზიანებს ჯანმრთელ ქსოვილებს. ხშირ შემთხვევაში, სიმსივნის სრული დესტრუქცია შეუძლებელია ირგვლივ მდებარე ქსოვილების შეუძლებელი დაზიანების გარეშე.

- ქიმიოთერაპია ანუ ციტოსტატიკური მკურნალობა არის ორგანიზმები სისტემური ზემოქმედება. ამ პრეპარატების ორგანიზმში შეყვანით ხდება როგორც ძირითადი სიმსივნის დაზიანება, ასევე უკვე წარმოქმნილ მეტასტაზებზე ზემოქმედება. ამავდროულად, ყველა ქიმიოპრეპარატი ხასიათდება სხვადასხვა სახით გამოხატული ტოქსიკური უვალებელი, რომელიც ძირითადად აზიანებს ადამიანის სისხლმბად ორგანოებს. თერაპიული ინტერვალი ანუ ის შუალედი, როდესაც სიმსივნეზიანდება, ხოლო ორგანიზმის სასიცოცხლო ფუნქციები არ იოდვება, მეტად მცირება.

იმუნო- და პორმონოთერაპია განიხილება, როგორც ძირითადი მკურნალობის მეთოდების დამატება.

პირველად საქართველოში შევისწავლით პიპერთერმიის სიმსივნის საწინააღმდეგო ეფექტს. პიპერთერმია მეთოდია, რომელიც გულსხმობს სიმსივნურ უჯრედებზე ციტოსტატიკურ ზემოქმედებას უჯრედში ტემპერატურის გაზრდით – პიპერთერმიული ველით გამოწვეული სიობური გაბნევის მექანიზმებით.

საქართველოში, ყოველწლიურად, ავთვისებიანი სიმსივნით დაგადებულთა რაოდენობა შეიძლია ათასს აღწევს. დაგადებულთა საერთო რაოდენობა ოცდათხუთმეტი ათასია.

### მეცნიერული და ტექნოლოგიური სიახლე

ექსპერიმენტულ მასალაზე დაყრდნობით, საქართველოში პირველად იქნა წარმოდგენილი პიპერთერმიის სიმსივნის საწინააღმდეგო მონოთე-

რაპიული სამკურნალო ეფექტი და ადიუგნიტური მოქმედება სიმსივნეთა პოლიქმიოთერაპიულ მკურნალობაში. ამ მიზნით მუშავდება ჰიპერთერმიის რაციონალური სქემები [26-33].

სტუ-ის ბიონანოკერამიკისა და ნანოკომპოზიტების მასალათმცოდნეობის ცენტრში ხელ-საწყო “ლეზი” მართვადი ლოკალური ჰიპერთერმიისათვის შეიქმნა. შედეგები დეპონირებულია “საქპატენტში”, როგორც სამეცნიერო ნაშრომი “მართვადი ლოკალური ჰიპერთერმია კიბოს დაავადებების სამკურნალოდ”. № 5054, 2012 წელი.

რამდენიმე წლის მუშაობის შედეგად მიღებულია საუკეთესო ეფექტი ცხოველებზე უკეთესი შედეგებისა და მკურნალობის შემდგომი პერიოდის სტაბილურობის, ასევე ჩვენ მიერ შექმნილი ხელსაწყო «ლეზის» გაუმჯობესების მიზნით, მისი ეფექტური მუშაობის ასამაღლებლად, მკურნალობა გადატანილი უნდა იქნეს კლინიკაში ადამიანის სამკურნალოდ. ონკოლოგიის ცენტრთან შეთანხმებით მზადება კლინიკური ხელსაწყო პაციენტების სამკურნალოდ. აღნიშვნის ლირსია ის, რომ ექსპერიმენტებმა ცხოველებზე წარმატებით ჩაიარა. შედეგების შესახებ არსებობს პათოლოგიურ-ანატომიური ლაბორატორია “პათჯეოს” დადებითი დასკვნა-ფორმა № IV-200-6/ა, მაკრომორფოლოგიური და მიკრომორფოლოგიური აღწერის შესახებ.

### ემსამრიმენტული ნაწილი

სამუშაოს არსი მდგომარეობს იმაში, რომ ჩვენ მიერ ლაბორატორიულ პირობებში შექმნილი ხელსაწყოს (სურ. 1) ჰიპერთერმიული თავაკის მეშვეობით ხდება ტემპერატურული ველის ტრანსპორტირება ცხოველის კანზე და კანქვეშ, ამ თავაკის სიმსივნურ უბანზე დადებით გარკვეული დროის განმავლობაში, რომელიც ემპირიულად განისაზღვრება, იმის მიხედვით, როგორ რეაგირებს ცხოველი მკურნალობაზე და როგორ ექვემდებარება დაავადება მკურნალობას.



სურ. 1. ხელსაწყო “ლეზი” (მარცხნივ),  
გალია თაგუნებით (მარჯვნივ)

პვლევის მოსალოდნელი შედეგები და  
მათი მნიშვნელობა მეცნიერების,  
ეპონომიკის და/ან სოციალური  
სცენოსათვის

წარმოდგენილი პროექტის შესრულების შედეგად მოსალოდნელია:

1. დადასტურდეს ტემპერატურული ველებით გამოწვეული ჰიპერთერმიის სიმსივნის საწინააღმდეგო ეფექტი, რაც გამოიხატება სიმსივნური ზრდის დამუხრუჭებებით, შესაძლო რეზორბციითა და ექსპერიმენტულ ცხოველთა სიცოცხლის ხანგრძლივობის გაზრდით;

2. შერჩეულ იქნეს მაქსიმალური სიმსივნის საწინააღმდეგო და მინიმალური გვერდითი ეფექტების მქონე (ან არმქონე) მკურნალობის მეთოდი და მოწონებულ იქნეს, როგორც ავთვისებაინი სიმსივნის მკურნალობის ახალი, პერსპექტიული ალტერნატივა ან დამატებითი საშუალება.

### პვლევის მასალა და მეთოდები

**ჰიპერთერმია – სიმსივნის ალტერნატიული თერაპია**

ჰიპერთერმია ბერძნული სიტყვაა და ნიშნავს დათბობას, გადახურებას. იგი სიმსივნის თერაპიის ერთ-ერთი აღიარებული მეთოდია ევროპასა და, განსაკუთრებით, გერმანიაში, რომელსაც არანაირი უკუჩვენება არ აქვს. ონკოლოგიური დაავადებების წინააღმდეგ გამოიყენება ორი სახის ჰიპერთერმია: მთელი სხეულის და/ან ლოკალური. აღნიშნულის დროს ხორციელდება მთელი სხეულის ან კონკრეტული ორგანოების შიგა ტემპერატურის აწევა  $42^{\circ}\text{C}$ -დან  $44^{\circ}\text{C}$ -მდე, რაც იწვევს სიმსივნური უჯრედების განადგურებას. აღნიშნული არ მოიცავს სხეულის ზედაპირის მარტივ გათბობას, არამედ მასში იგულისხმება მთელი სხეულის ან მხოლოდ სიმსივნური წარმონაქმნის მონაკვეთების დათბობა მიკრო- ან რადიოტალდების, ასევე ინფრაწითელი სივრცების საშუალებით.

ექსპერიმენტში გამოიყენეთ 3-3,5 ოვის უჯრეშო (არაწრფივი) თეთრი თაგვები (18-20 გ მასით). ექსპერიმენტისთვის შერჩევის შემდეგ 10-14 დღის განმავლობაში ცხოველები მოათავსეს ვივარიუმში, საკარანტინო რეჟიმში. თითოეულ ცხოველზე შედგა ინდივიდუალური ოქმი. ცხოველები იმყოფებოდნენ ერთნაირი კვებისა და მოვლის პირობებში.

პვლევა წარმოებდა ერლისის ადენოკარცინომისა (EAT, ასციტური ვარიანტი) და S-45 (თითის-ტარაუჯრედოვანი სარკომა) სიმსივნური შტამების გამოყენებით. ერლისის ადენოკარცინომის ინტრაკერიტონულად, S-45-ის – კანქვეშ, ბჟჰქვეშა

მიღამოში. საკვლევი პრეპარატის ინექცია გაკეთდა პერი- და ინტრატუმორულად.

ცდები ჩატარდა ექსპერიმენტულ ონკოლოგიაში ფართოდ დანერგილი მეთოდებით. საკვლევი პრეპარატის სიმსივნის საწინააღმდეგო ეფექტზე ვიმსჯელებთ სიმსივნის წარმოქმნის სისშირით, სიმსივნური ზრდის დამუხრუჭებით, ცხოველთა წონის ცვლილებით, ასციტური სითხის შემცირებითა და ცხოველთა სიცოცხლის გახანგრძლივების მაჩვენებლის ცვლილებით. სითბო, რომელიც გაიძნება, არ არის დამოკიდებული ცოცხალი ორგანიზმის ადგილობრივ პირობებზე.

ამჟამად ზუსტი პიპერთერმიული მექანიზმი კიბოს მკურნალობისთვის ცნობილი არ არის. ფაქტიურად, ამ კითხვის პასუხი ლიტერატურაში არ არსებობს. ამის ერთ-ერთი მიზეზია ის, რომ მსჯელობათა უმრავლესობა დამყარებულია სითბოს გაბნევის გამოთვლილ ინტენსურობაზე, რომელიც მიღებულია განექნებულად, პიპერთერმიული მოვლენის ცვლადი დენის ამთვისებლობის წარმოსახვითი ნაწილის გამოყენებით. ამიტომ, ამ შედეგების შედარება შეუძლებელია. მაგრამ, როდესაც მოქმედი ტემპერატურული ველი, პიპერთერმისთვის გამოიყენება შესახერის ტემპერატურებზე, მამოძრავებელი ტემპერატურული ველები არ შეიძლება უგულიშელეყოთ. უფრო მეტიც, სრულფასოვანი ანალიზისთვის აუცილებელია დადგინდეს სხვადასხვა ტემპერატურული ველის ზემოქმედების განსხვავების ეფექტური გამოყენების შესაძლებლობა.

მიმართული პიპერთერმია, რომელიც მოხდევს სიმსივნურ დაავადებაზე ტემპერატურულ ზემოქმედებას, კელავ განვითარების სტადიაზე. ავტო-

რები დარწმუნებულები არიან, რომ, თუმცა გამოყენებაზე ორიენტირებული კვლევა აუცილებელია, ფუნდამენტური კვლევების გაგრძელებაც ასევე აუცილებელია. წარმატება პიპერთერმიული მკურნალობის დანერგვაში მნიშვნელოვნადაა დამოკიდებული ინტეგრირებულ მიღვომაზე.

## მიღვებული შედეგები და მათი განხვა

### პიპერთერმის სიმსივნის საწინააღმდეგო მონიტორინგიული სამკურნალო ეფექტი

I ჯგუფში შევისწავლეთ პიპერთერმის სიმსივნის საწინააღმდეგო სამკურნალო ეფექტი. ექსპერიმენტის პირველ დღეს (10.05.2013) განხორციელდა EAT-ის სიმსივნური შტამის კანქვეშა ინოკულაცია. საკვლევი ჯგუფის ყველა ცხოველს სიმსივნე განვითარდა.

ცხოველები ვიგარიუმიდან გადაყვანილ იქნენ სტუ-ის ბიონანოკერამიკისა და ნანოკომპოზიტების მასალათმცვლეობის ცენტრში და აქ დაიწყო მათი მკურნალობა.

28.05.2013 წ. – გავზომეთ ცხოველთა სიმსივნეები (იხ. ცხრილი 1) და იმავე დღეს (28.05.2013 წ.) ჩატარდა პიპერთერმის პირველი სეანსი. აღნიშნული სეანსები გაგრძელდა 17.06.2013 წ. ჩათვლით. სიმსივნურ წარმონაქმნებები მოათავსეს პიპერთერმიული ხელსაწყოს თავაკი, რომლის დაბოლოებაზე ფიქსირდებოდა 42–44° ტემპერატურა (ცელსიუსით). პიპერთერმიული მანიპულაციის სანგრძლივობა 30–30 წუთი იყო.

## 1. სტუ-ის ბიონანოკერამიკისა და ნანოკომპოზიტების მასალათმცვლეობის ცენტრი

### კანის და კანქვეშა სიმსივნური დაავადებების მკურნალობა პიპერთერმიული მეთოდებით (პირველი ჯგუფი)

ცხრილი 1

ცხოველის დასახელება რიცხვი	ბაბი სიმსივნის ზომები L,B,H= 11x10x8	მარჩელო სიმსივნის ზომები L,B,H= 13x10x8	პელე სიმსივნის ზომები L,B,H= 8x8x8
28.05.2013 - I სეანსის სანგრძლივობა	30 წთ	30 წთ	30 წთ
30.05.2013 (II სეანსის სანგრძლივობა)	30 წთ	30 წთ	30 წთ
1.06.2013 (III სეანსის სანგრძლივობა)	30 წთ	30 წთ	30 წთ
3.06.2013 (IV სეანსის სანგრძლივობა)	35წთ სიმსივნის ზომები 8X8X5	სიმსივნე იყო ძალიან დიდი, რამაც ნეკროზი გამოიწვია	35წთ სიმსივნის ზომები 8X8X8
5.06.2013 (V სეანსის სანგრძლივობა)	35 წთ		35 წთ
7.06.2013 (VI სეანსის სანგრძლივობა)	35 წთ		35 წთ
9.06.2013 (VII სეანსის სანგრძლივობა)	35 წთ სიმსივნის ზომები 5X5X3		35 წთ სიმსივნის ზომები 5X3X3

### ცხრილი 1 (გაგრძელება)

11.06.2013 (VIII სეანსის ხანგრძლივობა)	35 წთ		35 წთ
13.06.2013 (IX სეანსი ხანგრძლივობა)	35 წთ		35 წთ
15.06.2013 (X სეანსის ხანგრძლივობა)	35 წთ		35 წთ
17.06.2013 (XI სეანსის ხანგრძლივობა)	35 წთ სიმსივნის ზომები, მმ 5X5X3		35 წთ სიმსივნის ზომები, მმ 5X3X3

ექსპერიმენტის შედეგად დადგინდა, რომ № 1, №2 და №3 ცხოველებში დაფიქსირდა სიმსივნური ზრდის შეფერხება (შეჩერება), მეოთხე სეანსისათვის უკვე დაიმზირებოდა ნეკროზი, ხოლო №2 ცხოველს მკურნალობის დაწყებამდე აღნიშნებოდა დიდი სიმსივნური წარმონაქმნი, რომელსაც პიპეროვერმიული თავაკი ვერ ფარავდა. შედეგად აღინიშნა სიმსივნური წარმონაქმნის ზომაში პროგრესული მატება, სიმსივნე იზრდებოდა უკონტროლი და ამან მეოთხე სეანსისათვის გამოიწვია ცხოველის ნეკროზი. №1 და №3 ცხოველების სიმსივნეებში, პიპეროვერმიული მკურნალობის შედეგად, უკვე მეოთხე სეანსისათვის განვითარდა ე.წ. “ინტრატუმორული ნეკროზი” – სიმსივნური უჯრედების დანეკროზება. მეოთხე სეანსიდან მკურნალობა გაგრძელდა 35 წუთის

განმავლობაში. ყველაფერი ეს, ჩვენი აზრით, განპირობებულია პიპეროვერმის ზემოქმედებით. ამასთან №1 ცხოველზე აღინიშნა სიმსივნური წარმონაქმნის შემცირება, ხოლო №3 ცხოველზე სიმსივნის ზომები არ შეცვლილა (ცხრილი 1); მეოთხე სეანსიდან პიპეროვერმიული მკურნალობის დრო გავზარდეთ 35 წუთამდე.

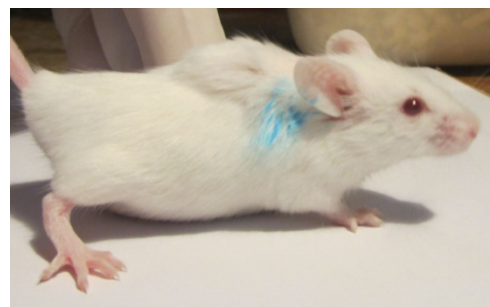
მეშვიდე სეანსის წინ აღებულ იქნა სიმსივნის ზომები. აღინიშნა მათი მკვეთრი შემცირება (ცხრილი 1). მეოთხოვებელ სეანსის წინ ისევ აღებულ იქნა სიმსივნური წარმონაქმნის ზომები, რომლებიც მეშვიდე სეანსის შემდეგ არ შეცვლილა.

უოგელი ორი ან სამი სეანსის შემდეგ ხდებოდა სიმსივნის გადაღება. ფოტოები წარმოდგნილია 1-ელ-მე-6 სურათებზე.

№1



№2, ორი სიმსივნური წანაზარდი



№3



სურ. 1. პიპეროველი სეანსის შემდეგ, 28.05.2013

№1



№2, ორი სიმსივნური წანაზარდი



სურ. 2. მესამე სეანსის შემდეგ, 1.06.2013

№1

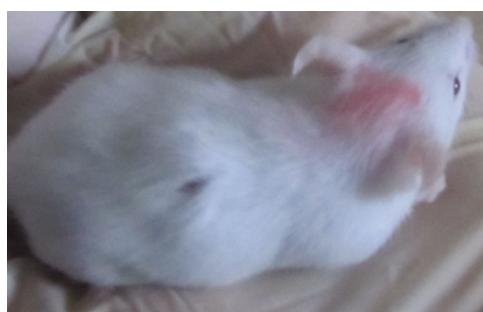


№2



სურ. 3. მეხუთე სეანსის შემდეგ, 5.06.2013

№1



№2, ორი სიმსივნური წანაზარდი



სურ. 4. მერვე სეანსის შემდეგ, 11.06.2013

№1



№2, ორი სიმსივნური წანაზარდი



სურ. 5. მეცხრე სეანსის შემდეგ, 13.06.2013

#### დასკვნა

ექსპერიმენტის მსვლელობისას შეინიშნებოდა სიმსივნის ზრდის შეჩერება. უშუალოდ ექსპერიმენტის დროს თაგვები დადგებითად რეაგირებდნენ მკურნალობის სეანსზე. ნათელი იქო №1 ცხოველზე განვითარებული ნეკროზი მეოთხე სეანსისათვის. რაც შეეხება №3 ცხოველს, რომელსაც აღენიშნებოდა ორი სიმსივნე, შედარვ-

ბისათვის ერთ-ერთს არ ვმეურნალობდით. ნამდებურნალევი წარმონაქმნი საგრძნობლად გაიზარდა, მაშინ, როდესაც მეორე სიმსივნე მკურნალობის პროცესში ნეკროზს განიცდიდა. ამჟამად ორივე ცხოველი იმყოფება დაკვირვების ქვეშ. №2 ცხოველი გარდაიცვალა სამი სეანსის შემდეგ. მას თავიდანვე აღენიშნებოდა ზომებში დიდად განვითარებული სიმსივნე, რომელსაც პიპეროერმიული თავაკი ვერ ფარავდა.

ექსპერიმენტატორები: ნ. დარახველიძე, ნ. კიქნაძე, ხ. ბლუაშვილი.

თვრთმეტი სეანსის შემდეგ მკურნალობა შეწყდა.

№1



№2



სურ. 6. მკურნალობის დამთავრებიდან ერთი კვირის შემდეგ

2. სტუ-ის გიონენოპერამიკისა და ნანოკომარზიტების მასალათმცოდნეობის ცენტრი

კანის და კანქვეშა სიმსივნური დაავადებების მკურნალობა  
ჰიპერთერმიული მეთოდებით (მეორე ჯაგუფი)

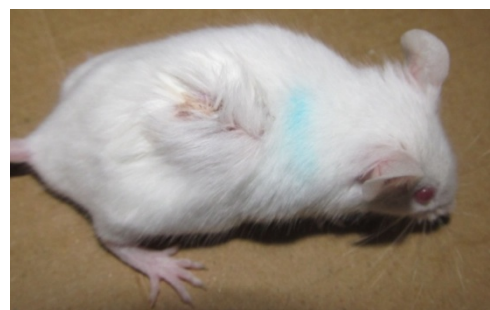
ცხრილი 2

რიცხვი	N 1 ცხოველი სიმსივნის ზომები L,B,H= 12x10x8	N 2 ცხოველი სიმსივნის ზომები L,B,H= 12x10x8	N 3 ცხოველი სიმსივნის ზომები L,B,H= 14x14x10
04.07.2013 – (I სეანსის ხანგრძლივობა)	30 წთ შეინიშნება სიმსივნური ზრდის შეჩერება	30 წთ შეინიშნება სიმსივნური ზრდის შეჩერება	30 წთ შეინიშნება სიმსივნური ზრდის შეჩერება
06.07.2013 (II სეანსის ხანგრძლივობა)	30 წთ	30 წთ	30 წთ
08.07.2013 (III სეანსის ხანგრძლივობა)	30 წთ შეინიშნება ნეკროზი	30 წთ შეინიშნება ნეკროზი	30 წთ შეინიშნება ნეკროზი
10.07.2013 (IV სეანსის ხანგრძლივობა)	30 წთ შეინიშნება ნეკროზი, სიმსივნის ზომები 12X12X8	30 წთ შეინიშნება დაავადებული უბნის გარშემო დაწყლულება, სიმსივნის ზომები 10X8X5	35 წთ შეინიშნება ნეკროზი, სიმსივნის ზომები 10X8X8
12.07.2013 (V სეანსის ხანგრძლივობა)	35 წთ შეინიშნება ნეკროზული ველის გარშემო დაწყლულება	35 წთ შეინიშნება ნეკროზული ველის გარშემო დაწყლულება	35 წთ შეინიშნება ნეკროზული ველის გარშემო დაწყლულება
14.07.2013 (VI სეანსის ხანგრძლივობა)	35 წთ	35 წთ	25 წთ
16.07.2013 (VII სეანსის ხანგრძლივობა)	35 წთ	35 წთ	არ ჩაუტარდა მკვეთრი დაწყლულების გამო
18.07.2013 (VIII სეანსის ხანგრძლივობა)	დაწყლულება სიმსივნური უბნის გარშემო, სიმსივნე არ არის. 30 წუთი ნამკურნალები უბნის ზომები 12X12X3	დაწყლულება სიმსივნური უბნის გარშემო, სიმსივნე არ არის. 30 წუთი ნამკურნალები უბნის ზომები 8X5X3	დაწყლულება სიმსივნური უბნის გარშემო, სიმსივნე არ არის. 30 წუთი ნამკურნალები უბნის ზომები 3X3X3

№1-ს აქვს ორი სიმსივნური წანაზარდი



№2



№3



სურ. 7. პირგელი სეანსის შემდეგ, 04.07.2013

№1-ს აქვს ორი სიმსივნური წანაზარდი



№2



№3



სურ. 8. მესამე სეანსის შემდეგ, 08.07.2013

№1-ს აქვს ორი სიმსივნური წანაზარდი



№2



№3

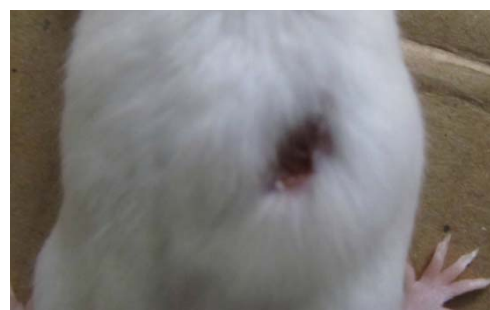


სურ. 9. მებუთე სეანსის შემდეგ, 12.07.2013

№1-ს აქვს ორი სიმსივნური წანაზარდი



№2



№3



სურ. 10. მერვე სეანსის შემდეგ, 18.07.2013

ექსპერიმენტის მსვლელობის პირველივე სეანსის შემდეგ შეინიშნებოდა სიმსივნის ზრდის შეჩერება სამივე ცხოველზე, ხოლო მესამე სეანსის შემდეგ სამივე ცხოველს აღენიშნებოდა სიმსივნური უჯრედების ნეკროზი. ოვალში საცემი იყო №2 ცხოველზე განვითარებული ნეკროზი მეოთხე სეანსზე. №2 ცხოველს უკვე მეოთხე სეანსის შემდეგ აღენიშნებოდა დაავადებული უბინის გარშემო დაწყლულება. უშუალოდ, ექსპერიმენტის დროს თაგვები დადებითად რეაგირებდნენ მკურნალობის პროცესზე.

მეხუთე სეანსის შემდეგ სამივე ცხოველზე შეინიშნება დაავადებული უბინის გარშემო დაწყლულება. №1 ცხოველს განუვითარდა ორი სიმსივნური წანაზარდი. ერთს გუმკურნალეთ,

ხოლო მეორე სიმსივნეს (შედარებისთვის) არა მკურნალობის პროცესში აშკარად შეინიშნებოდა ნამკურნალები სიმსივნის ნეკროზი, ხოლო მეორე სიმსივნე იზრდებოდა. მერვე სეანსის შემდეგ შეინიშნებოდა მთლიანად დაავადებული ნამკურნალები უბინის ნეკროზი და სიმსივნური უბინის გარშემო დაწყლულება უკვე სამივე ცხოველზე, რაც დაავადების განკურნების ფაზაში გადასვლაზე მიგვანიშნება. ამჟამად, ცხოველები იმყოფებიან დაკვირვების ქვეშ, ისინი თავს კარგად გრძნობენ. ეს 2013 წლის დეკემბრის ბოლო დღეებით. №1 ცხოველი, რომელსაც არანამკურნალები სიმსივნე ჰქონდა, მკურნალობის დამთავრებიდან სამი კვირის შემდეგ გარდაიცვალა.

№2



№3



სურ. 11. ნამკურნალები ცხოველები 2013 წლის დეკემბერის ბოლოს

**ექსპერიმენტატორები: ნ. დარახველიძე, ნ. კიკაძე, ხ. ბლუაშვილი**

### 3. დასკვნა

ავთვისებიანი სიმსივნის მკურნალობის პიპერტერმიული მეორდი პირველად საქართველოში ჩენე გამოყიდვენეთ.

ტემპერატურის გასინჯვის შემდეგ დადგინდა, რომ სიმსივნის ირგვლივ ქსოვილებში ტემპერატურა კლებულობს და უახლოვდება სხეულის ტემპერატურას. კველაზე მაღალი ტემპერატურა დაფიქსირდა სიმსივნის საპროექტო მიდამოში – კანზე და  $44^{\circ}$  შეადგენდა. სიმსივნური ქსოვილიდან 1.0–1.2 მმ მანძილზე დაფიქსირდა სხეულის ნორმალური ტემპერატურა. სიმსივნური შტამის ერლისის ადეხოვარცინომის ვარგისობა შემოწმდა სიმსივნის პასაჟით – ინოკულაციით ერთი ცხოველიდან მეორეში. ინოკულაცია წარმოებს პერიტონეუმში და, შესაბამისად, გადანერგვიდან მეათე–მეოთორმეტე დღეს ვითარდება ასციტი. სიმსივნის საწინააღმდეგო ეფექტი ფასდება სიმსივნური მასის შემცირებით, სიმსივნური ქსოვილის ნეკროზით, სიმსივნის სრული გაქრობით. ასევე, დინამიკაში შესწავლილია სიმსივნური ქსოვილი მორფოლოგიური კვლევის მეთოდით, სიმსივნის

ნეკროზითა და სიმსივნური მასისა და ნეკროზული უბნების კორელაციით.

პიპერტერმიული მკურნალობის სამი სეანსის შემდეგ კველა ჯაბუფის ცხოველებზე ვიზუალურად შეინიშნება სიმსივნური წარმონაქნის ზომების შემცირება და დაავადების ნეკროზი. ხოლო მასიური ნეკროზი, შვიდი სეანსის შემდეგ, კველა შემთხვევაში, აღენიშნება დაავადების ნეკროზი და დაწყლულება, რაც სიმსივნის განკურნების ფაზაში გადასვლაზე მეტყველებს. რვა-ათი სეანსის შემდეგ კვლავ აღინიშნება დაავადების ნეკროზი და დაწყლულება, რაც პროცესის შეუძლებელი და გამოყენებული პიპერტერმიული მეთოდის ეფექტურობაზე მეტყველებს. კველა შემთხვევაში სიმსივნის ზრდის დამუხსრულება და ინტრატემორული ნეკროზი განპირობებულია პიპერტერმიის ზემოქმედებით.

ვიზუალური დაკვირვებების შედეგები დადასტურებულია სამივე ცხოველზე (სამი, შვიდი და ათი სეანსების შემდეგ ჩატარებული გაზომვებით და ფოტოებით).

## ლიტერატურა

1. R. Cavaliere, E. C. Ciocatto, B. C. Giovanella, C. Heidelberger, R. O. Johnson, M. Margottini, B. Mondovi, G. Moricca, and A. Rossi-Fanelli, "Selective Heat Sensitivity of Cancer Cells. Biochemical and Clinical Studies," *Cancer*, 20 1351–1381 (1967).
2. K. Overgaard and J. Overgaard, "Investigation on the Possibility of a Thermic Tumour Therapy. II. Action of Combined Heat-Roentgen Treatment on a Transplanted Mouse Mammary Carcinoma," *Eur. J. Cancer*, 8 573–575 (1972).
3. J. Overgaard, "Effect of Hyperthermia on Malignant Cells In Vivo. A Review and a Hypothesis," *Cancer*, 39 2637–2646 (1977).
4. G. J. Ehrhardt and D. E. Day, "Therapeutic Use of 90Y Microspheres," *J. Nucl. Med.*, 14 233–242 (1987).
5. R. V. Mantravadi, D. G. Spigos, W. S. Tan, and E. L. Felix, "Intraarterial Yttrium 90 in the Treatment of Hepatic Malignancy," *Radiology*, 142 783–786 (1982).
6. M. J. Herba, F. F. Illescas, M. P. Thirlwell, G. J. Boos, L. Rosenthal, M. Atri, and P. M. Bret, "Hepatic Malignancies: Improved Treatment with Intraarterial Y-90," *Radiology*, 169 311–314 (1988).
7. Wollner, C. Knutson, P. Smith, D. Prieskorn, C. Chriss, J. Andrews, J. Juni, S. Warber, J. Klevering, J. Crudup, and W. Ensminger, "Effects of Hepatic Arterial Yttrium 90 Glass Microspheres in Dogs," *Cancer*, 61 1336–1344 (1988).
8. S. Houle, T. K. Yip, F. A. Shepherd, L. E. Rotstein, K. W. Sniderman, E. Theis, R. H. Cawthorn and K. Richmond-Cox, "Hepatocellular Carcinoma: Pilot Trial of Treatment with Y-90 Microspheres," *Radiology*, 172 857–860 (1989).
9. J. H. Anderson, J. A. Goldberg, R. G. Bessent, D. J. Kerr, J. H. McKillop, I. Stewart, T. G. Cooke, and C. S. McArdle, "Glass Yttrium-90 Microspheres for Patients with Colorectal Liver Metastases," *Radiol. Oncol.*, 25 137–139 (1992).
10. M. A. Burton, B. N. Gray, C. Jones, and A. Coletti, "Intraoperative Dosimetry of 90Y in Liver Tissue," *J. Nucl. Med.*, 16 495–498 (1989).
11. F. A. Shepherd, L. E. Rotstein, S. Houle, T. C. Yip, K. Paul, and K. W. Sniderman, "A Phase I Dose Escalation Trial of Yttrium-90 Microspheres in the Treatment of Primary Hepatocellular Carcinoma," *Cancer*, 70 2250–2254 (1992).
12. J. C. Andrews, S. C. Walker, R. J. Ackermann, L. A. Cotton, W. D. Ensminger, and B. Shapiro, "Hepatic Radioembolization with Yttrium-90 Containing Glass Microspheres: Preliminary Results and Clinical Follow-Up," *J. Nucl. Med.*, 35 1637–1644 (1994).
13. J.H. Tian, B.X. Xu, J.M. Zhang, B.W. Dong, P. Liang, and X.D. Wang, "Ultrasound-Guided Internal Radiotherapy Using Yttrium-90-Glass Microspheres for Liver Malignancies," *J. Nucl. Med.*, 37 958–963 (1996).
14. X. Cao, N. He, J. Sun, J. Tan, C. Zhang, J. Yang, T. Lu, and J. Li, "Hepatic Radioembolization with Yttrium-90 Glass Microspheres for Treatment of Primary Liver Cancer," *Chin. Med. J.*, 112 430–432 (1999).
15. M. Kawashita, F. Miyaji, T. Kokubo, G. H. Takaoka, I. Yamada, Y. Suzuki, and K. Kajiyama, "Phosphorus-Implanted Glass for Radiotherapy: Effect of Implantation Energy," *J. Am. Ceram. Soc.*, 82 683–688 (1999).
16. M. Kawashita, R. Shineha, H.-M. Kim, T. Kokubo, Y. Inoue, N. Araki, Y. Nagata, M. Hiraoka, and Y. Sawada, "Preparation of Ceramic Microspheres for In Situ Radiotherapy of Deep-Seated Cancer," *Biomaterials*, 24 2955–2963 (2003).
17. M. Hiraoka and G. M. Hahn, "Comparison Between Tumor pH and Cell Sensitivity to Heat in RIF-1 Tumors," *Cancer Res.*, 49 3734–3736 (1989).
18. N. F. Borrelli, A. A. Luderer, and J. N. Panzarino, "Hysteresis Heating for the Treatment of Tumors," *Phys. Med. Biol.*, 29 487–494 (1984).
19. K. Ohura, M. Ikenaga, T. Nakamura, T. Yamamuro, Y. Ebisawa, T. Kokubo, Y. Kotoura, and M. Oka, "A Heat-Generating Bioactive Glass–Ceramic for Hyperthermia," *J. Appl. Biomater.*, 2 153–159 (1991).
20. T. Kokubo, Y. Ebisawa, Y. Sugimoto, M. Kiyama, K. Ohura, T. Yamamuro, M. Hiraoka, and M. Abe, "Preparation of Bioactive and Ferrimagnetic Glass–Ceramic for Hyperthermia," *Bioceramics*, Vol. 3. eds. J. E. Hulbert and S. F. Hulbert. Rose-Hulman Institute of Technology, Indiana, 213–223, 1992.
21. M. Ikenaga, K. Ohura, T. Yamamuro, Y. Kotoura, M. Oka, and T. J. Kokubo, *Orthop. Res.*, 11 849 (1993).
22. H. Konaka, F. Miyaji, and T. Kokubo, "Preparation and Magnetic Properties of Glass–Ceramics Containing a-Fe for Hyperthermia," *J. Ceram. Soc. Jpn.*, 105 833–836 (1997).
23. M. Kawashita, H. Takaoka, T. Kokubo, T. Yao, S. Hamada, and T. Shinjo, "Preparation of Magnetite-Containing Glass–Ceramics in Controlled Atmosphere for Hyperthermia of Cancer," *J. Ceram. Soc. Jpn.*, 109 39–44 (2001).
24. M. Kawashita, Y. Iwahashi, T. Kokubo, T. Yao, S. Hamada, and T. Shinjo, "Preparation of Glass–Ceramics Containing Ferrimagnetic Zinc-Iron Ferrite for the Hyperthermal Treatment of Cancer," *J. Ceram. Soc. Jpn.*, 112 373–379 (2004).
25. Masakazu Kawashita, Ceramic Microspheres for Biomedical Applications *Int. J. Appl. Ceram. Technol.*, 2 [3] 173–183 (2005).
26. Z. Kovziridze, G. Donadze, G. Mamnashvili, A. Akhalatsi, D. Daraselia, D. Japharidze, O. Romelashvili, A. Shengelaia, C. Gavasheli, J.G. Heinrich. THE RECEIVING AND STUDY OF HEMATITE NANOPARTICLES FOR HYPERTHERMIA, 1st International Conference for Students and Young Scientists on Materials Processing Science, Tbilisi, Georgia 10-13 October 2010, Journal of Georgian Ceramists Association "Ceramics" N 2(23), 2010, 1(24), 2011, Tbilisi, p.37-46.
27. Z. Kovziridze, J. Heinrich, R. Goerke, G. Mamnashvili, Z. Chachkhiani, N. Mitskevich, G. Donadze. Production of superparamagnetic nanospheres for hyperthermic therapy of surface (skin) cancer diseases. 3rd International congress on Ceramics, November 14-18, 2010, Osaka, Japan. IOP Conference Series: Materials Science

- and Engineering, 2010. ICC 3 Proceedings, INNOVATIVE TECHNOLOGIES and FUTURE OUTLOOK for CERAMICS, The Ceramic Society of Japan. P.p.1536-1539.
28. Z.Kovziridze, J. Heinrich, R. Goerke, G. Mamniashvili, A. Akhalkatsi, Z. Chachkhiani, N. Mitskevich, G. Donadze. PRODUCTION OF BIONANOCERAMIC SUPER-PARAMAGNETICS FOR CREATION OF CONTROLLED LOCAL HYPERTERMIA AND THEIR USE, AS THERAPEUTIC AGENTS, FOR PURPOSEFUL TRANSPORTATION IN LIVING ORGANISMS IN SURFACE (SKIN) CANCER TREATMENT. Journal of Georgian Ceramists Association "Ceramics" N 1(22), Tbilisi, 2010, p.43-51.
29. Z. Kovziridze, P. Khorava, N. Mitskevich. Controlled Local Hyperthermia and Magnetic Hyperthermia of Surface (Skin) Cancer Diseases. Journal of Cancer Therapy, 2013, 4, # 7, p.p. 1262-1271. USA, Delaware.
30. Z. Kovziridze, E. Nikoleishvili, P. Khorava, A. Eliozashvili, G. Donadze. Controlled Local Hyperthermia for Therapy of Malignancies . 2nd International Conference for Students and Young Scientists on Materials Processing Science, Tbilisi, Georgia, 10-13 October
- 2012, Journal of Georgian Ceramists Association, 1(29) 2013. P.p. 140 146.
31. ზ. კოვზირიძე, პ. ხორავა, ლ. ზერეკიძე, ა. ელიოზაშვილი, გ. დონაძე. ავთვისებიანი სიმსივნეების მკურნალობის ჰიპერთერმიული მეთოდის დამუშავება // საქართველოს კერამიკისა ასოციაციის ჟურნალი "კერამიკა", 2012, №1(27) გვ. 16-34.
32. G. Donadze, G. Mamniashvili A. AkhalkatsiD. DaraseliaD. JapharidzeO. RomelashviliA. ShengelaiaC. GavasheliJ.G. Heinrich. THE RECEIVING AND STUDY OF HEMATITE, NANOPARTICLES FOR HYPERTERMIA. 1st International Conference for Students and Young Scientists on Materials Processing Science, Tbilisi, Georgia 10-13 October 2010, saqarTvelos keramikosTa asociaciis Jurnali "keramika", 1(24), 2011, gv. 37-46.
33. დეპონირების მოწმობა "მართვადი ლოკალური ჰიპერთერმია კიბოს დაავადებების სამკურნალოდ". ნაბეჭდი. საქართველოს ინტელექტუალური საკუთრების ეროვნული ცენტრი, საქაბეჭდი დეპონირების მოწმობა 5054 "მართვადი ლოკალური ჰიპერთერმია კიბოს დაავადებების სამკურნალოდ".

**УДК 669:621:762**

## **CONTROLLED LOCAL HYPERTERMIA FOR THERAPY OF MALIGNANCIES**

**Z. Kovziridze, G. Menteshashvili, P. Khorava, Kh. Bluashvili**

**Resume:** On the basis of experimental material the anticancer mono-therapeutic effect of hyperthermia and its adjuvant action in poly chemotherapeutic treatment was presented by the use of a device created by us – "Lezi". (Georgian Intellectual Property National Center "SAQPATENTI". Deposit Certificate 5054. Work: "Control Local Hyperthermia and Magnetic Hyperthermia for Therapy of Malignancies"). As a result of the experiment it was shown that in all animals (outbred albino mice, 3 months old) inhibition of cancer growth was fixed and intratumoral necrosis developed, while after 7-10 sessions tumors were ulcerated, which refers to positive effect of the experiment. (Conclusion of pathology-anatomical Laboratory "PATGEO", Tbilisi, Georgia).

**Key words:** Controlled local hyperthermia; necrosis; ulceration.

**УДК 669:621:762**

## **УПРАВЛЯЕМАЯ ЛОКАЛЬНАЯ ГИПЕРТЕРМИЯ ДЛЯ ЛЕЧЕНИЯ ОПУХОЛЕВЫХ БОЛЕЗНЕЙ**

**Ковзридзе З.Д., Ментешашвили Г.З., Хорава П.А., Блуашвили Х.Т.**

**Резюме:** Для развития монотерапевтического эффекта гипертермии против раковых заболеваний, опираясь на экспериментальный материал, было использовано устройство «Лез», созданное в национальном центре материаловедения ГТУ. Получен Грузпатент. Подтверждающее удостоверение депонирования – 5054 («Управляемая локальная гипертермия и магнитная гипертерапия для лечения раковых заболеваний»). В результате было показано, что у всех животных (альбиносы, трехмесячные мыши) зафиксирована остановка заболеваний рака и развился интрамуральный некроз. После 7-10 сеансов опухоль преобразовалась в язву, что говорит о положительном результате эксперимента (заключение патолого-анатомической лаборатории «Патгео». Номер исследования 3119-12. Тбилиси, Грузия).

**Ключевые слова:** управляемая локальная гипертерапия; некроз; язва.

## უაგ 635.64

საქართველოს გაზარზე არსებული ტომატ-აასტების გამოკვლევა ტოშიცური ელემენტების შემცველობაზე

ნ. ღუჩიძე\*, მ. მჭედლიშვილი

ქიმიური და ბიოლოგიური ტექნილოგიების დეპარტამენტი, საქართველოს ტექნიკური უნივერსიტეტი,  
საქართველო, 0175, თბილისი, კოსტავას 69

E-mail: natiduchidze75@yahoo.com

**რეზიუმე:** გამოკვლეულია სხვადასხვა ქემიკის მიერ წარმოებულ და საქართველოს ბაზარზე გამოტანილ ტომატ-აასტაში ტოქსიკური ელემენტების შემცველობები.

მარნეულის სასურსათო ქარხნის მაგალითზე დადგენილია, რომ ტომატ-აასტაში მათი შემცველობები დამოკიდებულია სხვადასხვა ფაქტორზე, მათ შორის პომიდვრის და ტექნილოგიური წყლის შედგენილობაზე. გარდა ამისა, ტომატ-აასტაში მათი მოხვედრა შესაძლებელია აგრეთვე მწარმოებელ ქარხანაში გამოყენებული აპარატებიდან.

დადგენილია, რომ ბაზარზე გამოტანილი ყველა ფირმის პროდუქცია აქმაყოფილებს, ტოქსიკური კლემტენტების შემცველობის თვალსაზრისით, მათზე წაყენებულ მროთხოვნებს, თუმცა ზოგიერთში მათი შემცველობები ზღვრულ დასაშვებ ნორმებს უახლოვდება.

**საკვანძო სიტყვები:** მძიმე ლითონები; ტომატ-აასტა; შედარებითი დახასიათება.

### 1. შესავალი

პომიდორი განსაკუთრებით მვირფასი სამუშაოები კულტურაა. მისი ნაყოფები გამოირჩევა მაღალი საგემოვნო თვისებებით და მრავალმხრივი მოხმარებით. პომიდორი გამოიყენება როგორც ნედლი, ასევე გადამუშავებული სახით (ტომატ-აასტა, ტომატ-პიურე, წვენი, მწილი და ა.შ.).

პომიდორი ბევრ სასარგებლო ნივთიერებას შეიცავს: შაქარს, ორგანულ მჟავებს, ცელულოზას, პექტინებს, რეინას, სპილენზს, ნატრიუმს, კალციუმს, მაგნიუმს, B<sub>1</sub>, B<sub>2</sub>, PP ვიტამინებს [1]. მეცნიერებმა დაადგინეს, რომ პომიდორში მჟაუნ-მჟავა 10-ჯერ ნაკლებია, ვიდრე კარტოფილში და 8-ჯერ ნაკლები, ვიდრე ჭარხალში. რკინით მდიდარი პომიდორი სასარგებლოა სისხლნაკლებობის დროს. ეს ბოსტენეული შეიცავს ანტიოქსიდანტ ლიკოპინს, რომელიც უჯრედებს დაბერებისა და სიმსიგნისგან იცავს და რომლის კონცენტრაცია გაცხელებისა და კონსერვირების დროს უფრო იზრდება.

ლიკოპინი პიგმენტია, რომელიც პომიდორს წითელ ფერს აძლევს; მისი ყველაზე მნიშვნელოვანი წყაროა პომიდორი, რომელიც ბუნებრივად უმდიდრესია ლიკოპინით; ლიკოპინი განსა-

კუთრებით იცავს დნმ-ს (დეზოქსირიბონუკლეინის მეავა) და ებმარება მას სერიოზული გართულებების მნიშვნელოვან პრევენციაში; ლიკოპინის დამცვი ასპექტი მეტად მნიშვნელოვანია სიცოცხლისთვის საშიში ისეთი დაავადებების წინააღმდეგ, როგორიცაა: პროსტატის, სწორი ნაწლავის, მკერდის და ყელის ავთვისებიანი სიმსივნე; აღმოჩნდა, რომ პომიდვრის პროდუქტები თერმული დამუშავების შემდეგ შეიცავს ლიკოპინის გაცილებით მაღალ ოდენობას ნედლ პომიდვროთან შედარებით. ამდენად პომიდვრისგან წარმოგებულ ტომატ-აასტას, კვებითი დირქბულების და სარგებლობის მხრივ, განსაკუთრებული მნიშვნელობა ენიჭება.

ტომატ-აასტაში ნორმირებულია მშრალი ნივთიერების, მყარი მინარევების და მძიმე ლითონების ოდენობა და ფერი.

ტომატ-აასტა შეიცავს (%-ში): მშრალი ნივთიერება – 30; რედუცირებული შაქრები – 17–19; უჯრედისი – 1–1,5; ცილები – 5-ძღვ; საერთო მევიანობა (ვაშლმჟავაზე გადაანგარიშებით) – 2,5–3,5%, როგორც PH 3,7 – 4,6-მდეა; ნაცრიანობა აასტაში 3,2–3,4% [2].

ტომატ-აასტას ფერის განმსაზღვრელ პარამეტრებს შორის ერთ-ერთი მნიშვნელოვანი აღილი ნედლებულის სიმწიფის სარისხს უპავია. მომწვანო შეფერილობის ნაყოფებში მწვანე შეფერილობის მიმცემი ქლოროფილი სარშეის პროცესში ფეოფიტინში გადადის და პროდუქტების მურა შეფერილობას სტენს. მაღალ ტემპერატურაზე ხანგრძლივი გაცხელება, ასევე პასტის მომატებულ ტემპერატურაზე შენახვა მელანიდური რეაქციების გააქტიურებას და შედეგად პროდუქტების გამუქებას უწყობს ხელს [3].

### 2. ძირითადი ნაწილი

ტომატ-აასტაში მძიმე ლითონების შემცველობა მკაცრად არის რეგლამენტირებული, რადგან ისინი ლითონურ შხამებს მიეკუთვნება, თუმცა ზოგიერთი მათგანის გარკვეული რაოდენობით არსებობა პომიდორში და შემდეგ ტომატ-აასტაში საჭირო არის, რადგან ისინი სასიცოცხლო მნიშვნელობის მქონე ფერმენტების შედგენილობაში შედის. ეს არ ითქმის ზოგიერთ მძიმე ლითონზე, მაგალითად, ტყვიაზე, რომელიც ბიოელემენტების რიცხვს არ მიეკუთვნება.

პირველ ცხრილში მოცემულია ზოგიერთი მიმმებ ლითონის ზღვრული დასაშვები ნორმა ტომატ-პასტაში.

**ცხრილი 1  
მძიმე ლითონების შემცველობის  
ზღვრული დასაშვები ნორმები  
ტომატ-პასტაში**

ტოქსიკური ელემენტები	ზ.დ.კ
ტენი (Pb) მგ/კგ	<0,5
კადმიუმი (Cd) მგ/კგ	<0,03
დარიშხანი (As) მგ/კგ	<0,2
ვერცხლისწყალი (Hg) მგ/კგ	<0,02
სპილენდი (Cu) მგ/კგ	<5,0
თუთია (Zn) მგ/კგ	<10,0

მოცემული ნაშრომი ითვალისწინებს მარნეულის სასურსათო ქარხნაში წარმოებულ ადგილობრივი ნედლეულიდან მიღებულ ტომატ-პასტაში და საქართველოს ბაზარზე გამოგანილ სხვადასხვა ქვეყნის მიერ წარმოებულ ტომატ-პასტაში მძიმე ლითონების შემცველობის გამოკვლევას და, გამოკვლევის შედეგებიდან გამომდინარე, მათ შედარებით დახასიათებას.

მარნეულის სასურსათო ქარხნის მიერ, მის მფლობელობაში მყოფ სასოფლო-სამეურნეო სავარგულზე მოწეული პროცესებით წარმოებული ტომატ-პასტის გამოკვლევა მძიმე ლითონების შემცველობაზე საინტერესო იყო იმითაც, რომ, როგორც ადრე შესრულებულმა კვლევებმა გვიჩვენა [4], აღნიშნულ საგარეულზე პომიდვრის

სარისხობრივი მაჩვენებლები აკმაყოფილებს მისგან ტომატ-პასტის მისაღებად წაგნებულ მოთხოვნებს, მაგრამ პროდუქციის მძიმე ლითონებით დაბინძურების წყაროდ შეიძლება მოგვევლინოს არა მხოლოდ ნედლეული, არამედ გადამუშავების პროცესში გამოყენებულ აპარატურასთან კონტაქტი, ტექნოლოგიური წყალი და ტარა, რომელშიც წარმოებს პროდუქციის დაფასევება.

ტომატ-პასტაში მძიმე ლითონების განსაზღვრა წარმოებდა ატომურ-ადსორბციული მეთოდით. აღნიშნული მეთოდით ლითონების შემცველობის განსაზღვრის მიზნით ხდებოდა საანალიზო აღებული სინჯის წინასწარი მინერალიზაცია და ამ გზით ტომატ-პასტაში არსებული მძიმე ლითონების წყალში ხსნად, არაორგანულ ნაერთებში გადაეცანა. იმისდა მისევდით, თუ რომელი ლითონის განსაზღვრა იყო გათვალისწინებული, წარმოებდა საკვლევად აღებული სინჯის გარკვეული რაოდენობით მინერალიზაცია სველი ან მშრალი დანაცრების მეთოდით. კერძოდ, თუთიის და სპილენდის განსაზღვრისთვის გამოვიყენეთ მშრალი დანაცრების მეთოდი, ხოლო ტყვიის, დარიშხანის, ვერცხლისწყლის და კადმიუმისთვის – სველი დანაცრების მეთოდი.

მშრალი დანაცრების მეთოდით მინერალიზაციისა გამოყენებული იყო  $\text{NH}_4\text{HCO}_3$ ; სველი დანაცრება წარმოებდა აზოტმჟავას და გოგირდმჟავას ნარვეოთ.

მარნეულის სასურსათო ქარხნის მიერ წარმოებულ ტომატ-პასტაში მძიმე ლითონების შემცველობის განსაზღვრა წარმოებდა მონიტორინგის გზით როგორც პომიდვრის უშუალოდ გადამუშავებიდან რამდენიმე დღის შემდეგ დაფასევებულის, ისე ნახევარფასტის სახით შენახული ტომატ-პიურედან მიღებული პროდუქტიდან.

**ცხრილი 2**

**მონიტორინგი მძიმე ლითონების შემცველობაზე  
მარნეულის სასურსათო ქარხნის მიერ წარმოებულ  
ტომატ-პასტაში**

ტოქსიკური ელემენტები	ზ.დ.კ	განსაზღვრის შედეგი			
		19.11.2012	22.02.2013	19.03.2013	25.03.2013
ტენი (pb) მგ/კგ	<0,5	<0,01	0,076	არ აღმოჩნდა	<0,2
სპილენდი (Cu) მგ/კგ	<5,0	<0,31	0,008	4,04	3,45
კადმიუმი (Cd) მგ/კგ	0,03	<0,01	0,015	არ აღმოჩნდა	<0,02
დარიშხანი (As) მგ/კგ	<0,2	<0,01	<0,05	0,04	<0,1
ვერცხლისწყალი (Hg) მგ/კგ	0,02	<0,01	<0,01	არ აღმოჩნდა	<0,001
თუთია (Zn) მგ/კგ	<10,0	1,9	0,012	4,14	7,1

როგორც შედეგებიდან ჩანს, მარნეულის საურსათო ქარხანაში წარმოებულ ტომატ-პასტაში მძიმე ლითონების შემცველობა ნორმის ფარგლებშია. თუმცა, უნდა აღინიშნოს, რომ მათი შემცველობა მაინც არასტაბილურია და გარკვეულ ფარგლებში მერყეობს. ასე, მაგ., ტყვიის შემცველობა ზოგ შემთხვევაში საერთოდ არ ფიქსირდება ტომატ-პასტაში, ზოგჯერ კი მისი შემცველობა 0,2 მგ/კგ-ს უახლოვდება. თუმცა ზ.დ.კ 0,5 მგ/კგ-მდეა, მაინც სასურველია მისი შემცველობა ზ.დ.კ-ზე რაც შეიძლება დაბალი იყოს. ტყვია ბიოელემენტების რიცხვს არ მიეკუთვნება და საერთოდ ორგანიზმში მისი მოხვედრა მიზანშეწონილი არ არის.

ტოქსიკოლოგიური თვალსაზრისით, იგივე სურათი გვაქვს ერთ-ერთი ყველაზე მნიშვნელოვანი ელემენტის – კადმიუმის შემცველობის მიმართ. თუმცა მისი შემცველობა წელიწადის სხვადასხვა დროს აღებულ ნიმუშებში ზღვრულ დასაშვებ ნორმას არ სცილდება, რიგ შემთხვევაში რაოდენობრივად ახლოსაა ზოგიერთ ნიმუშში, კერძოდ 2013 წლის 25 მარტს აღებულ ნიმუშში. ამ შედეგზე სრულად დაყრდნობა არ შეიძლება, რადგან წლის განმავლობაში მისი შემცველობის ცვლილება კანონზომიერ ხასიათს

არ ატარებს. შედარებით უფრო კანონზომიერ ხასიათს ატარებს სპილენძის კონცენტრაციის ცვლილება დროში. ასე, მაგ., თუ შემოდგომის პროდუქციაში მისი შემცველობა უმნიშვნელოა ზღვრულ დასაშვებ ნორმასთან შედარებით, გაზაფხულზე მასთან მიახლოებულია. ვფიქრობთ, საჭიროა წარმოებისთვის მიღებული შედეგის გათვალისწინება, რადგან აშკარად შეინიშნება სპილენძის გადასვლა აპარატურიდან პროდუქციაში. არსებითად ასეთივე მდგომარეობა გვაქვს თუთიის მიმართაც – ახლად მოკრეფილი პომიდვრიდან მიღებულ პროდუქციაში თუთია საშუალოდ 6-ჯერ მეტია გაზაფხულზე „აიურეს“ სახით დაფასოებულ პროდუქციასთან შედარებით. გაცილებით სტაბილურია ვერცხლისწყლის და დარიშხანის შემცველობები პროდუქციაში.

ურთიერთ შედარებითი დახასიათების და ასევე საქართველოს ბაზარზე გამოტანილი ტომატ-პასტების ხარისხს ხმარის მაჩვნებლებზე, მონიტორინგის წარმოების მიზნით, ჩვენ მიერ გამოკვლეულია ექვსი სხვადასხვა ფაბრიკის მიერ წარმოებულ ტომატ-პასტაში მძიმე ლითონების შემცველობა, მათ შორის თუთიის, სპილენძის, ვერცხლისწყლის, კადმიუმის, ტყვიის და დარიშხანის. შედეგები მოცემულია მე-3 ცხრილში.

### ბაზარზე არსებულ ტომატ-პასტაში მძიმე ლითონების შემცველობაზე ანალიზის შედეგები

ცხრილი 3

პროდუქციის დასახელება	ტოქსიკური ელემენტის ნიმუში	ტოქსიკური ელემენტის ნიმუში	ტოქსიკური ელემენტის ნიმუში	ტოქსიკური ელემენტის ნიმუში	ტოქსიკური ელემენტის ნიმუში	ზ.დ.კ
ტოქსიკური ელემენტი	ტოქსიკური ელემენტის ნიმუში	ტოქსიკური ელემენტის ნიმუში	ტოქსიკური ელემენტის ნიმუში	ტოქსიკური ელემენტის ნიმუში	ტოქსიკური ელემენტის ნიმუში	
თუთია (მგ/კგ)	1,17	0,31	1,63	2,8	5,0	0,85
სპილენძი (მგ/კგ)	2,3	1,4	0,41	2,9	3,4	0,70
ტყვია (მგ/კგ)	0,01	<0,3	<0,02	<0,2	<0,2	<0,2
კადმიუმი (მგ/კგ)	<0,01	<0,03	<0,01	<0,02	<0,02	<0,03
დარიშხანი (მგ/კგ)	<0,01	<0,05	<0,01	<0,1	<0,1	<0,1
ვერცხლისწყალი (მგ/კგ)	<0,01	<0,01	<0,01	არ აღმოჩნდა	არ აღმოჩნდა	არ აღმოჩნდა
						<0,02

როგორც შედეგებმა აჩვენა, საქართველოს ბაზარზე არსებულ ტომატ-პასტებში ტოქსიკური ელემენტების შემცველობა ზოგადად დამაკმაყოფილებელია – მათი შემცველობები ნორმატიული დოკუმენტაციით დადგენილ სიდიდეებს არ აღმარება, თუმცა ტომატ-პასტის ზოგიერთ ნიმუშში ამა თუ იმ ტოქსიკური ელემენტის შემცველობა მის საგანგაშო მნიშვნელობას უახლოვდება. მათ

რიცხვშია კადმიუმი და სპილენძი. კერძოდ, სპილენძის შემცველობა ყველაზე მაღალია მე-5 ნიმუშში – 3,4 მგ/კგ, რაც ძალიან ახლოსაა ნორმატიული დოკუმენტაციით დადგენილ მის სიდიდესთან. საგანგაშოა მდგომარეობა კადმიუმის მიმართ – ბევრ ნიმუშში მისი შემცველობა ძალიან ახლოსაა მის ზღვრულ სიდიდესთან, ერთ-ერთში კი ზღვრული სიდიდის რიგისაა – 0,03 მგ/კგ.

### **3. დასკვნა**

მარნეულის სასურსათო ქარხნის მიერ წარმოებული ტომატ-პასტა გროვერთი საუკეთესო საქართველოს ბაზარზე გამოტანილ ტომატ-პასტის პროდუქციებს შორის.

გამოკვლევის შედეგები გვიჩვენებს, რომ საქართველოს ბაზარზე ჩვენ მიერ დაფიქსირებულ ტომატ-პასტებიდან, ტოქსიკური ელემენტების შემცველობის ოვალსაზრისით, ეკოლოგიურად დაბინძურებული არც ერთი პროდუქცია არ აღმოჩნდა. პრევენციული ზომების მიღების მიზნით მიზანშეწონილია სისტემატურად განხორციელდეს მათი შედგენილობის კონტროლი ტოქსიკური ელემენტების შემცველობაზე.

### **ლიტერატურა**

1. თეიმურაზ მაღლაკელიძე, ნინო ჩიხრაძე. ხილისა და ბოსტნეულის დაკონსერვების ტექნოლოგია. თბილისი, 2005, გვ. 276.
2. ა. ფან-იუნგი, ბ. ფლაუმენბაუმი, ა. იზოტოვი. ხილისა და ბოსტნეულის დაკონსერვების ტექნოლოგია. თბილისი: განათლება, 1965, გვ. 415.
3. გ. კვაჭაძე. მებოსტნეობა. თბილისი: განათლება, 1965, გვ. 383.
4. 6. დუბიძე, გ. მჭედლიშვილი. ტომატ-პასტის ნედლეულად გამოყენებულ პომიდორში ზოგიერთი მძიმე ლითონის შემცველობა „მარნეულის სასურსათო ქარხნის“ მაგალითზე” // ქიმიური ურნალი, 2012. გვ. 189-192.

---

**UDC 635.64**

**RESEARCH OF CONTENT OF TOXIC ELEMENTS IN TOMATO PASTE AT GEORGIAN MARKET**

**N. Duchidze, M. Mchedlishvili**

**Resume:** There is examined the content of toxic elements in tomato paste produced by different countries and imported to Georgian market.

On example of "Marneuli Food Factory" it has been established that toxic elements content in tomato paste depends on different factors, including the content of tomato and technological water. Besides, their getting into tomato paste is also possible from the equipment used in the plant.

It has been established that the products of all the firms that gets on the market satisfy the requirements presented to them concerning the content of toxic elements, although some of them are approaching the maximum permissible norms.

**Key words:** heavy metals; tomato paste; comparative characteristics.

---

**УДК 635.64**

**ИССЛЕДОВАНИЕ ИМЕЮЩИХСЯ НА ГРУЗИНСКОМ РЫНКЕ ТОМАТ-ПАСТ**

**НА СОДЕРЖАНИЕ ТОКСИЧЕСКИХ ЭЛЕМЕНТОВ**

**Дучидзе Н.Г., Мчедлишвили М.И.**

**Резюме:** Исследовано содержание токсических элементов в томат-пасте, производимой разными странами и вынесённой на грузинский рынок.

На примере «Марнеульского продовольственного завода» установлено, что их содержание в томат-пасте зависит от ряда разных факторов, в том числе и от содержания помидора и технологической воды. Кроме того, их попадание в томат-пасту возможно из аппаратуры, используемой на заводе-производителе томат-пасты.

Установлено, что продукция всех фирм, вынесённая на рынок, в смысле содержания токсических элементов удовлетворяет предъявленные им требования, хотя в некоторых из них их содержание приближается к предельно допустимым нормам.

**Ключевые слова:** тяжелые металлы; томат-паста; сравнительная характеристика.

შაპ 666.762.93

ბეოცოლიმერის გაზახე აზოტის ბარემოში მიმდინარე კარბო და ალუმინიუმ-მული პროცესები

ზ. კოვზირიძე\*, ნ. ნიუარაძე, ნ. დარახველიძე, გ. ტაბატაძე, ზ. მესტვირიშვილი

ქიმიური და ბიოლოგიური ტექნილოგიების დეპარტამენტი, საქართველოს ტექნიკური უნივერსიტეტი,  
საქართველო, 0175, თბილისი, კოსტავას 69

E-mail: kowsiri@gtu.ge

**რეზიუმე:** შესწავლით გეოპოლიმერის (კაოლინის) ბაზაზე კარბო- და ალუმინორმული მეთოდით სიალონების მიღების შესაძლებლობა და ნარევების აზოტის გარემოში  $1400^{\circ}\text{C}$ -ზე გაურებისას მიმდინარე პროცესები.

კვლევა ჩატარდა ოპტიკური და რენტგენოსტრუქტურული ანალიზის მეთოდებით.

**საკვანძო სიტყვები:** სიალონები; ალუმინის პუდრა; ნახშირბადი; გეოპოლიმერი; მულიტი.

## 1. შესავალი

მეცნიერებისა და ტექნიკის მქეოთრი და სწრაფი განვითარება ყოველთვის იწვევს და მოითხოვს წარმოების სხვადასხვა დარგის სრულყოფას, რაც თავისთავად დაკავშირებულია ახალი, მაღალი ფიზიკურ-ტექნიკური თვისებების მასალების შექმნის აუცილებლობასთან.

დიდი ხნის პრაქტიკული გამოცდილების გათვალისწინებით მასალათმცოდნეობაში დადგენილია ჟინგბადიანი [1-3] და უქანგბადი მნელლობადი ნაერთების უპირატესობა [4-6] სხვა

მასალებთან შედარებით, რადგან ისინი გამოირჩევა მაღალი საექსპლუატაციო თვისებებით. უქანგბადო მნელლობად მასალებს შორის გამოირჩევა მასალები სილიციუმის კარბიდის ბაზაზე [7-10]. ცნობილია სილიციუმის კარბიდის მასალები სხვადასხვა შემქვრელით: კაჟმიწვანი, ნიტრიდული, ოქსინიტრიდული, კომპლექსური და სხვა [11-14]. უკანასკნელ წლებში მიმდინარეობს ინტენსიური კვლევა კერამიკის ისეთი სახეობის მიღების შესაძლებლობისა, რომელშიც იქნებოდა შესამებული ჟანგბადიანი და უქანგბადი ნაერთების ოპტიმალური თვისებები. ასეთ მასალებს განეკუთვნება სიალონები [15- 16].

## 2. ძირითადი ნაწილი

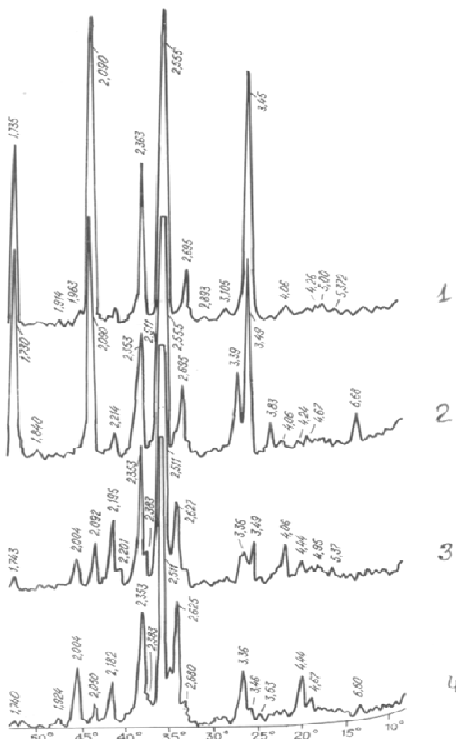
სამუშაოს მიზანია კაოლინის ბაზაზე აზოტის გარემოში მიმდინარე კარბო- და ალუმინორმული პროცესების შესწავლა. შედგა ნარევები: კაოლინზე ნახშირბადის ( $C_1$ ), კაოლინზე ალუმინის პუდრის ( $C_2$ ), ნახშირბადისა და ალუმინის პუდრის ნარევის ( $C_3$ ) დამატებით. ნარევების შედგენილობა წარმოდგენილია პირველ ცხრილში.

## ცხრილი 1 ნარევის შედგენილობა და მიღებული ნიმუშების ფიზიკურ-ტექნიკური მახასიათებლები

ინდექსი	ნარევის შედგენილობა, მას. %			მაჩვენებლები			
	პარალიზი	ნახშირბადი	ალუმინი	სიმტკიცის ხდევაზე გეგმურისას, გ, მს	დია ფირისიზა მ, %	სიმკვრივე გ/სმ <sup>2</sup>	ცეცხლამძლეობა, °C
$C_1$	82	12	-	170	15,0	1,55	> 1770
$C_2$	88	-	12	210	13,4	1,52	> 1770
$C_3$	88	6	6	160	16,8	1,50	>1770

ნახევრად მშრალი მეთოდით დამზადდა ცილინდრული ფორმის ნიმუშები, რომელთა ზომია:  $d=15\text{mm}$ ,  $h=20\text{mm}$ . დაყალიბების წევა იყო 20 გვა. შრობის შემდეგ ნიმუშები გამოიწვა დუმელში 1400°C ტემპერატურაზე, ბოლო ტემპერატურაზე ერთსაათიანი დაყოვნებით.

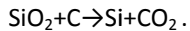
შევისწავლეთ გამომწვარი ნიმუშების ფიზიკურ-ტექნიკური თვისებები (ცხრილი 1). როგორც ცხრილიდან ჩანს, მაღალი ფიზიკურ-ტექნიკური მაჩვენებლებით გამოიჩინევა  $C_2$ , შემდეგ –  $C_1$  და  $C_3$ . და ფორმანობა შესაბამისად შეადგენს 13,4, 15,0 და 16,8%-ს. კუმულაციის სიმტკიცის ზღვარი არის 210, 170 და 160 მპა. მიღებული ნიმუშების ფაზური შედგენილობის დასაღვენად კვლევა ჩატარდა რენტგენოსტრუქტურული ანალიზით. რენტგენოგრამები წარმოდგენილია პირველ სურათზე. როგორც წარმოდგენილი რენტგენოგრამებიდან ჩანს, კაოლინის (სურ. 1) ძირითადი ფაზა მულიტი:  $d_{hkl}$  – 5,37; 3,41; 3,385; 2,886; 2,695; 2,547; 2,43; 2,29; 2,175; 1,866 Å; შეიცავს კრისტობალიტს  $d_{hkl}$  – 4,06 Å და რენტგენომორფულ ფაზას.



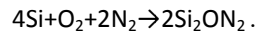
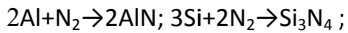
სურ. 1. საცდელი ნიმუშების  
რენტგენოგრამები  
1) კაოლინი; 2)  $C_1$ ; 3)  $C_2$ ; 4)  $C_3$

$C_1$  ნიმუშის რენტგენოგრამაზე (სურ. 1.2) მულიტის დამახასიათებელი დიფრაქციული მაქსიმუმები კაოლინთან შედარებით მაღალი ინტენსიურობისაა  $d_{hkl}$  – 5,38; 3,41-3,335; 2,908; 2,635; 2,546; 2,435; 2,29; 2,210 Å; კრისტობალიტს შეიცავს უფრო მცირე რაოდენობით. ნახშირბადი ადვი-

ლად აღადგენს კაოლინის დაშლის შედეგად წარმოქმნილ  $\text{SiO}_2$ -ს ელემენტარულ სილიციუმამდე შემდეგი რეაქციით:



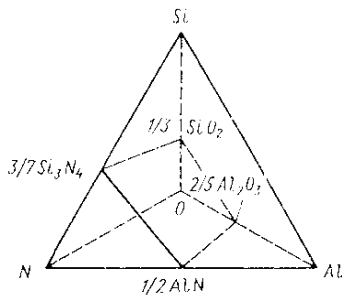
ამ ნარევში კარბოთერმული აზოტირების შედეგად მიღებული ელემენტარული სილიციუმით შესაძლებელია, ნიტრირების გზით ალუმინის ნიტრიდის, სილიციუმის ნიტრიდის ან ოქსინიტრიდის მიღება შემდეგი რეაქციებით:



მაგრამ რენტგენოგრამაზე მათი დამახასიათებელი დიფრაქციული მაქსიმუმები არ შეინიშნება. რენტგენოგრამაზე გამოსახულია მულიტის მნიშვნელოვნად გაზრდილი პიკები. რას შეიძლებოდა გამომწვარი, კაოლინთან შედარებით, მულიტის გაზრდა და რატომ არ ჩანს რენტგენოგრამაზე ალუმინის ნიტრიდი, სილიციუმის ნიტრიდი ან ოქსინიტრიდი?

როგორც ზემოთ აღნიშნეთ, კარბოთერმული აზოტირების შედეგად წარმოქმნა მულიტი, კაჟმიწა და თავისუფალი სილიციუმი, რომელიც აზოტის გარემოში სავარაუდოდ, აზოტთან ქიმიური რეაქციის შედეგად წარმოქმნიდა სილიციუმის ნიტრიდს ან ოქსინიტრიდს. კაოლინის დაშლის შედეგად ნარევში  $\text{Al}_2\text{O}_3$  იქნებოდა.

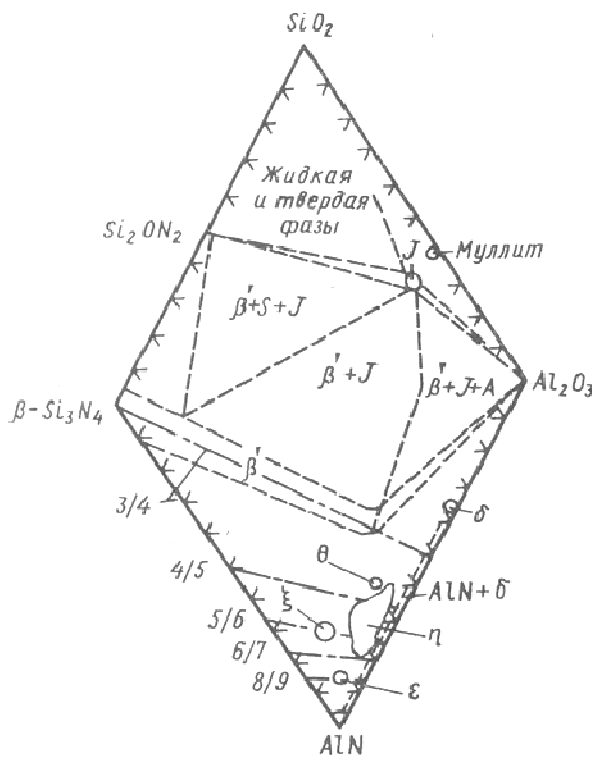
ჩვენი აზრით, სწორედ ამ კომპონენტების კომბინაციით მიიღება სიაღონები. როგორც ზემოთ იყო აღნიშნული, სისტემა  $\text{Si}-\text{Al}-\text{O}$  შეიძლება წარმოვიდგინოთ ოთხკომპონენტიანი, სქემატურად გამოსახული, ტეტრაედრის სახით (სურ. 2).



სურ. 2.  $\text{Si}-\text{Al}-\text{O}$  სისტემაში შემადგენლი კომპონენტების განაწილების სქემა

ორმაგი ნაერთები მოთავსებულია ტეტრაედრის წიბოებზე. ამ დროს სისტემის ოთხი ელემენტისაგან შედებილი ყველა შესაძლებელი კომბინაცია განლაგებულია  $\text{Si}_3\text{N}_4-\text{SiO}_2-\text{Al}_2\text{O}_3-\text{AlN}$  სიბრტყეში, რომელიც შეიძლება გაიყოს ორი ტოლგერდა საბუთხედის სახით, რომლებიც წარმოადგენს  $\text{Si}_3\text{N}_4-\text{Al}_2\text{O}_3-\text{SiO}_2$  და  $\text{Si}_3\text{N}_4-\text{Al}_2\text{O}_3-\text{AlN}$  სამშაგ სისტემებს.

ფაზური დიაგრამა, რომელთა ფაზები განიხილება, როგორც სიაღონები, მოცემულია მე-3 სურათზე.



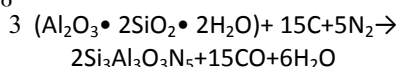
სურ. 3.  $\text{Si}_3\text{N}_4$ - $\text{AlN}$ - $\text{Al}_2\text{O}_3$ - $\text{SiO}_2$  სისტემის  
ფაზური დიაგრამა

არსებობს სიალონების რამდენიმე ტიპი:  $\alpha$ ;  $\beta$ ;  $\text{O}^1$ ;  $\text{H}$ ;  $\text{R}$ .

სხვადასხვა ტიპის სიალონების მიღების მეთოდები განსხვავდება საწყისი ნედლეულით და პროცესის განხორციელების პირობებით (ტემპერატურა, დრო, წნევა, ატმოსფეროს შედეგის დანართი).

სიალონების კრისტალური სტრუქტურა მსგავსია იმ ნაერთის სტრუქტურისა, რომელთანაც ახლოსაა მისი წარმოქმნის არე. კერძოდ, იმის გამო, რომ სიალონები  $\text{Al}_2\text{O}_3$ ,  $\text{Si}_3\text{N}_4$ ,  $\text{AlN}$ ,  $\text{SiO}_2$  (ან  $\text{SiAlON}$ ) კომპონენტების ურთიერთხესნაღობის საქმაოდ ფართო არით მიღებული ხსნარებია, ამიტომ კაზმში შემავალი კომპონენტების თანაფარდობა შეიძლება მნიშვნელოვნებით იყოს გადახრილი ამ რეაქციით გამოთვლილი პროდუქტების შედგენილობისა და შემცველობისაგან.

კაოლინის არსებობისას  $\beta$  სიალონის მიღების განზოგადებული ქიმიური რეაქცია შეიძლება ასე ჩაიწეროს:



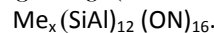
$\beta$  სიალონის ზოგადი ფორმულა:

$$\text{Si}_{6-x}\text{Al}_x\text{O}_x\text{N}_{8-x}$$

(სადაც  $x = 0 \div 4,2$ ).

იგი განიხილება, როგორც  $\text{Si}_3\text{N}_4$ -ის მყარი ხსნარი ალუმინის ნიტრიდისა და ოქსიდის მყარ ხსნარში.

ა სიალონის ფორმულა:

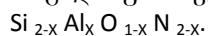


მისი სტრუქტურა  $\alpha$ - $\text{Si}_3\text{N}_4$ -ის მსგავსია.

$X$  სიალონის ზოგადი ფორმულა:  $\text{Si}_{1-x}\text{Al}_{1-x}\text{O}_{\text{X}}\text{N}_{1-x}$  ( $x = 0,004 \div 0,2$ ).

$X$  სიალონის აქვს მულტიფრაზურა.

$\text{O}^1$  სიალონის ზოგადი ფორმულა:



$\text{O}^1$  სიალონის სილიციუმის ოქსინიტიდის სტრუქტურა აქვს.

$H$  და  $R$  - სიალონები ალუმინის ნიტრიდის სტრუქტურით.

რენტგენოგრამაზე გამოსახული მნიშვნელოვნად გაზრდილი მულტიფრაზურა პიკი იმის მიმანიშნებელია, რომ წარმოქმნა  $X$  სიალონი  $\text{SiAlON}$  მულიტის სტრუქტურით.

$C_2$  ნიმუშის რენტგენოგრამაზე (სურ. 13) კაოლინთან შედარებით მულიტის უფრო გაზრდილი პიკია, მისი დამახასიათებელი  $d_{\text{hkl}}$   $-5,37; 3,41; 3,385; 2,886; 2,695; 2,546; 2,285; 2,208 \text{ \AA}$ .

ნარევი კაოლინ-ალუმინისა (ცხრ. 1). მოსალოდნები იყო  $\text{SiO}_2$ -ის აღდგენა ალუმინით და შემდეგ ალუმინის ან სილიციუმის ნიტრიდების წარმოქმნა. აშკარად შეინიშნება მულიტის უფრო მაღალი ინტენსიურობა კაოლინთან შედარებით. რენტგენოგრამაზე არის  $\alpha\text{-Al}_2\text{O}_3$ -ის დამახასიათებელი დიფრაქციული მაქსიმუმებიც:

$$d_{\text{hkl}} = 3,41; 2,546; 2,376; 2,09 \text{ \AA}$$

$C_3$  ნიმუშების რენტგენოგრამაზე (სურ. 14), სადაც კაოლინთან ნახშირბადისა და ალუმინის პუდრის ერთნაირი თანაფარდობაა აღებული, იგივე მულიტის დამახასიათებელი პიკები უფრო მაღალი ინტენსიურობითაა, ვიდრე კაოლინში და ნაკლები  $C_1$ -თან შედარებით.

## ცხრილი 2 სიალონური ფაზების სახელწოდება და სტრუქტურა

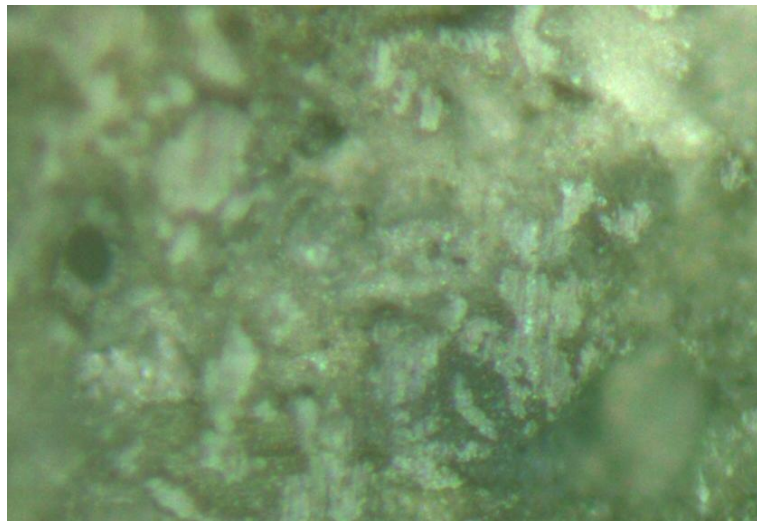
სახელწოდება	სიალონის ქიმიური ფორმულა	სიალონის სტრუქტურის ტიპი
$\alpha$	$\text{Me}_x(\text{SiAl})_{12}(\text{ON})_{16}$ $X=0 \div 2$	$\alpha$ - $\text{Si}_3\text{N}_4$
$\beta$	$\text{Si}_{6-x}\text{Al}_x\text{O}_x\text{N}_{8-x}$ $X=0 \div 4,2$	$\beta$ - $\text{Si}_3\text{N}_4$
$\text{O}^1$	$\text{Si}_{2-x}\text{Al}_x\text{O}_{1+x}\text{N}_{2-x}$ $X=0,04 \div 0,4$	$\text{Si}_2\text{ON}_2$
$X$	$\text{Si}_{2-x}\text{Al}_{1-x}\text{O}_x\text{N}_{1-x}$ $X=0,04 \div 0,2$	$3\text{Al}_2\text{O}_3 \bullet 2\text{SiO}_2$
$H$	$\text{SiAl}_3\text{O}_2\text{N}_3$ $\text{SiAl}_5\text{O}_2\text{N}_5$	$\text{AlN}$
$R$	$\text{SiAl}_4\text{O}_2\text{N}_4$ $\text{SiAl}_6\text{O}_2\text{N}_6$	$\text{AlN}$

ჩატარებული ექსპერიმენტის შედეგების ანალიზით ჩანს, რომ  $C_1$ ,  $C_2$ ,  $C_3$  შედგენილობის ნარევების აზოგის გარემოში  $1400^{\circ}\text{C}$ -ზე გამოწ-

ვისას მიიღება X სიალონი, მულიტის სტრუქტურით.



**C2x250**



**C2x250**

ჩატარდა  $1400^{\circ}\text{C}$ -ზე გამომწვარი კაოლინისა და აზოგის გარემოში იმავე ტემპერატურაზე გამომწვარი კაოლინ-ალუმინის პუდრის ნარევის მიკროსკოპული კვლევა (ნიმუში  $C_2$ ).

როგორც მე-2 სურათიდან ჩანს, კაოლინის ძირითადი მასა გამჭირვალეა და მასში მნიშვნელოვანი რაოდენობით არის მინისებრი მასის უბნები, რომელშიც გადახლართულია დაკრისტალებული ნემსისებრი მულიტი. კვარცი დაფარულია წვრილი ბზარებით.

აზოგის გარემოში  $1400^{\circ}\text{C}$ -ზე გამომწვარი კაოლინ-ალუმინის პუდრის ნარევის მიკროსკოპული სურათი (2d) განსხვავებულია იმით, რომ

მასში შეიმჩნევა მინისებრი მასა უმნიშვნელო რაოდენობით, იგი გადაჯერებულია მულიტის ნემსისებრი კრისტალებით, რომელიც მსხვილი გროვის სახითაა. კრისტობალიტის კრისტალები არ შეინიშნება. ეს ყველაფერი რენტგენოსტრუქტურული ანალიზის მონაცემებს ადასტურებს.

### 3. დასკვნა

ამრიგად, შესაძლებელია კარბო- და ალუმინითერმული მეთოდით კაოლინ-ნახშირბადისა და კაოლინ-ალუმინის პუდრის ნარევისაგან დამზადებული ნიმუშების აზოგის გარემოში  $1400^{\circ}\text{C}$ -ზე გამოწვისას X სიალონის მიღება.

## **ლიტერატურა**

1. Cauckler L.J., Lukas H.L., Petrow G.- J. Amer.Ceram. Soc., 1975/ v.58, N 7-8, p. 346-347.
2. Oyama J., Kamigaito O.- Jogyo Kuokai Shi, 1972, v., p. 327-336.
3. Jack K. H.-J. Mater. Sci., 1976, v.11, N6, p. 1135-1158.
4. Land P.L., Wimmer J.M., Burns R.W. a.o. -J. Amer. Ceram. Soc., 1978, v.61, N 1-2, p. 56-60.
5. Cauckler L.J., Lukas H.L., Petrow G.- J. Amer. Ceram. Soc., 1975/ v.58, N 7-8, p. 346-347.
6. Oyama J., Kamigaito O.- Jogyo Kuokai Shi, 1972, v., p. 327-336.
7. Питак Н.В., Федорук Р.М., Дегтярева Л.М. Карбидкремниевые изделия для защиты кокса воздушных форм доменных печей // Огнеупоры, М., 1993, № 11, с. 25-28.
8. Kilian M., Friendrich Produktionsverfahren Anwendungs-eigenschaften und Einsatzmo glichkeiten von Nitridkeramik insbesondere von Siliciumnitrid. Vortrags-vero ff. Haus Techn., Essen, 1987, № 519, p. 19-21.
9. Wang L., He C., Wu J., Oxidation of sintered siliconnitrid materials. Ceram. Mater and Comp. Engiens. Proc. Jnt.Simp. Las Vegas. N27-30, 1988, Westerville (Ohio) 1989, p. 604-611.
10. Белий Я.И., Комда В.В., Сивистун В.М., Положай С.Г. К вопросу получения композиционных материалов на основе нитрида кремния // Моск.межд. конф. по композитам, ноябрь, Тезисы докладов, ч. 2, М., 1990, с. 174.
11. Гузман И.Я., Тумакова Е.И. Об образовании связки в процессе обжига огнеупоров на основе карбида кремния // Огнеупоры 1965, № 5, с. 31-35 .
12. Воронин Н.И., Красоткина Н.И., Фрайфельд М.С. Обжиг карбидкремниевых огнеупоров в среде азота // Огнеупоры, 1967, 12, с. 41-47.
13. Гузман И.Я. Фрайфельд М.С., Карклит А.К. Значения технологических факторов при производстве и службы изделий из карбида кремния // Огнеупоры, 1975, № 7, с. 23-29.
14. Воронин Н.И., Красоткина Н.И., Смирнова В.А. Карборундовые огнеупоры на нитридной связке // Огнеупоры, М., 1960, № 7, с. 329-334.
15. Чухолина Л.Н. Способ получения порошка сиалона. <http://bd.patent.su/2378000>, 2012.11.18.
16. Боярина И.Л. Пучков А.Б. и др. Сиалоны-новый огнеупорный материал // Огнеупоры, 1981, N12, с. 24.

---

**УДК 666.762.93**

## **THE CURRENT CARBO AND ALUMOTHERMAL PROCESSES ON THE BASE OF GEOPOLYMER IN NITROGEN ENVIRONMENT**

**Z. Kovziridze, N. Nijaradze, N. Darakhvelidze, G. Tabatadze, Z. Mestvirishvili**

**Resume:** We have studied possibilities of the receiving of cialon by carbo- and alumothermal method on the base of geopolymmer (caolyne) and processes taking place in mixtures in nitrogen environment at 1400<sup>0</sup>C.

The study was conducted by methods of optical and X-ray analysis.

**Key words:** cialon; aluminum powder; carbon; geopolymers; mullite.

---

**УДК 666.762.93**

## **КАРБО- И АЛЮМОТЕРМИЧНЫЕ ПРОЦЕССЫ, ПРОИСХОДЯЩИЕ В СРЕДЕ АЗОТА НА ОСНОВЕ ГЕОПОЛИМЕРОВ**

**Ковзиридзе З.Д., Нижарадзе Н.С., Дарахвелидзе Н.И., Табатадзе Г.С., Мествиришвили З.З.**

**Резюме:** На базе геополимеров (каолина) карбо- и алюминотермическим методами изучены возможность получения сиалонов и процессы нагрева смеси, протекающего в среде азота при 1400<sup>0</sup>C. Исследование проводилось методами оптического и рентгеноструктурного анализа.

**Ключевые слова:** сиалоны; алюминиевая пудра; углерод; геополимер; муллит.

**უაპ 666.95**

## **ქართული მინანქარი – აფეთქებული**

**გ. გაფრინდაშვილი, ს. სანაძე, მ. კეკელიძე\***

ქიმიური და ბიოლოგიური ტექნილოგიების დეპარტამენტი, საქართველოს ტექნიკური უნივერსიტეტი,  
საქართველო, 0175, თბილისი, კოსტავას 69

E-mail: kekemana@rambler.ru

**რეზიუმე:** განხილულია საქართველოში მხატვრული მინანქრების და ფერწერული პიგმენტების დღვევანდები და მდგრმარეობა. განხრაცელია ალავერდის ეპარქიაში აღნიშნული მასალების წარმოება, ასევე დვინის ქვევრების, ძღლის ფაფურის, ვიტრაჟული მინების გამოშვება.

**საკვანძო სიტყვები:** მინანქარი; პიგმენტი; ძვირფასი ლითონები და ბუნებრივი მინერალები (ოვალი პატიოსანი); ტიხორული ტექნიკა; აღდგენითი ცეცხლი; ფერების პალიტრა; ოპალესცენცია; ლუმინესცენცია; სადაფი; ქრომატული ფერები.

### **1. შესავალი**

„სტულპტურის უპირატესობა ესაა მდგრადობა დროში. მაგრამ, თუ ფერწერა შესრულდება მინანქრის სადგანებით და შემდეგ ცეცხლში გამოიწვება, მაშინ იგი ხანგრძლივობით აღემატება სკულპტურასაც. თუ ბრინჯაოს სტულპტურა ხანგამდება, ფერწერული მინანქარი სამუდამოა“ – ლეონარდო და ვინჩის „შედარებითი ხელოვნება“.

მართლაც, მინანქარი ხელოვნების საქარალური სახეა. როცა 5000 წლის წინ ძველი ეგვიპტის მხატვრებმა გამოიგონეს მინანქარი, ისინი ცდოლობდნენ შეექმნათ ბუნებრივი ქვირფასი ქვების (ლაზურიტი, ძოწი, ფირუზი, ზურმუხტი, ოპალი, ლალი და სხვა) ანალოგი – მოელვარე, კრიალა, შუქმოციმიქ და „უოვალავი ფერებით“ (შ. რუსთაველი) შექმობილი. ჯერ კიდევ ანტიკური ხანის ადამიანი იყენებდა მათ არა მარტო საიუველირო და გლიატიტური ნაკეთობების დასამზადებლად, არამედ ტემპერულ სადებავებშიც, რომლის გამოყენების ისტორია 3500 წელზე მეტს ითვლის. დღესაც განციფრებას იწვევს ძველი ეგვიპტელების, ასირიელების, ბერძნების და სხვა ხალხების მიერ დამუშავებული კაშაშა და მდგრადი მინერალური საღებავები. მაგალითად, ცხობილი წარწერები ეგვიპტელი ფარაონების სარკმლაგებზე შესრულებულია ბუნებრივი მინერალებისგან დამზადებული ტემპერული სადებავებით.

პირველად სად და როდის მოხდა მომინანქრება ანუ ფერადი მინის გამდნარ მდგრმარეობაში ლითონთან დაკავშირება, დღემდე უცნობია. ისტორიკოსები ბერძნების და რომაელების

სამქაულების აღწერისას მიუთითებენ მინანქრების გამოყენების შესახებ. მაგალითად, მიკენაში (საბერძნეთი) აღმოჩენილი იყო ლითონის ნაკეთობები, რომლებზეც მირჩილულია ლურჯად შედებილი მინის ფირფიტები. მათი დასკვნით, ნაწარმის ასაკი 1425 და 1300 წლებიდან მოდის (ჩვენს ერამდე). ანალოგიური შედეგებია მიღებული აგრეთვე კუნძულ კიპრზე ჩატარებული არქეოლოგიური გათხრების შედეგად, დაახლოებით 1200 წ. ჩვენს ერამდე [1, 2].

VI ს. (ჩვენს ერამდე) პირველ ნახევარში ბერძნული მოსართავი ნივთები დაფარული იყო თეთრი, მუქი ლურჯი, მუქი მწვანე და მკრთალი ფირფიტისებრი ფილიგრანული მინანქრებით.

ტიხორული მომინანქრების პირველი ნიმუშები ჩნდება დაახლოებით 2000 წ. ჩვენს ერამდე, როცა მასიურ ხასიათს იღებს ძვირფას ლითონებზი ფერადი ქვების ხასიათის ტექნიკა ეგვიპტესა და საბერძნეთში. სწორედ ამ ტექნიკის გამოყენებას ჰქონდა უდიდესი მნიშვნელობა საიუველირო საქმიანობის შემდგრმი განვითარებისათვის, ვინაიდან მომზადდა ძვირფასი ლითონების გამდიდრების საფუძველი ფერადი მოსაკაზმი მასალებით; ლითონებზე არსებული უჯრები იყო საფეხური, როგორც ბუდე, უფრო გვიანი ტიხორული და ჭრილური მომინანქრების ტექნიკისათვის.

### **2. ძირითადი ნაწილი**

ძვირფასი ლითონების მომინანქრებულ ნაკეთობებს თვალსაჩინო ადგილი უჭირავს შუა საუცნებების ქართულ ხელოვნებაში, ოქროს ფუძეზე დამზადებული მომინანქრების ხელოვნებას სავსებით მართებულად მიიჩნევენ ძველი ქართული დეკორატიული ხელოვნების მწვერვალად. დადგენილია, რომ საქართველოსა და ბიზანტიაში მხატვარი შემსრულებლები იყენებდნენ ტიხორული მომინანქრების ყველაზე რთულ და დახვეწილ ტექნილოგიებს.

ქართული მომინანქრების ნიმუშებს როგორც რაოდგრძნებრივი თვალსაზრისით, ასევე მხატვრულ-ესთეტიკური ღირებულებებით, მსოფლიოში ერთ-ერთი პირველი ადგილოთაგანი უჭირავს. მაგრამ, ბედის უკუდმართობის გამო, მრავალი უნიკალური განძი განადგურებულია ხშირი ომებისა და შემოსევების შედეგად, ასევე გატაცებული და მიმობნეულია მსოფლიოს სხვადასხვა ქვების მუზეუმებსა და კერძო პირთა კო-

ლექციებში. საფურადღებოა აკად. შ. ამირანაშვილის [3] მოსახრება იმის შესახებ, რომ ანტიკურ ხანაში ოქროს საიუველირო ნაკეთობათა პოლიქრომაში ფერადი მინა ცვლის ძვირფას და ნახევრად ძვირფას ქვებსა და პასტას, „რომ უკვე ჩვწელთადრიცხვის II საუკუნეში ჩნდება პირველი ტიხორული მომინანქრების ნიმუშები”.

რაც შეეხება საქვეუნდ ცონბილ ხახულის კარედს, რომელიც გვანცვიფრებს თავისი გრანდიოზულობით (100-ზე მეტი ფირფიტა, VIII საუკუნიდან მოყოლებული XII საუკუნის ჩათვლით) იგი ტიხორული მომინანქრების მთელი „მუზეუმია” [4].

ქრონიკი ტიხორული მინანქარი უმაღლესი სინჯის ოქროზე კეთდებოდა, ასევე ტიხორებიც ოქროსგან მზადდებოდა, იუქნებდნენ აგრეთვე ოქროსა და ვერცხლის შენადნობებს – ელექტრუმს.

არა საჭირო დიდი ცოდნა და გამოცდილება იმისათვის, რომ მინანქარი მოვათავსოთ ლითონის (ოქრო, ვერცხლი, სპილენძი) ფირფიტაზე განლაგებულ მცირე ზომის უჯრედებში. მაგრამ მომინანქრების ტექნიკა როგორც ფიზიკურ და ქიმიურ პროცესებთანაა დაკავშირებული. მინანქრის შედგინილობა, მომზადების ხერხები, ლითონზე გადატანის მეთოდები, მინანქარსა და ლითონს შორის კავშირის საკითხები, ტემპერატურისა და აირის გარემოს გავლენა გამოწვის პროცესზე, მინანქრის ელასტიკურობის ხარისხის გავლენა პროდუქტის თვისტებებზე, უამრავი წენის სახეები, რომლებიც შეიძლება წარმოიქმნას მომინანქრების ტექნიკურიაში და მრავალი სხვა დღემდე არაა სრულყოფილად შესწავლილი. ამიტომ, დღეს მხატვრული მომინანქრების ტექნიკა და ტექნიკურია, მიუხედავად მრავალსაუკუნოვანი ისტორიისა, ჯერ კიდევ ემპირიულ საფეხურზეა.

საქართველოში პირველი ტიხორული მინანქრები დათარიღებულია ა.ძ. ა. II-III საუკუნეებით, ადრეული ქრისტიანული ხანის ნიმუშები VII-IX საუკუნეებით. მინანქრების უმეტესი ნაწილი კი XI-XII საუკუნეებისაა. სამწუხაროდ, მომდევნო საუკუნეებში შეიმჩნევა ტიხორული მინანქრის ტექნიკური და მხატვრული ღონის მკვეთრი დაქვეითება, რაც გაუთავებელმა შემოსევებმა და ქვემის ეკონომიკურად განადგურებამ გამოიწვია. XIII-XV საუკუნეებში მცირე რაოდენობით დამზადებული მინანქრები ვერ შეედრება ადრეულ ხანებში შესრულებულ ძეგლებს, ხოლო მომდევნო საუკუნეებში მინანქრის დამზადება შეწყდა. მხოლოდ XVII-XVIII ს. მინანქრის წარმოება ჩვენში კვლავ განახლდა, შეიცვალა მინანქრის და მომინანქრების დამზადების ტექნიკურობია. ტიხორული მინანქრის სინთეზის საიდუმლოება უკვე დაკარგული იყო.

ყველაზე პრობლემურ და მტკიცნეულ საკითხად ჩვენს ქვეყნაში დღეს მიგაჩნია მხატვრული

მინანქრების ადგილობრივი წარმოების არარსებობა, მიმდინარეობს არაორგანიზებული იმპორტი საფრანგეთიდან, ავსტრიიდან, აშშ-დან, იაპონიიდან და სხვა ქვეყნებიდან. თუმცა იყო და არის მცდელობები მხატვრული მინანქრების მიღებისა, მაგრამ ისინი ხარისხით ჩამოუვარდება აღნიშნული ქვეყნებიდან შემოტანილ მინანქრებს, მათი გამოყენება შეიძლება ფართო მოხმარების და ტექნიკური დანიშნულების ნაწარმის მომინანქრებისათვის და არა ძვირფასი ლითონების დასავარავებად.

ჯერ კიდევ გასული საუკუნის 70-იან წლებში ჩვენს მიერ, პროფ. კალისტრატე ქუთათელაძის ხელმძღვანელობით, თბილისის ქარხანა „გაზოაპარატში”, ადგილობრივი ნედლეულების გამოყენებით, დანერგილი იყო ტექნიკური ფერადი მინანქრები გაზქურებისა და საოჯახო დანიშნულების ჭურჭლის დასაფარავებად [5].

მაღალი ხარისხის მხატვრული მინანქრების მირითადი კომპონენტებია პიგმენტი ანუ ქრომოფორი – ფერის მატარებელი ქიმიური ნაერთი და ფლუსი ანუ ადვილად ლდობადი მინა.

ჩვენი ყურადღება მიიქცია სულხან-საბას ლექსიკონში მოყვანილმა განმარტებამ: „სინგორი და სინგური წითელი სახატავია, ვერცხლის წყალთა და გოგირდთა ცეცხლში გამოადნობენ”, ხოლო გ. ჩუბინაშვილი წერს: „სინგური – ვერცხლისწეალი და გოგირდი, ცეცხლით შეზავებული და გაწითლებული, იხმარების სამხატვრო წამლად, კინოვარი”. აღნიშნულმა განმარტებამ სტიმული მოგვცა შეგვექმნა პიგმენტების სინთეზის სრულიად ახალი მიმართულება, რაც ემყარება არა უშუალოდ ფერის მატარებელი ოქსიდების გამოყენებას მინანქარში, არამედ იმას, რომ პერიოდული სისტემის გარდამავალი ელემენტების სპეციალური თერმული დამუშავებით მიგვედო სხვადასხვა ფერისა და ელფერის პიგმენტი, რომლებიც გამოიჩინება მტკიცე სტრუქტურის კრისტალური მესრით, ხასიათდება მაღალი ქიმიური და ტემპერატურის მიმართ მდგრადობით (ლდობის ტემპერატურამდე არ იშლება) და აქვს შექტების მაღალი კოეფიციენტი; ასეთი მინერალებია – შპინელი, ძოწი, კორუნდი, ვილფიტი, სფენი და სხვა.

აღნიშნული მინერალების გისოსში პერიოდული სისტემის გარდამავალი ელემენტების შეფვანით ისინი იღებენ დამახასიათებელ შეფერილობას. ფერის მატარებელი ელემენტების კავშირი აქვებოროგებთან მაღალ ტემპერატურაზე ხორციელდება მყარ ფაზათა რეაქციებით, რომელსაც ხელს უწყობს სპეციალური მინერალიზატორები, სინთეზის ტემპერატურის მნიშვნელოვანი შემცირების მიზნით.

პიგმენტების ამგვარი გზით სინთეზი საშუალებას გვაძლევს ხელოვნურად მივიღოთ და აღ-

ვადგინოთ ბუნებრივი სტრუქტურის მტკიცედ შეღებილი ქრომოფორები და ამავე დროს სტრუქტურაში შევიყვანოთ ისეთი გარდამავალი ელემენტები, რომლებიც ბუნებრივ მინერალებში არ შედის, რაც საბოლოოდ საშუალებას მოგვცემს გავზარდოთ საღებავების ფერების პალიტრა.

სინთეზირებული პიგმენტები დაედო საფუძვლად ახალი კლასის მხატვრული მინანქრების სინთეზს, რომლებიც შეიძლება გამოვიყენოთ ძვირფასი და ფერადი ლითონებისაგან დამზადებული საექლესიო და საერო ნაკეთობების დასაფარავად.

აღსანიშნავია, რომ ახალი კლასის პიგმენტები წარმატებით გამოიყენება აგრეთვე, როგორც მინერალური საღებავები ტემპერულ და ზეთის ფერწერაში.

დღემდე ცნობილი ხუთი კატეგორიის (მცენარეული, ცხოველური, მინერალური, მცენარეულ-მინერალური, ნახშირის) ფერწერული საღებავებიდან დიდი უპირატესობა ენიჭება მხოლოდ ბუნებრივ მინერალურ საღებავებს, ვინაიდან ისინი ხასიათდება მდგრადობით სინათლის, ტემპერატურისა და ქიმიური აგენტების მიმართ. მინერალურ საღებავებს თავიანთ შემოქმედებაში იყენებდნენ აღორძინების ეპოქის გენიალური მხატვრები: ლეონარდო და ვინჩი, მიქელანჯელო, ტიციანი, რაფაელი და სხვები. მაგრამ ბუნებრივ მინერალურ საღებავებს ერთი ნაკლი აქვს – არ გააჩნია ერთგვაროვანი ტონი, ფხვნილისებრ მდგრმარეობაში გადაფანილი და გულმომლინერ გარეცხილიც კი საკმაო რაოდენობით შეიცავს გამაჭუჭყიანებულ მინარევებს, რომლებიც ამცირებს მათ სიკაშკაშეს. დიდი შრომაა საჭირო, რომ ბუნებრივი მინერალური საღებავები მიყვანილ იქნეს კონდიციამდე (კირქვის მოსაცილებლად ხშირად აუცილებელია მათი მუკლებით დამუშავება).

ქ. ანტვერპენის მუზეუმში, როგორც ქვირფასი რელიეფია, ინახება რუბენსის საგზაო ხემოდანი, რომელშიც არის დიდი მხატვრის მიერ შეგროვებული სხვადასხვა სახის ბუნებრივი საღებავები. აღსანიშნავია, რომ მინერალურ საღებავებს დღემდე შენარჩუნებული აქვს პირვანდები სახე, ხოლო ორგანული წარმოშობის საგრძნობლად გაუფერულდა.

ასეთი შედარება არ ეხება ჩვენი მეთოდით სინთეზირებულ პიგმენტებს, ვინაიდან გეოლოგიური პროცესების ევოლუცია, რომელიც გაიარა დაზურიტმა, ოქრამ, გლაუკონიტმა, უმბრამ, აზურიტმა, აურიპიგმენტმა და სხვა მინერალებმა ულკანური მოქმედებიდან დღემდე, ანალოგიურია და შესაბამისობაში მოდის მტკიცე სტრუქტურის ქვინების პიგმენტების სინთეზთან, ვინაიდან შემოთავაზებული მეთოდი დაკავშირებულია მაღალტემპერატურულ სინთეზთან და არა კოლ-

ბებსა და სინჯარებში ქიმიური რეაქციებით მიღებულ ნაკლებად მდგრად პიგმენტებთან.

გარდა ზემოაღნიშნული სიძელეებისა, რომელიც ახლავს ბუნებრივი მინერალური საღებავების გამოყენებას, მათი მარაგები მსოფლიო მასშტაბით დიდად შემცირებულია, ხოლო ზოგიერთი დღეს აღარც არსებობს.

ძალზე ატენიური ფერწერული პიგმენტის კრისტალურობის საკითხი, ვინაიდან მასზეა დამოკიდებული საღებავის ესთეტიკური მხარე. ჩამოყალიბებული კრისტალური სტრუქტურის პიგმენტი დაწვრილმანებისას იძლევა სხვადასხვა ხარისხის გამჭვირვალე ნამსხვევებს ან უმცირეს კრისტალებს. მათი ზომების, ფორმის, ორიენტაციის, გამჭვირვალობის ხარისხის, ოპტიკური პარამეტრების მიხედვით საღებავები იძენს დამატებით ეფექტებს: სიკრიალეს, ფერთა სხივიდს (ოპალუსცენცა) და სხვა. ფერწერაში მნიშვნელობა ენიჭება შემდებავი აფსკის გამჭვირვალობას. სხვა ხერხებით მიღებული საღებავების დიდი უმრავლესობა ვერ აკმაყოფილებს ამ მოთხოვნებს. კრისტალურ დაწვრილმანებულ მინერალებს შეუძლია ასევე მოგვცეს სხივისათვის გამჭვირვალე შეღებილი ფენა. ამ შემთხვევაში სინათლის სხივი არა მარტო თანამიმღევრობით გადის შეღებილ ფენაში, არამედ მრავალჯერად გადადატყვება უამრავ კრისტალურ ნაწილაკებში და ქმნის სიღრმისებრი გამოსხივების ეფექტს ანუ შიგა ნათებას (ლუმინესცენცა). პიგმენტის კრისტალურობის ხარისხი დიდ გავლენას ახდენს აგრეთვე საღებავის დაფარვის უნარზე. ეს უკანასკნელი დამოკიდებულია არა მარტო საღებავის ფენაში პიგმენტირებული ნივთიერების რაოდენობაზე, არამედ კრისტალების ზომებსა და მათი აგრეგაციის ფორმაზე.

პიგმენტებს მოეთხოვება ქიმიური ნეიტრალურობა მათი ურთიერთშერევის დროს ანუ სხვადასხვა პიგმენტის ნაწილაკები არ უნდა შევიდეს ერთმანეთთან არასასურველ რეაქციაში.

ზემოაღნიშნული მოთხოვნები ფერწერული პიგმენტების მიმართ შესაძლებელია მკაცრად იქნეს დაცული ჩვენ მიერ შემუშავებული ინოვაციის გამოყენებით (დაცულია საქართველოს პატენტით) [6].

დიდი მნიშვნელობა აქვს აგრეთვე გამოყენებული ფლუსის ქიმიურ შეღებილობას, ვინაიდან მინანქრის ფერზე არა მარტო მასში შეკვანილი პიგმენტი, არამედ თვით ფლუსიც შეკვერ გავლენას ახდენს. ამიტომ, მიღებულია სხვადასხვა ჯგუფის ადვილად დღლობადი მინები ადგილობრივი ბუნებრივი ნედლეულების გამოყენებით: ფარავნის პერლიტი, ბაკურიანის ანდეზიტი, გუდაურის კვარცი, ძირულის მინდვრის შპატი და პეგმატიტი, მინის ლეზი, ქისათბის დიაზომიტი, ამაშუკეთის ცარცი და მრავალი სხვა.

დამუშავებულია კერამიკის და მინის მხატვრული ნაწარმის დეკორირების სრულიად ახალი მიმართულება, რომლის არსი მდგომარეობს იმაში, რომ ტიხერული მომინანქრების ტექნიკაში ფუძე მზადდება არა ლითონისაგან, არამედ სპეციალურად დაბალ ტემპერატურაზე შეცხობილი, თერმულად მდგრადი კერამიკული ან მინის მასისაგან, რომლებზეც ტიხერების დამაგრება შესაძლებელია როგორც ალიზის მდგომარეობაში, ასევე თერმული დამუშავების შემდეგ ტიხერული კერამიკის (მინის) სინთეზის ტექნიკა, ტრადიციული ლითონების ტიხერულ მომინანქრებასთან შედარებით, ხასიათდება ტექნოლოგიური პროცესების მნიშვნელოვანი გამარტივებით და ეკონომიკურობით: გამორიცხულია ფუძის წინასწარი მომზადება (გამოწვა, მჟავაში დამუშავება, კრაცირება), არ არის აუცილებელი კონტრმინანქრის გამოყენება, არ საჭიროებს ფუძეზე დამცავი გრუნტის (ფონდონი) დაფენას, არ მოითხოვს მოსამინანქრებელი მასალის ზედაპირის „გაკეთილშობილებას”, არ არის ფუძით მინანქრის შედებვის საშიშროება, გამორიცხულია ფუძეში ნარჩენი დაბაბულობის ძალების არსებობა. კომპოზიცია ლითონი - მინანქრი

ორი ერთმანეთისაგან რადიკალურად განსხვავებული მყარი სხეულია, მინა - მინანქარი, კერამიკა - მინანქარი სტრუქტურულად თითქმის ანალოგიურია, რაც უზრუნველყოფს მტკიცე კაფშირს ფუძესა და მინანქარს შორის (დაცულია საქართველოს პატენტით) [7, 8].

ტიხერული მომინანქრების ტექნოლოგიაში პირველად დამუშავებულია დეკორირების ახალი მეთოდი, რაც გულისხმობს, აღდგენითი ცეცხლის ტექნიკით, სრულიად განსხვავბული ფერის მხატვრული მინანქრების სინთეზის შესაძლებლობას. ღუმელში აღმდგენელი აირების მოქმედებით საეციალური შედგენილობის მინანქრებზე მიიღება მტკიცე სადაფისებრი, ლითონისებრი სიკრიალის ზედაპირი ცისარტყელას ელფერით. მოულოდნელი ქრომატული ფერების პალიტრა შეუძლებელია გამოვხატო ჩვეულებრივი, საერთოდ მიღებული ტერმინებით.

აღდგენითი ცეცხლის მინანქრების ზედაპირი არ მოითხოვს ისეთი შრომატევადი ოპერაციების ჩატარებას, როგორიცაა გახეხვა-გაპრიალება ან დამატებითი თერმული დამუშავება (დაცულია საქართველოს პატენტით) [9].



ალავერდის ეპარქიის მიტროპოლიტი დავითი და პროფესორი გურამ გაფრინდაშვილი

### **3. დასკვნა**

ზემოაღნიშნულ სამუშაოებს გაეცნო და ლოცვა-ქართხევა მოგვცა სრულიად საქართველოს კათოლიკოს-პატრიარქმა, მისმა უწმინდესობაში იღია II. დადებითად შეაფასა საქართველოს ეროვნული მუზეუმის გენერალურმა დირექტორმა, ბატონმა დავით ლორთქიფანიძემ და ამავე მუზეუმის ტექნოლოგმა შუა საუკუნეების მინანქრის დარგში ბატონმა ერმილე მაღრაძემ.

მსოფლიო ბანკის დაფინანსებით ალავერდის ეპარქიის ფარგლებში (ქოვლაგი, შუამთის მიმდებარე ტერიტორია) აშენდება თანამედროვე პერამიკული „სასწავლო საწარმო“, რომელიც გამოუშვებს ლაინის ქვევრებს (შეტანილია იუნესკოს კულტურულ მემკვიდრეობაში), რომლის ტექნოლოგიაშიც პირველად გამოყენებული იქნება წერნაქის ტექნიკა, შიგა ზედაპირზე ფორების რეგულირება, კეცში, სასურველ ფარგლებში გამოწვის პროცესში, მულიტ-ერდილიტის კრისტალების იძულებითი წარმოქმნა, ძვლის ფაიფური, სასულიერო და საერო ფერწერის პიგმენტები (საღებავები), მხატვრული მინანქრები, ახალი კლასის ვიტრაჟულ მინები.

სიმბოლურია, რომ საწარმო შენდება ალავერდის სამონასტრო კომპლექსის ფარგლებში, რომელიც უმნიშვნელოვანესი ქართული მართლმადიდებლური ცენტრია, რომლის წინამდლობრი და მომავალი საწარმოს მშენებლობის სულისხამდგელია ალავერდელი მიტროპოლიტი დავითი.

საწარმოს მშენებლობასთან დაკავშირებული საკითხები განხილულია საქართველოს პრემიერ-

მინისტრ, ბატონი ირაკლი დარიბაშვილთან, რომელმაც მხარი დაუჭირა მომავალი საწარმოს დაუუძნებას და გამოხატვა მთაგრობის სრული მხარდაჭერა საქართველოში თანამედროვე სასულიერო და საერო მასალების მწარმოებელი ქარხნის ასაშენებლად.

### **ლიტერატურა**

1. Braphl E. Kunst-handwerkliches Emailerlen fachbuchverlag, Leipzig, 1983, pp.25-28.
2. Петцольд А., Пешманин Г. Эмаль и эмалирование. М.: Металлургия, 1990, с.8-9.
3. შ. ამირანაშვილი. ხახულის კარედი. თბილისი: ხელოვნება, 1972, გვ. 2-8.
4. ლ. ხესკივაძე. შუა საუკუნეების ტიხრული მინანქარი. თბილისი: ხელოვნება, 1984, გვ. 7-10.
5. ხიზანიშვili ი., გაპრინდაშვili გ., გვერდი გ. ემალი მეტალურგიული მინანქარი. რიგა: სამსახური, 1979, გვ. 451-457.
6. ს. სანაძე, გ. გაფრინდაშვილი, გ. კეკელიძე. ტიხრული კერამიკა (მინა) და მხატვრული მინანქრები მტკიცე სტრუქტურის აქცეპტორ-პიგმენტების საფუძველზე // საქ. კერამიკოსთა ასოციაციის მე-2 საერთაშორისო კონფერენცია, თბილისი, 2009, გვ. 85-92.
7. საქ. პატენტი GE P 2008 4411B.
8. საქ. პატენტი GE P 2013 5751B.
9. საქ. პატენტი GE P 2013 5750B.

**UDC 666.95**

**GEORGIAN ENAMEL – PRESENT AND FUTURE**

**G. Gaprindashvili, S. Sanadze, M. Kekelidze**

**Resume:** The problem of providing Georgia with artistic enamels and pigments for painting is considered. At present in Eparchy of Alaverdi a plant is being constructed for production of these materials in centralized way.

**Key words:** enamel; pigment; precious metals and natural minerals (semi-precious stones); cloisonné technique; reducing fire; color palette; opalescence; luminescence; mother-of-pearl; chromatic colors.

**УДК 666.95**

**ГРУЗИНСКАЯ ЭМАЛЬ – НАСТОЯЩЕЕ И БУДУЩЕЕ**

**Гаприндашвили Г.Г., Санадзе С.Г., Кекелидзе М.К.**

**Резюме:** Рассмотрен вопрос обеспечения Грузии художественными эмалями и пигментами для живописи. В настоящее время в Епархии Алаверди сооружается завод для выпуска централизованным способом этих материалов.

**Ключевые слова:** эмаль; пигмент; дорогие металлы и природные минералы (самоцветы); перегородчатая техника; восстановительный огонь; палитра цветов; опалесценция; люминесценция; перламутр; хроматические цвета.

უაგ 666.946.6

შემპვრელების გავლენის შესწავლა მაღალცეცხლგამძლე დოლომიტ-სერკენტინიტური კლინკერის ზოზიპურ-ტექნიკურ თვისმავაზე

ზ. კოვზირიძე\*, ნ. ნიუარაძე, მ. ბალახაშვილი, მ. მშვილდაძე

ქიმიური და ბიოლოგიური ტექნოლოგიების დეპარტამენტი, საქართველოს ტექნიკური უნივერსიტეტი,  
საქართველო, 0175, თბილისი, კოსტავას 69

E-mail: kowziri @ gtu.ge

**რეზიუმე:** ჩატარებულია კვლევა, შემკვრელების გავლენის შესწავლის მიზნით, მაღალცეცხლგამძლე დოლომიტ-სერკენტინიტური კლინკერის ფიზიკურ-ტექნიკურ თვისებებზე.

გამოყენებულია წყალში სხნადი შემკვრელები: მაგნიუმის სულფატის სხნარი, ტექნიკური ლიგნისულფონატები, მეთილცელულოზას წყალსხნარი, პოლივინილის სპირტი და წყალი. დადგენილია, რომ ყველაზე მაღალი ფიზიკურ-ტექნიკური თვისებებით გამოირჩევა დოლომიტ-სერკენტინიტის ნიმუშები, კლინკერის შემკვრელის სახით, მეთილცელულოზას წყალსხნარის გამოყენებით.

**საკვანძო სიტყვები:** დოლომიტ-სერკენტინიტური კლინკერი; მაღალცეცხლგამძლე; შემკვრელი ნივთიერებები.

## 1. შესავალი

მაგნეზიტური ცეცხლგამძლები ძირითადი სახის მასალებია მაღალტემპერატურული თბური აგრეგატების ამონაგისათვის, კერძოდ, ფოლადსადნობი და ცემენტის გამოსაწვავი მბრუნავი ღუმლების გამოწვის ზონის ამონაგისათვის, რადგან ისინი ხასიათდება კარგი მდგრადობით რეინისა და მისი ოქსიდების მიმართ, აგრეთვე რეინაშემცველი წილებისა და პორტლანდცემენტის კლინკერის აგრესის მიმართ [1, 2]. უგანასკნელ წლებში მრავალი ტექნოლოგია დამუშავდა პერიკლაზნახშირბადოვანი და დოლომიტის ბაზაზე ცეცხლგამძლე მასალების მისაღებად [3,4]. მიღებული მასალების ხარისხი

რამდენიმე ფაქტორი განსაზღვრავს. ერთ-ერთი მთავარია სრულყოფილი სტრუქტურის მასალის მიღება, რომელიც უნდა შენარჩუნდეს მუშაობის მთელ პერიოდში [5]. ასეთი ხარისხის მისაღებად მნიშვნელოვანია ერთგვაროვანი მასის მიღება შემკვრელების დამატებით, რომელიც უსრულებლყოფს ცალკეული ნაწილაკების მჟიდრო კონტაქტს და შემკვრელით ცეცხლგამძლე ფხვნილის მარცვლების დაფარვას. ცნობილია დიდი რაოდენობის შემკვრელები, რომლებიც ერთმანეთისაგან განსხვავდება შედგენილობით და მოქმედებით. მიუხედავად ასეთი განსხვავებისა, კერამიკულ მასაში მათი მთავარი დანიშნულებაა მასას შესძინოს საყალიბო თვისებები ნაკეთობის დამზადებისას და მექანიკური სიმტკიცე შემდგომი ოპერაციებისათვის. შემკვრელ თვისებებს ისინი წყალში გახსნის შემდეგ იღებს. ამრიგად, წყალიც შეიძლება განხილულ იქნეს, როგორც ტექნოლოგიური შემკვრელის კომპონენტი [6].

## 2. ძირითადი ნაწილი

სამუშაოს მიზანია შემკვრელების გავლენის შესწავლა დოლომიტ-სერკენტინიტური მაღალცეცხლგამძლე კლინკერის ფიზიკურ-ტექნიკურ თვისებებზე. კვლევის ჩასატარებლად გამოყენებულ იქნა დოლომიტ-სერკენტინიტური კლინკერი, რომელიც მიღებული იყო მუხრის საბაზოს დოლომიტისა და სახსერის ადგილმდებარეობის სერკენტინიტის ბაზაზე (თანაფარდობა 3:1) [7,8]. 1400°C-ზე გამომწვარი კლინკერის ქიმიური და მინერალოგიური შედგენილობა მოცემულია 1,2 ცხრილებში.

ცხრილი 1

დოლომიტ-სერკენტინიტური კლინკერის ქიმიური შედგენილობა

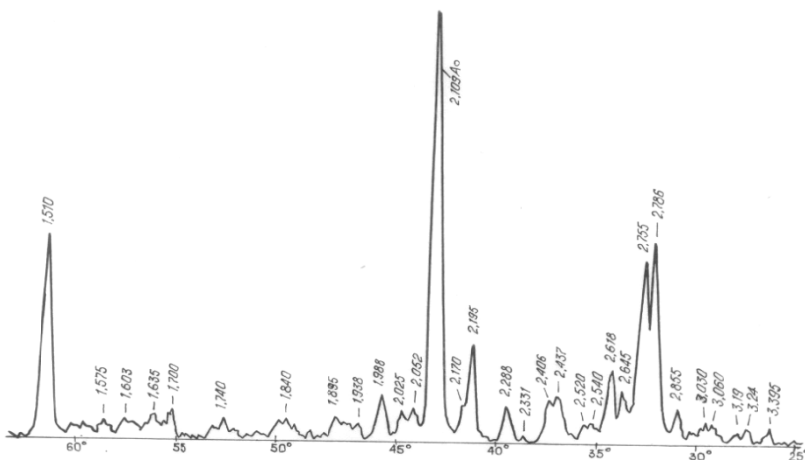
დასახელება	ოქსიდების შემცველობა, მას. %								
	SiO <sub>2</sub>	Al <sub>2</sub> O <sub>3</sub>	MgO	CaO	Fe <sub>2</sub> O <sub>3</sub>	სინესტე	ხ.დ.	%	ჯამი
დოლომიტ-სერკენტინიტის კლინკერი	17,89	1,11	39,16	39,05	2,77	-	-	-	100

ცხრილი 2

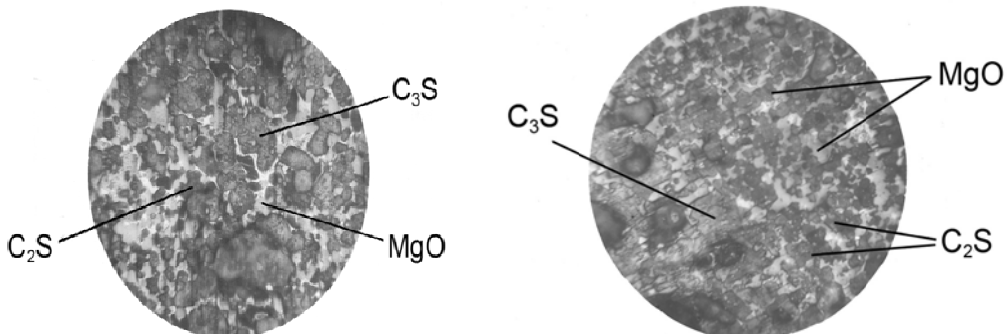
**დოლომიტ-სერპენტინიტური კლინკერის მინერალოგიური შედგენილობა, მას.%**

C <sub>3</sub> S	C <sub>2</sub> S	C <sub>4</sub> AF	C <sub>2</sub> F	MgO
37,97	15,83	5,29	1,75	39,16

როგორც მე-2 ცხრილიდან ჩანს, კლინკერის ძირითადი კომპონენტი პერიკლაზია, ასევე შეიცავს სამ- და ორგალციუმიან სილიკატებს, რაც დასტურდება რენტგენოსტრუქტურული ანალიზით (ნახ.1). მათი არსებობა დასტურდება ჩატარებული პეტროგრაფიული ანალიზითაც (ნახ. 2).



ნახ. 1. დოლომიტ-სერპენტინიტური კლინკერის რენტგენოგრამა



ნახ. 2. 1450°C-ზე მიღებული კლინკერის მიკროსტრუქტურა, ×200

რენტგენოგრამაზე (ნახ. 1) ძირითადი დიფრაქტული მაქსიმუმები შეესაბამება კალციუმის სილიკატებს –  $d_{hkl}$ : 2,786; 2,755; 2,724; 2,618; 2,185 Å და პერიკლაზს  $d_{hkl}$  – 2,435; 2,103, 1,510 Å. შემკვრელების სახით შევარჩიეთ წყალში ხსნადი ნივთიერებები: მაგნიუმის სულფატის 25%-იანი ხსნარი, ტექნიკური ლიგნოსულფონატების წყალს ხსნარი, მეთილცელულოზა და პოლივინილის სპირტი. გარდა ამისა, ექსპერიმენტით მიღებული შედეგების შესაბამებლად შემკვრელი ნივთიერების სახით წყალი გამოვიყენეთ.

ტექნიკური ლიგნოსულფონატები (ЛСТ) ცელულოზა-ქადალდის წარმოების ნარჩენია, ლიგნოსულფონური მჟავების ამონიუმის მარილია. გეხვდება მინერალური ნივთიერებების მინარევით. მოვამზადეთ 1,17გ/სმ<sup>3</sup> სიმკვრივის 1%-იანი წყალსნარი. მეთილცელულოზა (МЦ) თეთრი ფერის ფხვნილია. შეიცავს მეთოქსილურ ჯავშეს, წყალსნად მეთილცელულოზაში 26–33%-ია. წყალში ხსნადობა 98%-ია. მოვამზადეთ 1%-იანი ხსნარი. პოლივინილის სპირტი [-CH<sub>2</sub>-CH-(OH)-] თეთრი ფერის მჟარი პოლიმერია. ერთადერთი

გამსხველი წყალია. ნიმუშების მოსამზადებლად წმინდად დაფქელ კლინიკერის ფხვნილს დაგმატებით წინასწარ მომზადებული შემკვრელების სსნარები 10%-ის ოდენობით და კარგად შევურიეთ. შერევა ტექნოლოგიური პროცესის ერთერთი მნიშვნელოვანი ოპერაცია, რადგან აუცილებელია კომპონენტების თანაბრად განაწილება და ერთგვაროვანი მასის მიღება. მომზადდა შემდეგი ზომის ნიმუშები:  $d=20\text{mm}$ ,  $h=20\text{mm}$  და დაფა-

ლიბდა 80გა წნევით, პაერზე შრებოდა 24 საათის განმავლობაში და შემდეგ თერმოსტატში  $110^{\circ}\text{C}$  ტემპერატურაზე გამოიწვა სილიტის დუმელში  $1400^{\circ}\text{C}$ -ზე,  $50^{\circ}\text{C}/\text{წ}$  რეჟიმით. ბოლო ტემპერატურაზე ერთსაათანი დაყოვნებით განისაზღვრა გამომწვარი ნიმუშების ფიზიკურ-ტექნიკური თვისებები (ცხრილი 3).

### ცხრილი 3

#### დოლომიტ-სერპენტინიტური კლინიკერის ფიზიკურ-ტექნიკური თვისებები

ინდექსი	შემკვრელის სახეობა	დამატებული სსნარის რაოდენობა, მას %	მაჩვენებლები			
			სიმკვრივის ზღვარი გუმშვისას, σ <sub>g</sub> მა	წყალშ-თანოქმა, w %	ფორიანობა, Π%	მოწვენებითი სიმკვრივე, ρ <sub>g</sub> /სმ <sup>3</sup>
C <sub>1</sub>	მაგნიუმის სულფატი	10	269.9	5.86	16.2	2.92
C <sub>2</sub>	ტექნიკური ლიგნიტულფონატი	10	335.9	2.01	9.20	3.25
C <sub>3</sub>	მეთილცელულურზა	10	453.6	1.15	5.03	3.34
C <sub>4</sub>	პოლივინილის სპირტი	10	331.2	2.30	6.78	3.26
C <sub>5</sub>	წყალი	10	192.0	7.80	18.56	2.92
						8.38

როგორც მე-3 ცხრილიდან ჩანს, ყველაზე კარგი ფიზიკურ-ტექნიკური მახასიათებლებით გამოირჩევა ნიმუში C<sub>3</sub>, რომელიც მომზადდა კლინიკერზე შემკვრელის სახით, მეთილცელულურზას წყალსსნარის (10%) დამატებით. სიმტკიცის ზღვარი კუმშვისას (ცხრილი 3) არის 453,6 მას, დია ფორიანობა – 5,03%, ფარდობითი სიმკვრივე – 3,34გ/სმ<sup>3</sup>, მაშინ, როდესაც წყლით დანეხსტილი (10%) იგივე სიდიდეები, შესაბამისად, 192,0 მას; 18,56%; 2,92გ/სმ<sup>3</sup> ტოლია. ჩაჯდომის სიდიდე გამოწვისას C<sub>3</sub> ნიმუშებისათვის 12,34%, წყლით – 8,38%.

შემკვრელების გამოყენებისას ნიმუშების გაუერებით პირველად აორთქლდება მექანიკურად მიერთებული წყალი, შემდეგ ტემპერატურის მატებით გალდვება შემკვრელი, ფხვნილის მარცვლებს ერთმანეთთან შეაწებებს. ამით ნიმუშებს სიმტკიცე ეძლევა. რაც მეტია ეს გავლენა ნიმუშებზე, მით მაღალია მექანიკური მაჩვენებლები და ჩაჯდომის სიდიდე (ცხრილი 3). ნიმუშების სიმტკიცის ზრდა განპირობებულია იმით, რომ მიიღება ნაწილაკების უფრო მკვრივი ჩაწყობა და აგრეთვე იმითაც, რომ მცირდება აირადი ფაზის შემცველობა, რომელიც ნიმუშების დაყალიბებისას სცილდება. ამრიგად, წყალთან შედარებით, შემკვრელის ყველა სახეობის გამოყენებისას გაუმჯობესდა დოლომიტ-სერპენტინიტური კლინიკერის ფიზიკურ-ტექნიკური მავნეებლები შემდეგი თანამიმდევრობით: წყალი, მაგნიუმის სულფატის სსნარი, პოლივინილის

სპირტი, ტექნიკური ლიგნიტულფონატები, მეთილცელულოზას სსნარი.

### 3. დასკვნა

ჩატარებული კვლევის შედეგად დადასტურდა, რომ დოლომიტ-სერპენტინიტური კლინიკერის შემკვრელებად შესაძლებელია ჩვენ მიერ შესწავლილი ყველა შემკვრელის გამოყენება, რადგან მიღებული ცეცხლგამდე მასალის თვისებები აქმაყოფილებს ასეთი სახის ცეცხლგამდე მასალებზე სტანდარტით წაყენებულ მოთხოვნებს, განსაკუთრებით მაღალი მაჩვენებლები მიიღება მეთილცელულოზას დამატებით.

### ლიტერატურა

1. Красс Я.Р., Антонов Г.И. Магнезиальные огнеупоры для сталеплавильного производства. Обзор информации. М., 1986, вып.1.
2. Романовский Л.Б. Магнезиальношпинелидные огнеупоры. М.: Металлургия, 1983, с. 141.
3. Хорошавин Л.Б., Перепешцын В.А., Кононов В.А. Магнезиальные огнеупоры. М.: Интернет Инжиниринг, 2001. - 576с.
4. Кутателадзе К.С., Зедгинидзе Е.Н.. Бзыбский доломит - сырье для производства доломитового кирпича // Сообщения АН ГССР, 1956, т.17, № 2.
5. Хорошавин Л.Б., Перепешцын В.А., Фарафонов Г.Л. и др. // Огнеупоры, 1988, №1, с23-26.
6. Симонов К.В., Загнойко В.В., Бурдина Г.В. и др. Огнеупоры, 1988, №12, с. 27-33

7. ზ. კოვზირიძე, ნ. ნიჟარაძე, მ. ბალახშვილი, გ. მშვილდაძე. დოლომიტისა და სერპენტინიტის ახალი საბაზოების ბაზაზე მაღალცეცხლგამდლე კლინკერის მიღება. საერთაშორისო სამეცნიერო-პრაქტიკული კონფერენციის შრომები. ქუთაისი, 2013, 6-7 ივნისი. გვ. 285-288.
8. ზ. კოვზირიძე, ნ. ნიჟარაძე, მ. ბალახშვილი, გ. მშვილდაძე. საქართველოს დოლომიტები და სერპენტინიტები ცეცხლგამდლე მასალების წარმოებისათვის. საქართველოს კერამიკოსთა ასოციაციის უკრნალი “კერამიკა”, № 2 (30), 2013, გვ. 10-14.

---

**UDC 666.946.6**

**STUDY OF THE INFLUENCE OF BINDERS ON PHYSICAL-TECHNICAL FEATURES OF A HIGHLY REFRACTORY DOLOMITE-SERPENTINE CLINKER**

**Z. Kovziridze, N. Nizharadze, M. Balakhashvili, M. Mshvildadze**

**Resume:** The study was conducted in order to study the influence of binders on physical-technical features of a highly refractory dolomite-serpentine clinker.

There have been used water-soluble binders: magnesium sulphate solution, technical lignosulphonate, methyl cellulose liquor, polyvinyl alcohol and water. It has been stated that samples of dolomite-serpentine clinkers with methyl cellulose liquor as binder have the best physical-technical properties.

**Key words:** dolomite-serpentine clinker; highly refractory; binding substances.

---

**УДК 666.946.6**

**ИЗУЧЕНИЕ ВЛИЯНИЯ СВЯЗУЮЩИХ НА ФИЗИКО-ТЕХНИЧЕСКИЕ СВОЙСТВА**

**ВЫСОКООГНЕУПОРНОГО ДОЛОМИТ – СЕРПЕНТИНИТОВОГО КЛИНКЕРА**

**Ковзирдзе З.Д., Нижарадзе Н.С., Балахшвили М.И., Мшвилладзе М.Дж.**

**Резюме:** Проведены исследования с целью изучения влияния связующих на физико-технические свойства высокоогнеупорного доломит-серпентинитового клинкера. Использованы водорастворимые связующие: раствор сульфата магния, технические лигносульфонаты, водный раствор метилцеллюлозы, поливиниловый спирт и вода. Установлено, что наилучшими физико-техническими свойствами обладают образцы доломито-серпентинитового клинкера с применением в качестве связующего водного раствора метилцеллюлозы.

**Ключевые слова:** доломит-серпентинитовый клинкер; высокоогнеупорный; связующие вещества.

---

**საქართველოს სამშენებლო მასალების ფარმოების  
2010-2013 წლების ეპონომიკური მაჩვენებლები**

**რ. მამალაძე**

**საქართველოს საინჟინრო აკადემიის აკადემიკოსი**

სტატისტიკის ეროვნული სამსახურის მონაცემებით მშენებლობის მაჩვენებელმა 2010 წელს 1100,0 მლნ. ლარი, 2011 წელს – 1407,9 მლნ. ლარი, 2012 წელს – 1756,9 მლნ. ლარი, 2013 წელს – 1557,3 მლნ. ლარი (მშენებლობაში დამატებული ღირებულება მიმდინარე საბაზრო ფასებში) შეადგინა, რაც, წინა წლებთან შედარებით, შესაბამისად, 2010-2012 წლებში 6,5%, 7,1%, 13,6%-ით მეტია, ხოლო 2013 წელს 10,6% შემცირდა.

საქართველოში წარმოებული სამშენებლო მასალების შესახებ 2010–2013 წლებში მოცემულია 1-ლ და მეორე ცხრილებში.

როგორც ცხრილდან ჩანს, 2010–2012 წლებში ცემენტის წარმოება, შესაბამისად, გაზრდილია, ხოლო 2013 წელს, წინა წლებთან შედარებით, შემცირებულია დაახლოებით 60 ათ. ტ. ასევე წინა წლებთან შედარებით საგრძნობლად არის გაზრდილი აგურის წარმოება. 2013 წ. გამოშვებულია (წინა წელთან შედარებით) 4,75 მლნ მეტი პირობითი ცალი კერამიკული აგური. ასევე, გაზრდილია კირისა და გაჯის წარმოება. საგრძნობლად არის გაზრდილი ბუნებრივი ქვების წარმოება.

ქვეყნის სამშენებლო მასალების ექსპორტ-იმპორტის მაჩვენებლები 2012–2013 წლებში მოცემულია მე-3 და მე-4 ცხრილებში.

წინა წლებთან შედარებით, საგრძნობლად არის გაზრდილი ცემენტის ექსპორტი, რომლის ძირითადი მომსმარებელია აზერბაიჯანი. 2012 წ. მასთან ექსპორტმა შეადგინა 453,8 ათ. ტ, ხოლო 2013 წ. – 357 ათ. ტ. ცემენტი. მცირე რაოდენობით მიეწოდა აგრეთვე ყაზახეთს და სომხეთს. ასევე გაზრდილია ცემენტის იმპორტი, რომლის ძირითადი იმპორტიორია თურქეთი და სომხეთი, რომელთან იმპორტმა 2012 წ. შეადგინა 375 ათ. ტ და 135 ათ. ტ, ხოლო 2013 წ. 193 ათ.ტ და 153 ათ.ტ.

ცემენტი ასევე მცირე რაოდენობით შემოდის ირანიდან, აზერბაიჯანიდან, გერმანიიდან, რუსეთიდან და სხვა ქვეყნებიდან.

**ლიტერატურა**

1. საქართველოს სტატისტიკის ეროვნული სამსახური (საქსტი), 2012, 2014.
2. რ. მამალაძე. საქართველოს სამშენებლო მასალების წარმოების 2009 წლის ეპონომიკური მაჩვენებლები. კერამიკა // №1(22), 2010, გვ. 58-64.

ଓଡ଼ିଆ ଲେଖକ ପରିଷଦ 2010-2011 ମୁଦ୍ରଣ

2011	2010	2009					
		ქომის ერთეული	საწარმოთა რაოდენობა	პროცენტის (რაოდენობა)	დოკუმენტის (ათასი ლარი)	საწარმოთა რაოდენობა	პროცენტის (რაოდენობა)
პროდუქტების დასახელება	გვითების	18	31216.8	752.6	25	29984.0	1604.9
(გრანიტი, გაზაფინი და სხვა)	გვ	160	3900514.5	45967.2	229	5728159.4	60954.0
ინტერიერი მასალები	ათასი ცალი	7	64074	1950.9	7	11112.0	3032.5
აბური	გრნა	36	907049.3	126111.8	38	1501972.3	208428.5
ცემენტი	გრნა	8	43039.1	6462.8	5	61731.1	10767.3
გრიზი	გრნა	15	18594.9	1234.0	15	36733.2	2363.6
საშიდლო ბლოკები	გვ	202	166381.1	11641.3	195	216759.7	18207.8
სასაქონლო ბეტონი	გვ	101	496833.0	59516.3	126	1224631.5	152925.9
ასფალტებებინი	გრნა	20	3716353	383182	19	173316.0	25304.1
გუნებრივი ქვის	გვ	107	108703.0	4282.8	70	102526.2	4172.5
მოსაპირებების გილერეა	გონი						
(გრანიტი, გაზაფინი და სხვა)							

**საქართველოი ფარგლებული სამსახურის მასალები 2012–2013 წლები  
საზოგადო დასახლებები**

პროდუქციის ერთეული	უობის ერთეული	2012		2013*	
		პროდუქცია (რაოდენობა)	ღირებულება (ათასი ლარი)	პროდუქცია (რაოდენობა)	ღირებულება (ათასი ლარი)
აგრი	ათასი ტალი	89092	3081.1	13657.0	3679.4
ცემენტი	ტონა	1545545.9	215628.1	1485219.0	192887.9
კაჭი	ტონა	39044.8	6977.2	40151.5	66533.3
ინჟინერული მასალები	გ <sup>3</sup>	8121345.7	94440.9	5295887.6	50429.3
საცემლე ბლოკები	გ <sup>3</sup>	947251.5	31828.6	286072.8	18711.6
ყინაშიცალი ფილტრისა და ფილანების წარმოება	გ <sup>2</sup>	137042.7	1730.9	103282.6	1173.9
ბუნებრივი ქვის მოსაბირკვებული ფილები (ბაზალტი, გრანიტი, ტუფი, მარმარილი და სხვა)	გ <sup>2</sup>	236796.2	12348.9	140270.6	7034.7
ბუნებრივი ქვები (ტუფი, ტექქნიტი, მარმარილო და სხვა)	გ <sup>3</sup>	185049.3	4915.5	735802.0	7592.4
ცემენტის კლინკეტები	ტონა	689746.5	743337.7	665236.9	64562.5

\* წინასწარი მონაცემები

## სამუშაოების გასაღებას ეძღვოთ

გრძი	პროდუქციის დასახელება	2012		2013	
		ათასი აშშ დოლარი	ტონა	ათასი აშშ დოლარი	ტონა
2523	ცემენტი	33,374.5	453,679.3	32,344.5	438,222.2
3925	ჰელასტინის სამშენებლო დაწალები, სხვა ადგილს დაუსახულებელი ან ჩაუზროველი	198.8	57.9	383.0	114.3
6802	ქა დამუშავებელი	67.2	140.2	248.9	318.0
6809	ნაწარმი თაბაშირის ან ბის საფუძვლების დაშნალებული ნარკებისაგან	4,826.3	15,444.5	5,518.0	16,337.4
6810	ნაწარმი ცემენტის ან ხელოვნური ქმნის, დარამატურებული ან დაუსარმატურებული	1,493.3	8,747.1	143.0	806.7
6902	აგური, ბლოკები, ფილები და ანალიზიური ცეცხლგამდლებ კერამიკული სასტენებლო მასალები	-	-	17.0	51.5
6904	აგური სამშენებლო, ბლოკები იატარის და კერამიკის ანალიზური ნაწარმი	35.0	91.6	21.0	113.3
6907	მოსაპირებული ფილები კერამიკული, მოუკიდესრებული	2.8	0.9	117.0	100.2
6908	მოსაპირებული ფილები კერამიკული, მოჭიქურებული	175.7	369.0	215.0	359.4
7016	ბლოკები მოსატრაქულად, ფილები და სხვა ნაწარმი წნევილი ან სამუშაო მინისაგან	-	-	88.3	18.8

**სამუშაოების მასალების იმპორტი**

ბოდი	პრივატურის დასახელება	2012		2013	
		ათასი აშშ	ტონა	ათასი აშშ	ტონა
2523	ცემნტი	40,647.9	523,723.8	39,390.4	509,630.3
3925	კლასტერის საშუალებო დაწყლობი, სხვა აჯგილას დაუსახელებელი	12,407.5	4,000.0	12,077.1	4,741.9
6802	ქა დამუქვეშეტყლი	17,399.7	28,191.2	10,552.0	15,506.0
6809	ნაწარმი თანამშროის ან ბელოზერი ქვისა, დარმატულებული ან დაუსარმატურებული	7,260.3	36,228.9	5,183.6	30,843.3
6810	ნაწარმი ცემენტის ან ხელოვნური ქვისა, დარმატულებული ან დაუსარმატურებული	5,821.9	15,332.6	3,975.9	27,183.4
6811	ნაწარმი აზერბაიჯანტის ან ანალოგური მასალებისაგან	7,797.0	5,866.7	970.0	3,194.2
6901	აგური, ბლოკები, ფილები და სხვა კრიამიტული ნაწარმი გაუმიზოვანი ქვის ფასებისაგან	52.1	253.2	45.6	316.7
6902	აგური, ბლოკები, ფილები და ანალოგური ცეცხლგამტლე კრიამიტული სამშენებლო მასალები	5,809.2	6,136.8	5,394.5	6,454.9
6904	აგური სამშენებლო, ბლოკები იატაგის და კერამიკის ანალოგური ნაწარმი	645.2	3,177.8	655.3	3,342.0
6905	ფილები სასახურავები, დეფლექტორები და სხვა საშენებლო დეტალები კრიამიტული	636.4	2,101.6	108.0	413.1
6907	მოსაპრეცენტებული ფილები კრიამიტული, მოუჭირებული	5,756.4	13,817.9	4,492.7	11,426.7
6908	მოსაპრეცენტებული ფილები კრიამიტული, მოუჭირებული	41,605.8	91,102.1	42,444.8	100,161.4
7016	ბლოკები მოსაგრძელად, ფილები და სხვა ნაწარმი წესითი ან საშენებლო მინისაგან	1,321.6	317.7	1,453.3	370.4

## გახსენება

### მისა გოგიზე



qarTvel keramikosTa rigebs 75 wl is asakSi gamoakl da Sromismoyvare da Cinebul i adamiani miSa (griSa) gogiZe.

miSa gogiZe daibada 1939 wl is 5 maiss sofel gl danSi, mSrommel da stumarTmoyvare el iCka da ivane gogizeebis mralval Svil ian oj axSi. miSas ufrosi Zma Sal va, Tbilisis Teatral uri institutis profesori, didi pativiscemiTa da avtoritetiT sargebi. I obda institutis kol eqtivSi da aseve mSobl iur sofel Si, risTvisac mis sapativcemul od sofel gl danis saSual o skol as misi saxel i ewoda.

miSas meore Zma, petre muSaobda gardabnis raionis aRmaskomis Tavmj domaris pirvel moadgil ed da aseve didi siyvarul i daimsaxura raionis mosaxl eobaSi.

miSas debma, qal batonebma varam da margom Sesani Snavi oj axebi Seqmnes da siyvarul iT emsaxurebian axal gazarTa os aRzrdis saqmes.

miSa gogiZem gl danis saSual o skol is daamTavrebis Semdeg warmatebiT daamTavra Tbilisis pol iteqnikuri teqnikumi (1960 w.) sill ikatebis special obiT da muSaoba daiwoyo profesor kal istrati quTaTel aZis mier axl ad Camoyal ibebul Tbilisis saSen masal aTa samecniero-kvl eviTi institutis keramikis I aboratoriaSi. I aboratoriaSi muSaobis paral el urad igi swavl obda saqarTvel os pol iteqnikur institutSi keramikisa da cecxl gamZI e masal ebis special obiT, romel ic 1969 wel s daamTavra.



miSa gogiZe keramikis I aboratoriaSi  
TanamSromi ebTan erTad (marcxnidan pirvel i)

keramikis I aboratoriaSi misi muSaobis periodi daemTxva axal i keramikul i masal ebis miRebis, kvl evisa da warmoebaSi danergvis warmatebul periods. saqarTvel os mTis qanebis (peri itebis, andezitebis, bazal tebis, traqitebis da sxv.) gamoyenebiT axal i Sedgenil obis keramikul i masebis, Wigurebis, saRebavebis, pigmentebisa da minanqrebis miRebis saqmeSi samecniero-kvl eviTi samuSaoebis xel -

მZRvanel ebi iynen saqarTvel os mecnierebaTa akademiis wevr-korespondenti, profesori kal istrate quTaTel aZe da keramikis Iaboratoriis ufrosi, teqnikur mecnierebaTa kandidati ivane xizaniSvil i.

batoni miSa iyo erT-erTi pasuxismgebel i Semsrul ebel i im kvl eviT i samuSaoebisa, roml ebic Semdgom safuZvl ad daedo misi megobrebis (g. gafrindaSvil i, r. mamal aZe, a. SuSanaSvil i, g. gverdwiTel i, c. canava, I. varazaSvil i da sxv.) sadisertacio naSromebs. igi maTTan erTad avtoria ramdenime gamogonebisa da samecniero naSromisa. xSirad uxdeboda mivl inebiT Casvl a sxvadasxva keramikul qarxanaSi, teqnol ogiur procesebSi wamoWril i probl emebis mosagvarebl ad.

bol o ramdenime wel i miSa muSaobda samecniero-sawarmoo gaerTianeba "samTo qimiaSi".

yvel gan, sadac muSaobda batoni miSa gogiZe, didi siyvarul iTa da pativiscemiT sargebl obda. gansakuTrebiT aRsaniSnavia misi saqmianoba sofel gl danis sxvadasxva sazogadoebriv saqmianobaSi: kerZod, 1959 wel s sofel gl danSi gauqmebul i saSual o skol is aRdgena, 1977 wel s sofl is sasmel i wyl iT momarageba, roml isTvis brZol as TiTqmis aTi wel i Seal ia.

batoni miSa gogiZe iyo SesaniSnavi meuRI e, oj axis Tavkaci. Tavis cxovrebis TanamegzurTan, qal baton naTia ServaSiZesTan erTad Seqma mosiyavarul e da sofel Si gamorCeul i oj axi. qal baton naTias mudam mxarSi edga batoni miSa Svil ebis da Svil iSvil ebis aRzrdis saqmeSi. maT darCaT ori Svil i \_ amirani da gogita, Svidi Svil iSvil i da sami Svil TaSvil i.

amirani da gogita Cveni sazogadoebis Rirseul i adamianebe arian, Camoayal ibes ansambl i "babil o", roml is musikisa da teqstis avtorebi da Semsrul ebl ebic TviTon arian.

miSa gogiZe iyo stumarTmoyvare adamiani, mis oj axSi xSirad ikribebonen sofl is mSromel ebi da megobrebi, msj el obdnen sxvadasxva saWiro saqmeebis mosagvarebl ad. mas hqonda adamianebeTan daaxl oebis saocari unari.

miSa gogiZe uCumrad wavida Cvengan da Tan gaiyol a axl obel i adamianevisa da megobrebis siyvarul i.

saqarTvel os sainJinro akademiis akademikosi,

saqarTvel os keramikosTa asociaciis

vice-prezidenti ramaz mamal aZe;

saqarTvel os teqnikuri universitetis

asocirebul i profesori gul iko tabataZe

# შინაგასი

ზ. სიმონგულაშვილი, ს. ნებიერიძე. ტუტე ლითონის ოქსიდების ბაგლენა მანგანუმისა და სილიციუმის ერთდროულად აღდგენის პროცესში ..... 3
ზ. შერაზადიშვილი, მ. მჭედლიშვილი, ნ. შეყრილაძე. ტყვიისა და იუვიის შემცველი ოქროს მადის ფიზიკური მეთოდებით ბამდიდრების პროცესის ბამოკვლევა ..... 7
ზ. შერაზადიშვილი, მ. მჭედლიშვილი, ნ. შეყრილაძე. ოქროს შემცველი მადის ელემენტალური და გაზური შედგენილობის ბამოკვლევა ..... 12
ზ. კოვზირიძე, გ. მენთეშაშვილი, პ. ხორავა, ხ. ბლუაშვილი. მართვადი ლოკალური ჰიპერტენზია სიმსიცნური დაავადებების სამკურნალო ..... 16
ნ. დუჩიძე, მ. მჭედლიშვილი. საქართველოს ბაზარზე არსებული ტომატ- კასტების ბამოკვლევა ტოქსიკური ელემენტების შემცველობაზე ..... 28
ზ. კოვზირიძე, ნ. ნიუარაძე, ნ. დარახველიძე, გ. ტაბატაძე, ზ. მესტვირიშვილი. გეოგრაფიული გაზარების აზოვის ბარემოვზი მიმღინარე კარბო და ალუმინიუმის არომატული არომატები ..... 32
გ. გაფრინდაშვილი, ს. სანაძე, მ. კეკელიძე. ქართული მინანძარი – აღმყო და მომავალი ..... 37
ზ. კოვზირიძე, ნ. ნიუარაძე, გ. ბალახეაშვილი, მ. მშვილდაძე. შემკვრელების გავლენის შესრავლა მაღალცეცხლგამძლე დოლომიტ-სერაჟენტინიტური კლინკერის ფიზიკურ-ტექნიკურ თვისებებზე ..... 42
რ. მამალაძე. საქართველოს სამშენებლო მასალების წარმოების 2010-2013 წლების ეკონომიკური მაჩვენებლები ..... 46
გასსენება. მიშა გოგიძე ..... 51

# CONTENTS

<b>Z. Simongulashvili, S. Nebieridze.</b> INFLUENCE OF ALKALINE METAL OXIDES ON THE PROCESS OF JOINT RESTORATION OF MANGANESE AND SILICON .....	3
<b>Z. Sherazadishvili, M. Mchedlishvili, N. Shekriladze.</b> RESEARCH OF THE ENRICHMENT OF LEAD AND ZINC CONTAINING GOLD ORE BY METHOD OF PHYSICAL CONCENTRATION .....	7
<b>Z. Sherazadishvili, M. Mchedlishvili, N. Shekriladze.</b> RESEARCH OF THE ELEMENT AND PHASE COMPOSITION OF GOLD-CONTAINING ORE .....	12
<b>Z. Kovziridze, G. Menteshashvili, P. Khorava, Kh. Bluashvili.</b> CONTROLLED LOCAL HYPERTHERMIA FOR THERAPY OF MALIGNANCIES .....	16
<b>N. Duchidze, M. Mchedlishvili.</b> RESEARCH OF CONTENT OF TOXIC ELEMENTS OF TOMATO PASTE AT GEORGIAN MARKET .....	28
<b>Z. Kovziridze, N. Nijaradze, N. Darakhvelidze, G. Tabatadze, Z. Mestvirishvili.</b> THE CURRENT CARBO AND ALUMOTHERMAL PROCESSES ON THE BASE OF GEOPOLYMER IN NITROGEN ENVIRONMENT .....	32
<b>G. Gaprindashvili, S. Sanadze, M. Kekelidze.</b> GEORGIAN ENAMEL – PRESENT AND FUTUR .....	37
<b>Z. Kovziridze, N. Nizharadze, M. Balakhashvili, M. Mshvildadze.</b> THE STUDY OF THE INFLUENCE OF BINDERS OVER PHYSICAL-TECHNICAL FEATURES OF A HIGHLY REFRACTORY DOLOMITE-SERPENTINE CLINKER .....	42
<b>R. MAMALADZE.</b> ECONOMICAL INDICES OF BUILDING MATERIALS PRODUCTION IN 2010-2013 IN GEORGIA .....	46
<b>REMEMBERANCE.</b> MISHA GOGIDZE .....	51

# СОДЕРЖАНИЕ

<b>З.А. Симонгулашвили, С.С. Небиеридзе.</b> ВЛИЯНИЕ ОКСИДОВ ЩЕЛОЧНЫХ МЕТАЛЛОВ НА ПРОЦЕСС СОВМЕСТНОГО ВОССТАНОВЛЕНИЯ МАРГАНЦА И КРЕМНИЯ .....	3
<b>З.Б. Шеразадишвили, М.И. Мчедлишвили, Н.Ш. Шекриладзе.</b> ИССЛЕДОВАНИЕ ПРОЦЕССА ОБОГАЩЕНИЯ СВИНЦОВО-ЦИНКОВОЙ ЗОЛОТОСОДЕРЖАЩЕЙ РУДЫ ФИЗИЧЕСКИМИ МЕТОДАМИ .....	7
<b>З.Б. Шеразадишвили, М.И. Мчедлишвили, Н.Ш. Шекриладзе.</b> ИССЛЕДОВАНИЕ ЭЛЕМЕНТНОГО И ФАЗОВОГО СОСТАВА ЗОЛОТОСОДЕРЖАЩЕЙ РУДЫ .....	12
<b>З.Д. Ковзиридзе, Г.З. Ментешашвили, П.А. Хорава, Х.Т. Блуашвили.</b> УПРАВЛЯЕМАЯ ЛОКАЛЬНАЯ ГИПЕРТЕРМИЯ ДЛЯ ЛЕЧЕНИЯ ОПУХОЛЕВЫХ БОЛЕЗНЕЙ .....	16
<b>Н.Г. Дучидзе, М.И. Мчедлишвили.</b> ИССЛЕДОВАНИЕ ИМЕЮЩИХСЯ НА ГРУЗИНСКОМ РЫНКЕ ТОМАТ-ПАСТ НА СОДЕРЖАНИЕ ТОКСИЧЕСКИХ ЭЛЕМЕНТОВ .....	28
<b>З.Д. Ковзиридзе, Н.С. Нижарадзе, Н.И. Дарахвелидзе, Г.С. Табатадзе,</b> <b>З.З. Мествиришвили.</b> КАРБО- И АЛЮМОТЕРМИТНЫЕ ПРОЦЕССЫ, ПРОИСХОДЯЩИЕ В СРЕДЕ АЗОТА НА ОСНОВЕ ГЕОПОЛИМЕРОВ .....	32
<b>Г.Г. Гаприндашвили, С.Г. Санадзе, М.К. Кекелидзе.</b> ГРУЗИНСКАЯ ЭМАЛЬ – НАСТОЯЩЕЕ И БУДУЩЕЕ .....	37
<b>З.Д. Ковзиридзе, Н.С. Нижарадзе, М.И. Балахашвили, М.Дж. Мшвилладзе.</b> ИЗУЧЕНИЕ ВЛИЯНИЯ СВЯЗУЮЩИХ НА ФИЗИКО-ТЕХНИЧЕСКИЕ СВОЙСТВА ВЫСОКООГНЕУПОРНОГО ДОЛОМИТ – СЕРПЕНТИНИТОВОГО КЛИНКЕРА .....	42
<b>Р. Мамаладзе.</b> ЭКОНОМИЧЕСКИЕ ПОКАЗАТЕЛИ ПРОИЗВОДСТВА СТРОИТЕЛЬНЫХ МАТЕРИАЛОВ ГРУЗИИ В 2010-2013 ГГ. ....	46
К ПАМЯТИ МИШИ ГОГИДЗЕ .....	51

## s a r e d a q c i o k o l e g i a:

i. berzeniSvili, m. bibil aSvili, g. gafrindaSvili (mT. red. moadgil e), a. grigol iSvili, r. Turmanize, m. kekel iZe, z. kovzirize (mT. redaktori), n. kiknaZe, r. mamal aZe (mT. red. moad.), m. mujiri, n. niJaraZe (pasuxismgebel i mdivani), a. saruxaniSvili (mT. red. moad.), a. soxaZe, g. tabataZe, e. SafaqiZe, r. xuroZe, T. WeiSvili.

## EDITORIAL BOARD:

I. Berdzenishvili, M. Bibilashvili, T. Cheishvili, G. Gaprindashvili (vice-editor-in-chief), A. Grigolishvili, M. Kekelidze, R. Khurodze, N. Kiknadze, Z. Kovziridze (editor-in-chief), R. Mamaladze (vice-editor-in-chief), M. Mujiri, N. Nizharadze (executive secretary), A. Sarukhanishvili (vice-editor-in-chief), A. Sokhadze, G. Tabatadze, R. Turmanidze, E. Shaphaqidze.

kompiuterul i uzrunvel yofa x. ungi azis

redaqtorebi: I. mamal aZe,  
m. preobraJenskai a,  
n. centeraZe

---

**saqarTvel os keramikosTa asociacia 2007 wl i dan  
gawevri anda keramikosTa msofl io federaciaSi**

**saqarTvel os keramikosTa asociacia 2002 wl i dan evropis  
keramikosTa asociaciis wevria**

saqarTvel os keramikosTa asociacia daarsda 1998 wel s  
Jurnal i daarsda 1999 wel s  
Jurnal Si statiebi ibewdeba qarTul, ingl isur, germanul da rusul enebze

---

*gamoqveynebul i masal is avtorebi pasuxismgebel ni arian moyvanil i faqtebis, citatebis da sxva monacemebis SerCevasa da sizusteze, aseve Ria publ ikaciaSi kanoniT akrZal ul i monacemis gaxmaurebaze.*

*redaqcias Seuzi ia gamoqveynos masal ebi ise, rom ar iziarebdes avtoris Sexedul ebebs.*

*Авторы публикуемых материалов несут ответственность за подбор и точность приведенных фактов, цитат и других сведений, а также за неразглашение сведений, запрещенных законом к открытой публикации.*

*Редакция может публиковать материалы, не разделяя точку зрения автора.*

*Authors of the published materials are responsible for choice and accuracy of adduced facts, quotations and other information, also for not divulging information forbidden open publication.*

*Publishing material the editorial board may not share the views of the author.*

---

Tbilisi, `keramika~, 1(31),2014  
masal is gadabeWvdvisas Jurnal is miTiTeba aucil ebel ia  
ТБИЛИСИ, "КЕРАМИКА", 1(31),2014  
При перепечатке ссылка на журнал обязательна  
TBILISI,"CERAMIC", 1(31),2014  
Reference of magazine is obligatory on reprinting

pirobiti nabeWdi Tabaxi 3,5. tiraji 100 egz., SekveTa # fasi saxel Sekrul ebo.

saqarTvel os keramikosTa asociacia, Tbilisi, kostavas 69, tel : 233-53-48, Sida 62-39,  
E-mail: kowsiri@gtu.ge, Fax: (00995 32) 2942033 (z. kovzirizes).

---